

12. วัสดุเฟอร์ริแมกเนติก (ferrimagnetic material)

12.1 การวัดอิมพีแดนซ์ที่เปลี่ยนแปลงตามเวลาของตัวเหนี่ยวนำในขณะที่เปลี่ยนความถี่ของตัวเหนี่ยวนำ
บทความ 'การวัดอิมพีแดนซ์ที่เปลี่ยนแปลงตามเวลาในขณะที่เปลี่ยนความถี่ของตัวเหนี่ยวนำ
ด้วยคอมพิวเตอร์

ธงชัย พันธุ์เมธาฤทธิ

Thongchai Panmatarith

M.Sc. (Solid State Physics), Assoc. Prof., Materials Physics Laboratory,

Department of Physics, Faculty of Science, Prince of Songkla University, Hat Yai, 90112 Thailand.

Corresponding e-mail : tongchai.p@psu.ac.th

บทคัดย่อ

ได้วัดการวัดอิมพีแดนซ์ที่เปลี่ยนแปลงตามเวลาในขณะที่เปลี่ยนความถี่ของตัวเหนี่ยวนำด้วยคอมพิวเตอร์

Abstract

Impedance versus time as frequency changing of inductor was measured with computer

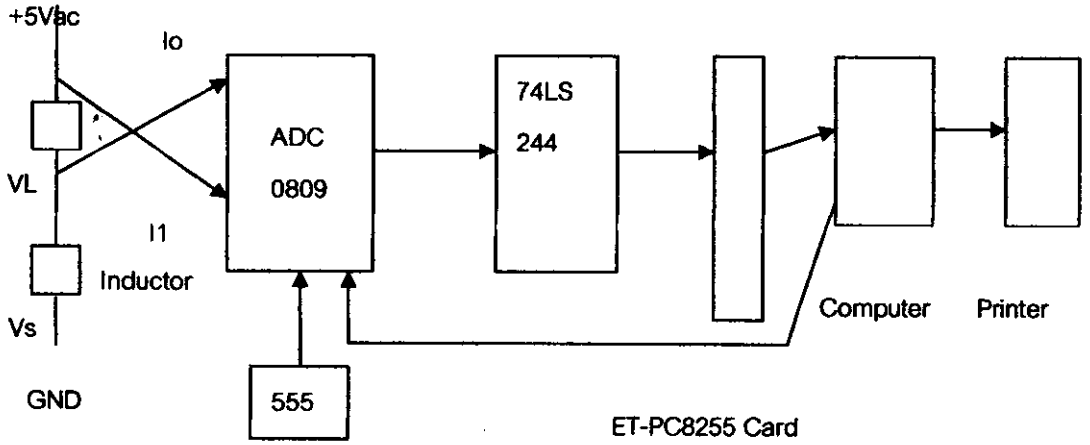
Key words : ferrimagnetic material

คำนำ

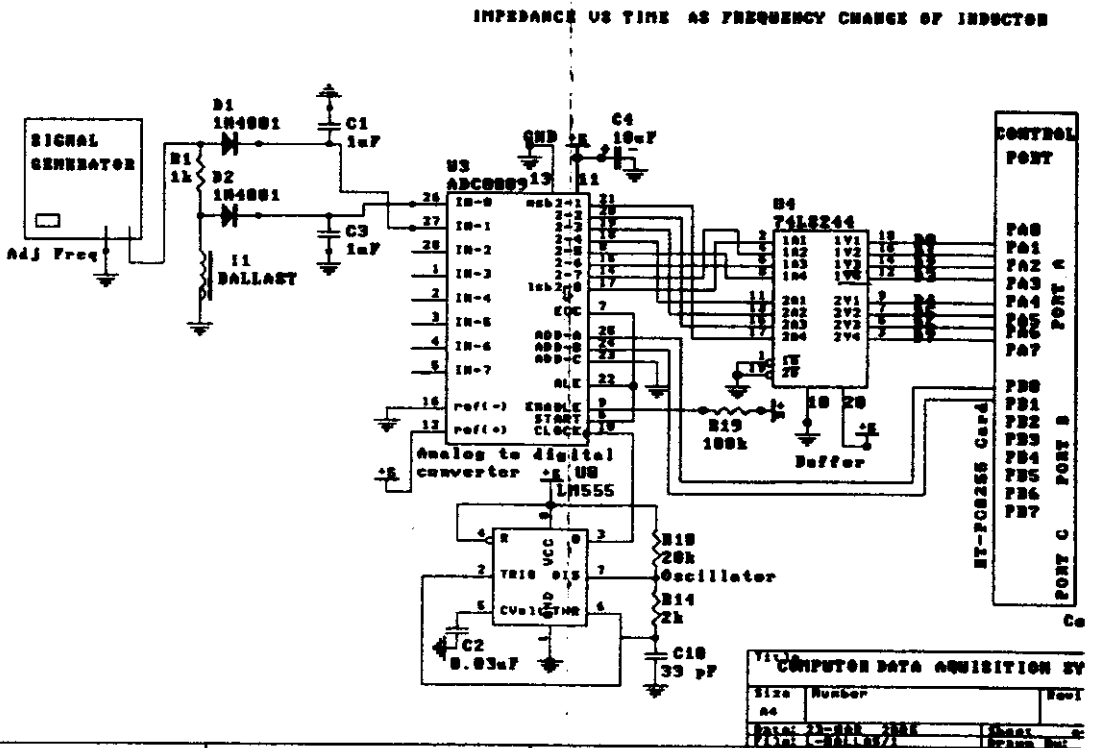
แม่เหล็กเซรามิกส์ใช้ทำเป็นวัสดุไฟฟ้าและอิเล็กทรอนิกส์ แม่เหล็กเซรามิกส์มี 2 ประเภท คือ เฟอร์ไรต์แข็ง กับเฟอร์ไรต์อ่อน $MgFe_2O_4$ จัดอยู่ในกลุ่มเฟอร์ไรต์อ่อน เฟอร์ไรต์อ่อนแสดงสมบัติที่เปลี่ยนแปลงไปตามความถี่ของสนามแม่เหล็ก จึงนำไปประยุกต์เป็นแกนของขดลวด แกนของหม้อแปลงไฟฟ้า สแกนนิ่งโยค(scanning yokes) สายอากาศ (antenna) อุปกรณ์เลื่อนเฟส (phase shifter) และอุปกรณ์ไมโครเวฟ (microwave device) ในปี 1948 Neel ได้พัฒนาแบบจำลองซึ่งเป็นรากฐานสำหรับความเข้าใจเกี่ยวกับสมบัติเชิงแม่เหล็กในเฟอร์ไรต์ อำนวยแม่เหล็กในสารเกี่ยวข้องกับอิเล็กตรอนที่โคจรรอบนิวเคลียสและอิเล็กตรอนที่หมุนรอบตัวเอง อำนวยแม่เหล็กเกี่ยวข้องกับอิเล็กตรอนในชั้น f ที่ไม่เต็ม ตัวอย่างสารเฟอร์ไรต์อ่อน ได้แก่ $NiFe_2O_4$, $Ni_{0.5}Zn_{0.5}Fe_2O_4$, $MnFe_2O_4$, $Mn_{0.5}Zn_{0.5}Fe_2O_4$, $MgFe_2O_4$, $Y_3Fe_5O_{12}$ และ $CuFe_2O_4$ สารเหล่านี้เตรียมได้โดยวิธีเทคนิคปฏิกิริยาสถานะของแข็ง (solid-state reaction technique) และวิธีอื่นๆ สารเฟอร์ไรต์อ่อนแสดงอำนวยการแม่เหล็กเฟอร์ริ (ferrimagnetism) และแสดงปรากฏการณ์การล้า (hysteresis effect) มีผู้ทดลองโดยนำสารเฟอร์ไรต์อ่อนทำเป็นตัวตรวจวัดสนามแม่เหล็ก (magnetic field detector) ตัวเหนี่ยวนำ (inductor) ที่ประกอบด้วยขดลวดเหนี่ยวนำ (induction coil) กับแกนเฟอร์ไรต์ (ferrite core) แสดงความเหนี่ยวนำตัวเอง (self induction) ตัวอย่างสารเฟอร์ไรต์อ่อนที่เป็นโลหะจะเป็นโลหะหรือโลหะผสม

วิธีการทดลอง

จุดจุดทดลอง (รูปที่ 12.1.1ก และ ข) ใช้คอมพิวเตอร์วัดอิมพีแดนซ์ที่เปลี่ยนแปลงตามเวลาในขณะที่เปลี่ยนความถี่ของตัวเหนี่ยวนำ บันทึกผลโดยใช้คอมพิวเตอร์พิมพ์กราฟออกมา



รูปที่ 12.1.1(ก) บล็อกไดอะแกรมสำหรับให้คอมพิวเตอร์แสดงเส้นโค้งอิมพีแดนซ์ที่ขึ้นกับเวลาของตัวเหนี่ยวนำเชิงการคำนวณด้วยคอมพิวเตอร์



รูปที่ 12.1.1(ข) วงจรสำหรับให้คอมพิวเตอร์แสดงเส้นโค้งอิมพีแดนซ์ที่ขึ้นกับเวลาของตัวเหนี่ยวนำเชิงการคำนวณด้วยคอมพิวเตอร์

```

Program Impedance_Time_Graph_for_Inductor;
uses crt, graph;
var
    grdrv, gmode, gerror : integer;
    ch : char;
const
    PA = $0304;
    
```

```

PB      = $0305;
Pcontrol = $0307;

procedure axis;
var  p,q    : integer;
     tex    : string;

begin
  grdrv := detect ; initgraph(grdrv, gmode, 'C:\tp\bgi');
  setgraphmode(gmode);
  setcolor(15) ; line(50,50,50,305); . line(50,305,575,305);
                    line(50,50,575,50); line(575,50,575,305);
  settexstyle(defaultfont, vardir,0);
  for p := 50 to 600 do
  begin
    line(p+18,295,p+18,305); str(round(p/32-1) , tex);
    outtextxy(p+18,320,tex);
  end ;
  setcolor(15); settexstyle(defaultfont, horizdir,0);
  for q = 50 to 305 do
  begin
    if q mod 51 = 0 then
    begin
      line(45, q, 55, q); str((((305-q) mod 5)+1)*400,tex);
      outtextxy(20, q, tex);
    end;
  end;
end;

end;

end;

procedure plot ;
var  i, x, y, DV0, DV1           : integer;
     AV0, AV1, R, RL, Vs, VLs, VL, IL, Is : real;

begin
  setcolor(3); outtextxy(205,11, 'Impedance vs Time Curve');
  setcolor(3); outtextxy(205,18, '-----');
  setcolor(5); outtextxy(50,30, 'Impedance (kohm)');
  setcolor(5); outtextxy(435,335, 'Time (s)');
  setcolor(5); outtextxy(48,303, '**');

```

```

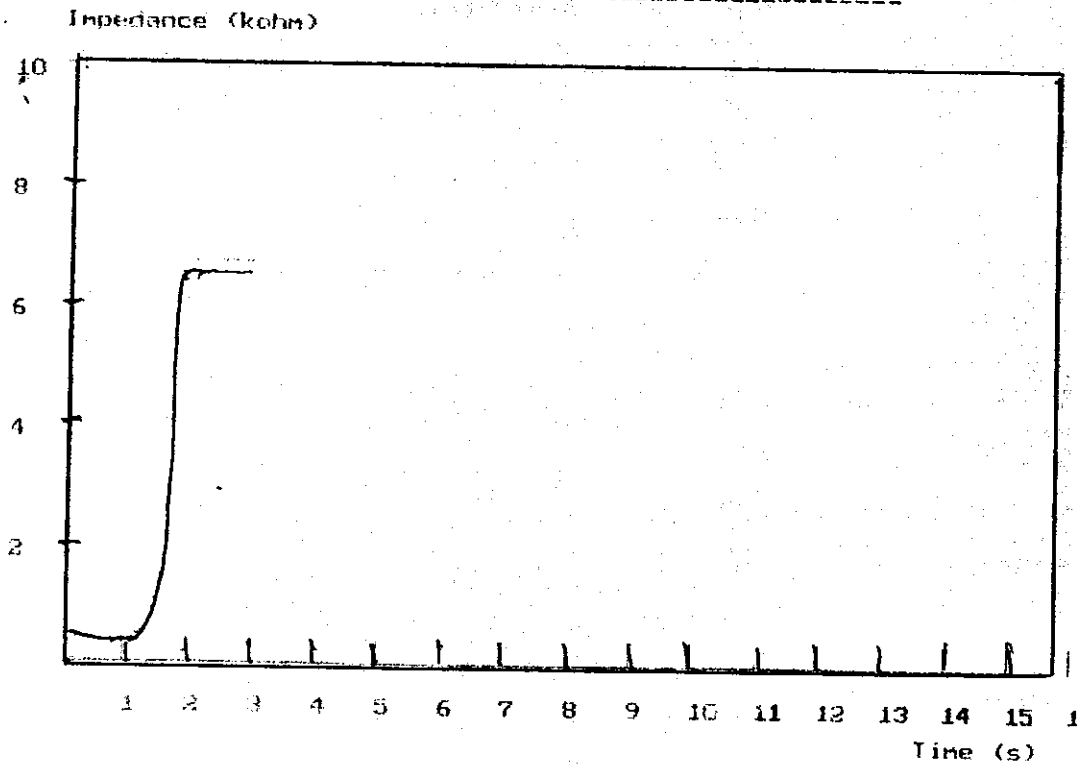
port[Pcontrol] := $90;
RL := 220;      {ohm}
for i := 1 to 100 do
begin
  for j := 1 to 550 do
  begin
    port[PB] := 0;      {I0}
    delay(30);
    DV0 := port[PA];
    AV0 := (5/255)*DV0;
    Vs := AV0;         {V}
    port[PB] := 1;      {I1}
    delay(30);
    DV1 := port[PA];
    AV1 := (5/255)*DV1;
    VLs := AV1;
    VL := (VLs-Vs);
    IL := VL/RL;
    Is := IL;          {A}
    R := (Vs/Is);      {ohm}
    x := j+50 ; y := round(305-(R/1000)*(255/2000));
    setcolor(15); line(x, y, x, y);
    delay(30);
  end;
end;
end;
begin      {main}
  repeat
    axis;
    plot;
    ch := readkey;
  until ord(ch) = 27;
end.

```

ผลการทดลอง

อิมพีแดนซ์ที่ขึ้นกับเวลาของตัวเหนี่ยวนำเชิงการค้ำที่ระบบเชื่อมต่อคอมพิวเตอร์วัดได้แสดงดังรูปที่ 12.1.2 จากรูปพบว่าเมื่อเพิ่มความถี่ อิมพีแดนซ์ของตัวเหนี่ยวนำมีค่าเพิ่มขึ้น

Impedance vs Time Curve for Inductor 2549



รูปที่ 12.1.2 อิมพีแดนซ์ที่ขึ้นกับเวลาของตัวเหนี่ยวนำที่วัดได้บนจอคอมพิวเตอร์

วิเคราะห์ผลการทดลอง

อิมพีแดนซ์ของตัวเหนี่ยวนำเชิงการค้ำมีค่าเพิ่มขึ้นตามเวลาในขณะที่ความถี่เพิ่มขึ้น สาเหตุที่อิมพีแดนซ์เพิ่มขึ้นเพราะค่าความต้านทานเหนี่ยวนำ $X_L = \omega L = 2\pi fL$ มีค่าเพิ่มขึ้นตามความถี่ ระบบเชื่อมต่อกอมพิวเตอร์ที่สร้างขึ้นและโปรแกรมที่เขียนสามารถแสดงเส้นกราฟอิมพีแดนซ์ที่ขึ้นกับเวลาของตัวเก็บประจุไฟฟ้าเชิงการค้ำได้

สรุปผลการทดลอง

ระบบเชื่อมต่อกอมพิวเตอร์ที่สร้างขึ้นและโปรแกรมที่เขียนสามารถแสดงเส้นกราฟอิมพีแดนซ์ที่ขึ้นกับเวลาของตัวเก็บประจุไฟฟ้าเชิงการค้ำได้

เอกสารอ้างอิง

[Http://www.Ett.co.th](http://www.Ett.co.th), Manual of ET-PC8255 card, 2005-2007.

Moulson, A.J. and Herbert, J.M., 1990. Electroceramics, Chapman & Hall, London.

12.2 การวัดอิมพีแดนซ์ที่ขึ้นกับความถี่ของตัวเหนี่ยวนำ

บทความ การวัดอิมพีแดนซ์ที่ขึ้นกับความถี่ของตัวเหนี่ยวนำด้วยโปรแกรมแลปวิว

ธงชัย พันธุ์เมธาฤทธิ์

Thongchai Panmatarith

M.Sc. (Solid State Physics), Assoc. Prof., Materials Physics Laboratory,

Department of Physics, Faculty of Science, Prince of Songkla University, Hat Yai, 90112 Thailand.

บทคัดย่อ

ได้วัดอิมพีแดนซ์ที่ขึ้นกับความถี่ของตัวเหนี่ยวนำด้วยโปรแกรมแลบวิว

Abstract

Impedance and frequency relationship of inductor was measured with LabVIEW Program

Key words : ferrimagnetic material

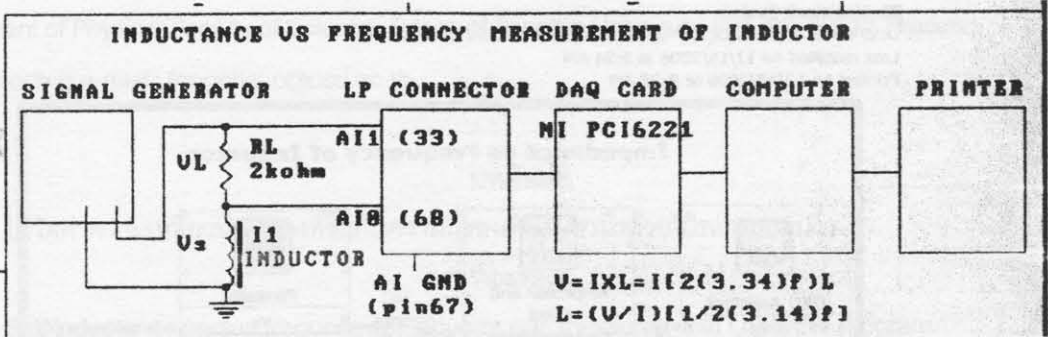
คำนำ

แม่เหล็กเซรามิกส์ใช้ทำเป็นวัสดุไฟฟ้าและอิเล็กทรอนิกส์ แม่เหล็กเซรามิกส์มี 2 ประเภท คือ เฟอร์ไรต์แข็ง กับเฟอร์ไรต์อ่อน $MgFe_2O_4$ จัดอยู่ในกลุ่มเฟอร์ไรต์อ่อน เฟอร์ไรต์อ่อนแสดงสมบัติที่เปลี่ยนแปลงไปตามความถี่ของสนามแม่เหล็ก จึงนำไปประยุกต์เป็นแกนของขดลวด แกนของหม้อแปลงไฟฟ้า สแกนนิ่งโยค(scanning yokes) สายอากาศ (antenna) อุปกรณ์เลื่อนเฟส (phase shifter) และอุปกรณ์ไมโครเวฟ (microwave device) ในปี 1948 Neel ได้พัฒนาแบบจำลองซึ่งเป็นรากฐานสำหรับความเข้าใจเกี่ยวกับสมบัติเชิงแม่เหล็กในเฟอร์ไรต์ อำนวยแม่เหล็กในสารเกี่ยวข้องกับอิเล็กตรอนที่โคจรรอบนิวเคลียสและอิเล็กตรอนที่หมุนรอบตัวเอง อำนวยแม่เหล็กเกี่ยวข้องกับอิเล็กตรอนในชั้น f ที่ไม่เต็ม ตัวอย่างสารเฟอร์ไรต์อ่อน ได้แก่ $NiFe_2O_4$, $Ni_{0.5}Zn_{0.5}Fe_2O_4$, $MnFe_2O_4$, $Mn_{0.5}Zn_{0.5}Fe_2O_4$, $MgFe_2O_4$, $Y_3Fe_5O_{12}$ และ $CuFe_2O_4$ สารเหล่านี้เตรียมได้โดยวิธีเทคนิคปฏิกิริยาสถานะของแข็ง (solid-state reaction technique) และวิธีอื่นๆ สารเฟอร์ไรต์อ่อนแสดงอำนวยการแม่เหล็กเฟอร์ริ (ferrimagnetism) และแสดงปรากฏการณ์การล่า (hysteresis effect) มีผู้ทดลองโดยนำสารเฟอร์ไรต์อ่อนทำเป็นตัวตรวจวัดสนามแม่เหล็ก (magnetic field detector) ตัวเหนี่ยวนำ (inductor) ที่ประกอบด้วยขดลวดเหนี่ยวนำ (induction coil) กับแกนเฟอร์ไรต์ (ferrite core) แสดงความเหนี่ยวนำตัวเอง (self induction) ตัวอย่างสารเฟอร์ไรต์อ่อนที่เป็นโลหะจะเป็นโลหะหรือโลหะผสม

วิธีการทดลอง

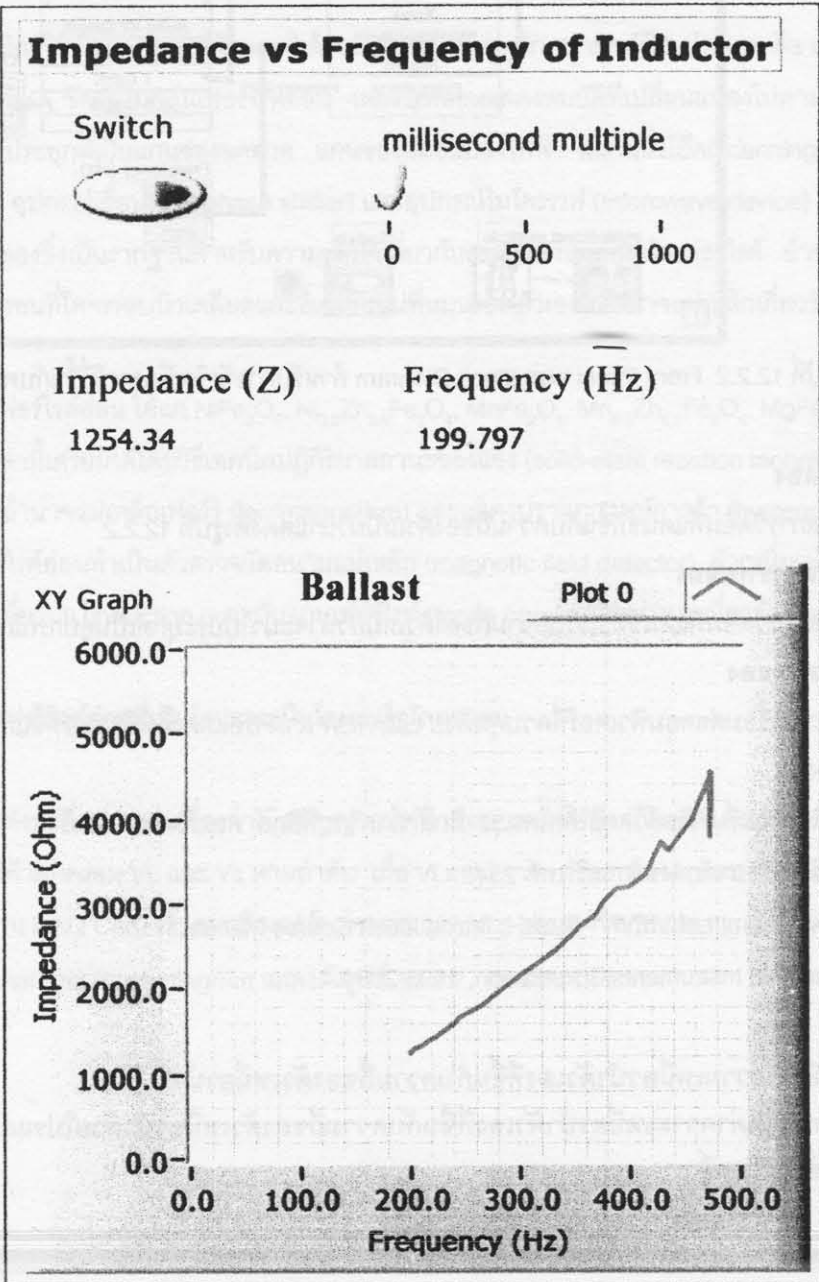
จัดชุดทดลองดังรูปที่ 12.2.1 เครื่องกำเนิดสัญญาณไฟฟ้าจ่ายกระแสไฟฟ้า 1 โวลต์ผ่าน $RL=2\text{ k}\Omega$ และขดลวดของบัลลาสต์ มีแรงดันไฟฟ้าตกคร่อม VL และ Vs ตามลำดับ เมื่อ $V_L=V_L+V_s$ ส่งแรงดัน Vs และ VLs เข้า A10 และ A11 ของ LP connector ผ่าน DAQ Card เข้าคอมพิวเตอร์ คำนวณ $V_L=V_L-V_s$; $I_L=V_L/RL$; $I_s=I_L$; $V=V_s$; $I=I_s$ และ $Z=V/I$ แสดงกราฟ Z vs f

Front Panel และ Block Diagram แสดงดังรูปที่ 12.2.2 DAQ Assistant ทำหน้าที่อ่านแรงดันไฟฟ้า Vs และ VLs มาที่ Amplitude and Level Measurements เพื่อให้ทำหน้าที่จัดปริมาณการวัดเป็นแบบ Rms Split Signal ทำหน้าที่แยก Vs และ VLs ออกจากกัน ส่งเข้า Formula เพื่อคำนวณค่าอิมพีแดนซ์ ($V_L=V_L-V_s$ $I=I_L=I_s=V_L/RL$; $Z=V_s/I_s=V/I$) แสดงค่าอิมพีแดนซ์เป็นตัวเลขด้วย Numeric Indicator ส่งแรงดันที่มาจาก DAQ Assistant มาเข้าที่ Tone Measurements เพื่อวัดความถี่ f แสดงความถี่ f ด้วย Numeric Indicator ส่งแรงดันไฟฟ้า V และความถี่ f มาเข้าที่ Build XY Graph เพื่อแสดงกราฟ Z vs f Millisecond Multiple เป็นเวลาหน่วย Stop Button เป็น numeric control ทำหน้าที่เปิดปิดสวิทช์ While Loop ทำหน้าที่ควบคุมการทำงานที่ซ้ำๆกัน สั่ง RUN เพื่อแสดงผลทั้งหมด สั่งพิมพ์ Front Panel และ Block Diagram ออกทาง Printer

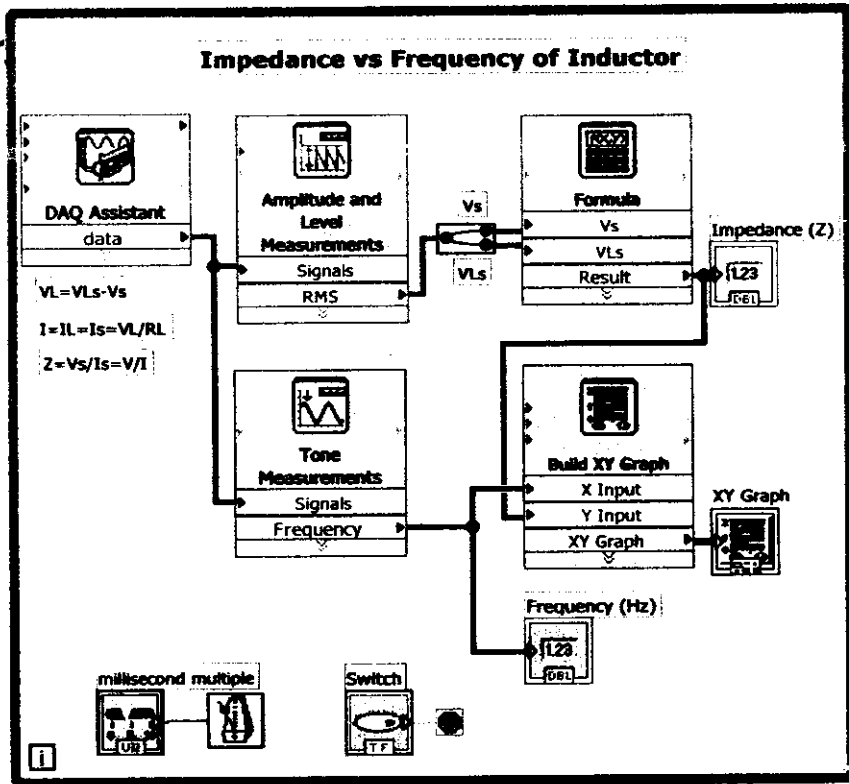


รูปที่ 12.2.1 การจัดการการทดลองสำหรับการวัดอิมพีแดนซ์ที่ขึ้นกับความถี่ของตัวเหนี่ยวนำ

Th-Inductor2-Zvsf.vi
 D:\0-0a LV \ííáóóóÁÐÇÑ' ºØ'·Õè 3#\Th-Inductor2-Zvsf.vi
 Last modified on 12/15/2006 at 8:24 AM
 Printed on 12/15/2006 at 8:24 AM



Th-Inductor2-Zvsf.vi
 D:\0-0a LV II\0006\ADCF\๑๒'๐๖ 3#\Th-Inductor2-Zvsf.vi
 Last modified on 12/15/2006 at 8:24 AM
 Printed on 12/15/2006 at 8:25 AM



รูปที่ 12.2.2 Front Panel และ Block Diagram สำหรับการวัดอิมพีแดนซ์ที่ขึ้นกับความถี่ของตัวเหนี่ยวนำ

ผลการทดลอง

ผลการวัดอิมพีแดนซ์ที่ขึ้นกับความถี่ของตัวเหนี่ยวนำแสดงดังรูปที่ 12.2.2

วิเคราะห์ผลการทดลอง

ผลการวัดอิมพีแดนซ์ที่ขึ้นกับความถี่ของตัวเหนี่ยวนำจะนำไปประยุกต์เป็นอุปกรณ์การกรองแรงดันไฟฟ้า

สรุปผลการทดลอง

ระบบเชื่อมต่อคอมพิวเตอร์ที่ควบคุมด้วย LabVIEW สามารถแสดงอิมพีแดนซ์ที่ขึ้นกับความถี่ของตัวเหนี่ยวนำ

เอกสารอ้างอิง

ธงชัย พันธุ์เมธาฤทธิ พิสิทธ์วัศคูเล็ก โดเรชรามิถ ภาควิชาฟิสิกส์ คณะวิทยาศาสตร์

มหาวิทยาลัยสงขลานครินทร์ 2548

Http:// www.ni.com, LabVIEW™ Basic I. Introduction Course Manual,

National Instruments Corporation, 1993-2001.

12.3 การวัดค่าความเหนี่ยวนำตัวเองที่ขึ้นกับความถี่ของตัวเหนี่ยวนำ

บทความ การวัดค่าความเหนี่ยวนำตัวเองที่ขึ้นกับความถี่ของตัวเหนี่ยวนำด้วยโปรแกรมแลปวิว

ธงชัย พันธุ์เมธาฤทธิ

Thongchai Panmatarith

Department of Physics, Faculty of Science, Prince of Songkla University, Hat Yai, 90112 Thailand.

Corresponding e-mail : tongchai.p@psu.ac.th

บทคัดย่อ

ได้วัดค่าความเหนี่ยวนำตัวเองที่ขึ้นกับความถี่ของตัวเหนี่ยวนำด้วยโปรแกรมแลบวิว

Abstract

Self inductance versus frequency of inductor was measured with LabVIEW Program.

Key words : ferrimagnetic material

คำนำ

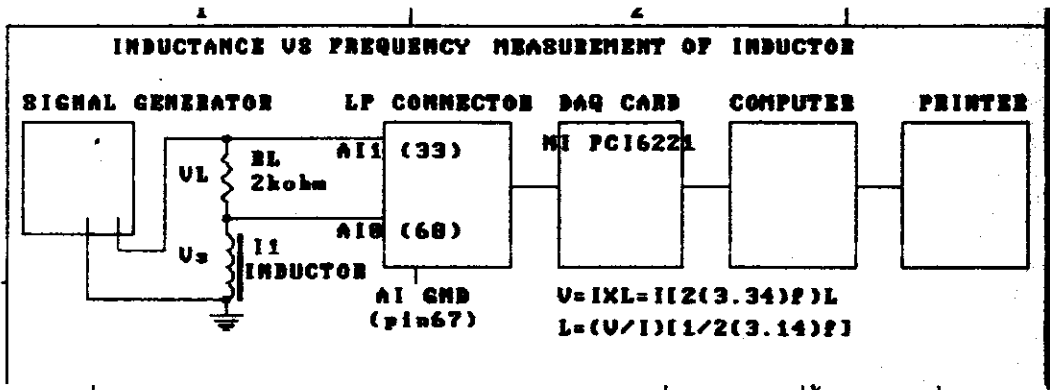
แม่เหล็กเซรามิกส์ใช้ทำเป็นวัสดุไฟฟ้าและอิเล็กทรอนิกส์ แม่เหล็กเซรามิกส์มี 2 ประเภท คือ เฟอร์ไรต์แข็ง กับเฟอร์ไรต์อ่อน $MgFe_2O_4$ จัดอยู่ในกลุ่มเฟอร์ไรต์อ่อน เฟอร์ไรต์อ่อนแสดงสมบัติที่เปลี่ยนแปลงไปตามความถี่ของสนามแม่เหล็ก จึงนำไปประยุกต์เป็นแกนของขดลวด แกนของหม้อแปลงไฟฟ้า สแกนนิ่งโยค(scanning yokes) สายอากาศ (antenna) อุปกรณ์เลื่อนเฟส (phase shifter) และอุปกรณ์ไมโครเวฟ (microwave device) ในปี 1948 Neel ได้พัฒนาแบบจำลองซึ่งเป็นรากฐานสำหรับความเข้าใจเกี่ยวกับสมบัติเชิงแม่เหล็กในเฟอร์ไรต์ จำนวนแม่เหล็กในสารเกี่ยวข้องกับอิเล็กตรอนที่โคจรรอบนิวเคลียสและอิเล็กตรอนที่หมุนรอบตัวเอง จำนวนแม่เหล็กเกี่ยวข้องกับอิเล็กตรอนในชั้น f ที่ไม่เต็ม

ตัวอย่างสารเฟอร์ไรต์อ่อน ได้แก่ $NiFe_2O_4$, $Ni_{0.5}Zn_{0.5}Fe_2O_4$, $MnFe_2O_4$, $Mn_{0.5}Zn_{0.5}Fe_2O_4$, $MgFe_2O_4$, $Y_3Fe_5O_{12}$ และ $CuFe_2O_4$ สารเหล่านี้เตรียมได้โดยวิธีเทคนิคปฏิกิริยาสถานะของแข็ง (solid-state reaction technique) และวิธีอื่น ๆ สารเฟอร์ไรต์อ่อนแสดงอำนาจแม่เหล็กเฟอร์ริ (ferrimagnetism) และแสดงปรากฏการณ์การล่า (hysteresis effect) มีผู้ทดลองโดยนำสารเฟอร์ไรต์อ่อนทำเป็นตัวตรวจวัดสนามแม่เหล็ก (magnetic field detector) ตัวเหนี่ยวนำ (inductor) ที่ประกอบด้วยขดลวดเหนี่ยวนำ (induction coil) กับแกนเฟอร์ไรต์ (ferrite core) แสดงความเหนี่ยวนำตัวเอง (self induction)

ตัวอย่างสารเฟอร์ไรต์อ่อนที่เป็นโลหะจะเป็นโลหะหรือโลหะผสม

วิธีการทดลอง

จัดชุดทดลองดังรูปที่ 12.3.1 เครื่องกำเนิดสัญญาณไฟฟ้าจ่ายกระแสไฟฟ้า I ไหลผ่าน $RL=2\text{ k}\Omega$ และขดลวดเหนี่ยวนำ มีแรงดันไฟฟ้าตกคร่อม V_L และ V_s ตามลำดับ เมื่อ $V_Ls=V_L+V_s$ ส่งแรงดัน V_s และ V_Ls เข้า AI0 และ AI1 ของ LP connector ผ่าน DAQ Card เข้าคอมพิวเตอร์ คำนวณ $V_L=V_Ls-V_s$; $I_L=V_L/RL$; $I_s=I_L$; $V=V_s$; $I=I_s$ $L=V/(I2\pi f)$ Front Panel และ Block diagram แสดงดังรูปที่ 12.3.2 แสดงกราฟ L vs f



รูปที่ 12.3.1 การจัดชุดการทดลองสำหรับการวัดค่าความเหนี่ยวนำตัวเองที่ขึ้นกับความถี่ของตัวเหนี่ยวนำ

Th-Inductor-L and f-OK.vi

D:\#\#\#EN' àçÖÅ: à»ÄáíÄÄ áÄ»ÇÖÇ ·ÑéŞÉÁ' 2549###

Last modified on 12/10/2006 at 9:19 AM

Printed on 12/10/2006 at 9:21 AM

Inductance vs Frequency of Inductor

STOP Vs (V) VLs (V) VL (V)
 0.04851: 2.86474 2.8162:

millisecond multiple IL (A)
 0 500 1000 0.00140i

Table L vs f of Ballast

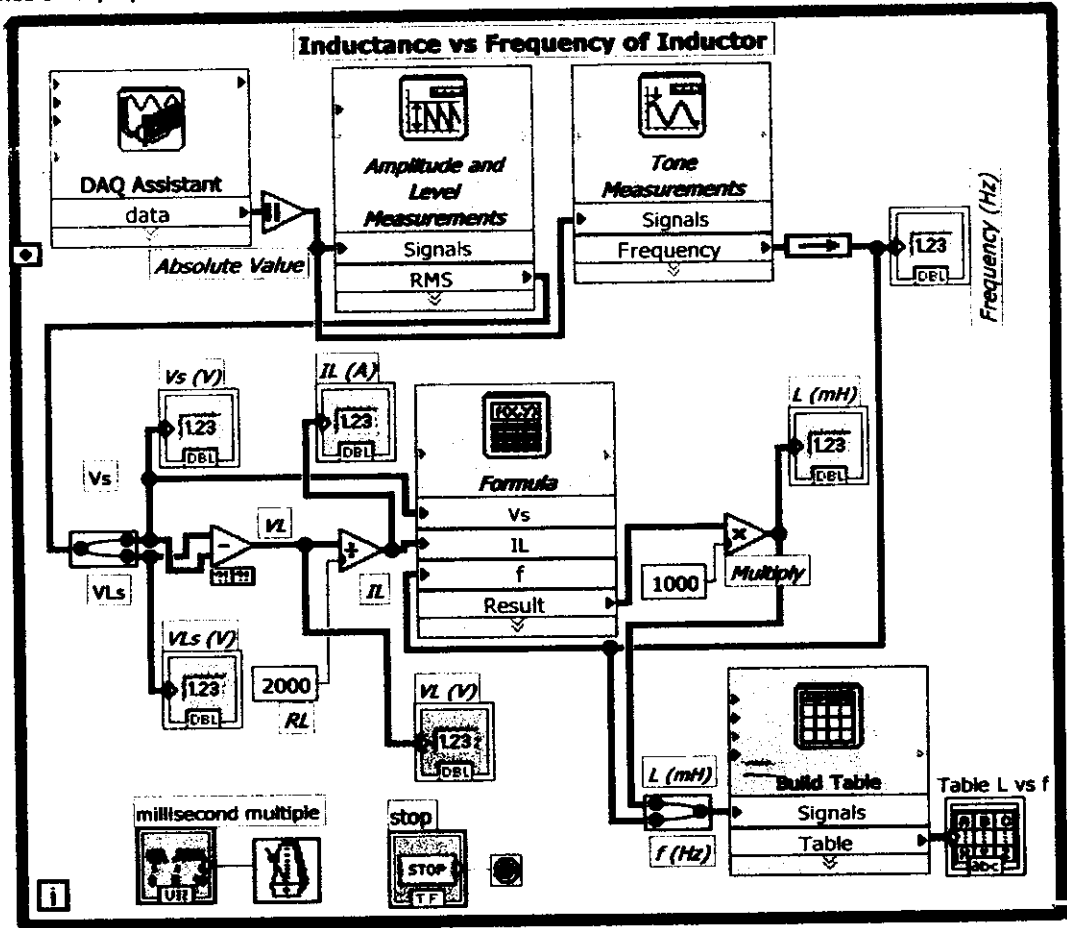
Inductance (mH) Frequency (Hz)

23.12	437.6	▲
23.17	436.8	
23.08	437.1	
23.32	435.9	
23.61	435.0	
16.91	461.2	
68.57	94.12	
12.23	481.6	
24.21	233.3	
39.17	145.2	
35.98	154.6	
50.70	110.4	
51.37	107.3	
52.18	106.6	
51.10	106.2	
51.19	106.2	

L (mH)
 51.9306

Frequency (Hz)
 106.028

Th-Inductor-L and f-OK.vi
 D:\###EÑ' àçÖÄ' à»ÄáíÄÄ áÄ»ÇÖÇ·ÑéŞÉÁ' 2549###\Th-Inductor-L and f-OK.vi
 Last modified on 12/10/2006 at 9:19 AM
 Printed on 12/10/2006 at 9:22 AM



รูปที่ 12.3.2 Front Panel และ Block diagram สำหรับการวัดค่าความเหนี่ยวนำตัวเองที่ขึ้นกับความถี่ของตัวเหนี่ยวนำ

ผลการทดลอง

ผลการวัดค่าความเหนี่ยวนำตัวเองที่ขึ้นกับความถี่ของตัวเหนี่ยวนำแสดงดังรูปที่ 12.3.2

วิเคราะห์การทดลอง

ผลการวัดค่าความเหนี่ยวนำตัวเองที่ขึ้นกับความถี่ของตัวเหนี่ยวนำจะนำไปพัฒนาชุดลดเหนี่ยวนำ

สรุปการทดลอง

ระบบเชื่อมต่อคอมพิวเตอร์ที่ควบคุมด้วย LabVIEW สามารถแสดงค่าความเหนี่ยวนำตัวเองที่ขึ้นกับความถี่ของตัวเหนี่ยวนำ

12.4 การวัดอัตราการผลิตแรงดันไฟฟ้าของหม้อแปลงไฟฟ้าเชิงการค้ำที่ความถี่ต่างๆ

บทความ การวัดอัตราการผลิตแรงดันไฟฟ้าของหม้อแปลงไฟฟ้าเชิงการค้ำที่ความถี่ต่างๆ

คิ้วโปรแกรมแลปวิว

ธงชัย พันธุ์เมธาฤทธิ์¹ และ น.ส. ยารีนะห์ เจะเลาะ²

Thongchai Panmatarith¹ and Yareenah Jehloh²

¹M.Sc. (Solid State Physics), Assoc. Prof., ²Physics student, Materials Physics Laboratory,

Department of Physics, Faculty of Science, Prince of Songkla University, Hat Yai, 90112 Thailand.

Corresponding e-mail : tongchai.p@psu.ac.th

บทคัดย่อ

ได้วัดอัตราการผลิตแรงดันไฟฟ้าของหม้อแปลงไฟฟ้าเชิงการค้าที่ความถี่ต่างๆด้วยโปรแกรมแลบวิว

Abstract

Voltage transformer gain of commercial transformer at different frequency was measured with LabVIEW Program

Key words : ferrimagnetic material

คำนำ

ในปี 1948 นีล (Neel) ได้พัฒนาแบบจำลองซึ่งเป็นรากฐานสำหรับความเข้าใจเกี่ยวกับสมบัติเชิงแม่เหล็กในเฟอร์ไรต์ จำนวนแม่เหล็กในสารแม่เหล็กเฟอร์ริเกี่ยวข้องกับอิเล็กตรอนที่โคจรรอบนิวเคลียสและอิเล็กตรอนที่หมุนรอบตัวเอง ในลักษณะเดียวกันกับสารแม่เหล็กเฟอร์โร จำนวนแม่เหล็กเกี่ยวข้องกับอิเล็กตรอนในชั้น f ที่ไม่เต็ม (Moulson และ Herbert, 1990) สมการสำคัญ คือ $B = \mu H = \mu_0 \mu_r H = \mu_0 (H + M)$, $M = \chi_m H$ และ $H = ni$ จำนวนแม่เหล็กเฟอร์ริ (ferrimagnetism) เกิดจากการเรียงตัวแบบขนานตรงข้ามกัน (antiparallel alignment) ของโมเมนต์แม่เหล็กของไอออนบนโครงผลึกย่อย (sublattice) ที่ต่างกันในผลึก โมเมนต์แม่เหล็กขนานไม่เท่ากัน ขนานกันและทิศทางตรงข้ามนี้ทำให้โมเมนต์แม่เหล็กรวมหรือแมกเนติกโมเมนต์ไม่เป็นศูนย์ พฤติกรรมการคู่ควบ (coupling behavior) เหล่านี้ มีความเกี่ยวข้องกับการทำอันตรกิริยาของอิเล็กตรอนวงนอก (outer electron interaction) ของไอออนข้างเคียง (neighbouring ion) พันธะที่เกิดขึ้นในเซรามิกส์แม่เหล็กเป็นแบบไอออนิกและแบบโคเวเลนต์ การเกิดพันธะทำให้เกิดการแลกเปลี่ยนยิ่งยวด (superexchange interaction) หรือเกิดการจัดเรียงตัวของสปิน (spin alignment) ระหว่างอิเล็กตรอนวงนอกซึ่งสามารถตอบสนองต่อการคู่ควบ วงการล้าแม่เหล็กเฟอร์ริมีลักษณะคล้ายกับของแม่เหล็กเฟอร์โรโดยมีขนาดเล็กกว่า

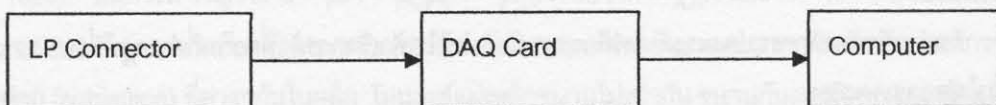
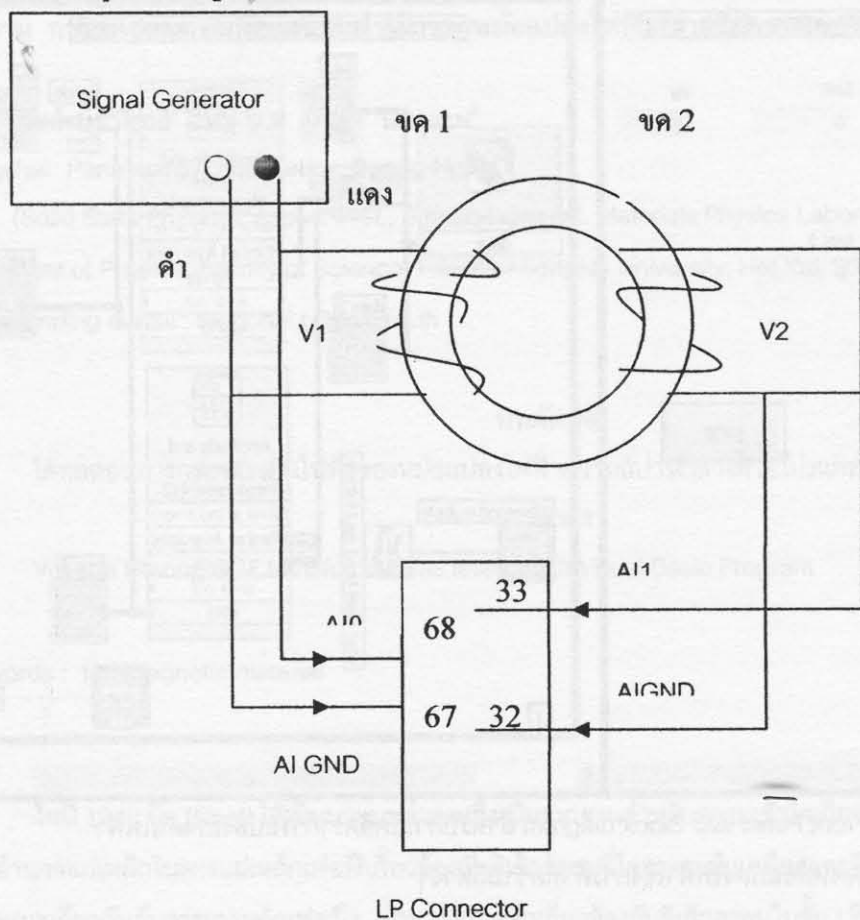
ตัวอย่างสารเฟอร์ไรต์อ่อน ได้แก่ $NiFe_2O_4$, $Ni_{0.5}Zn_{0.5}Fe_2O_4$, $MnFe_2O_4$, $Mn_{0.5}Zn_{0.5}Fe_2O_4$, $MgFe_2O_4$, $Y_3Fe_5O_{12}$ และ $CuFe_2O_4$ สารเหล่านี้เตรียมได้โดยวิธีเทคนิคปฏิกิริยาสถานะของแข็งหรือวิธีอื่นๆ สารเฟอร์ไรต์อ่อนแสดงอำนาจแม่เหล็กเฟอร์ริ (ferrimagnetism) และแสดงปรากฏการณ์การล้า (hysteresis effect) มีผู้ทดลองโดยนำสารเฟอร์ไรต์อ่อนทำเป็นตัวตรวจวัดสนามแม่เหล็ก (magnetic field detector) (Buchanan, 1991) สารเฟอร์ไรต์อ่อนเหล่านี้มีโครงสร้างผลึกเป็นแบบสปินเนล

วัสดุแม่เหล็กเฟอร์ริจัดอยู่ในกลุ่มเฟอร์ไรต์อ่อน เฟอร์ไรต์อ่อนแสดงสมบัติที่เปลี่ยนแปลงไปตามความถี่ของสนามแม่เหล็ก (magnetic field) จึงนำไปประยุกต์เป็นแกนของขดลวด (inductor core) แกนของหม้อแปลงไฟฟ้า (transformer core) สแกนนิ่งโยค (scanning yokes) สายอากาศ (antenna) อุปกรณ์เลื่อนเฟส (phase shifter) และอุปกรณ์ไมโครเวฟ (microwave device)

วิธีการทดลอง

จัดชุดทดลองตามรูปที่ 12.4.1 เครื่องกำเนิดสัญญาณไฟฟ้าจะจ่ายแรงดันไฟฟ้า V_1 มายังขด 1 หม้อแปลงไฟฟ้าจะแปลงแรงดันไฟฟ้านี้ออกจากขด 2 เป็นปริมาณ V_2 ตามหลักการเหนี่ยวนำร่วม ให้แรงดันไฟฟ้า V_1 และ V_2 เข้า

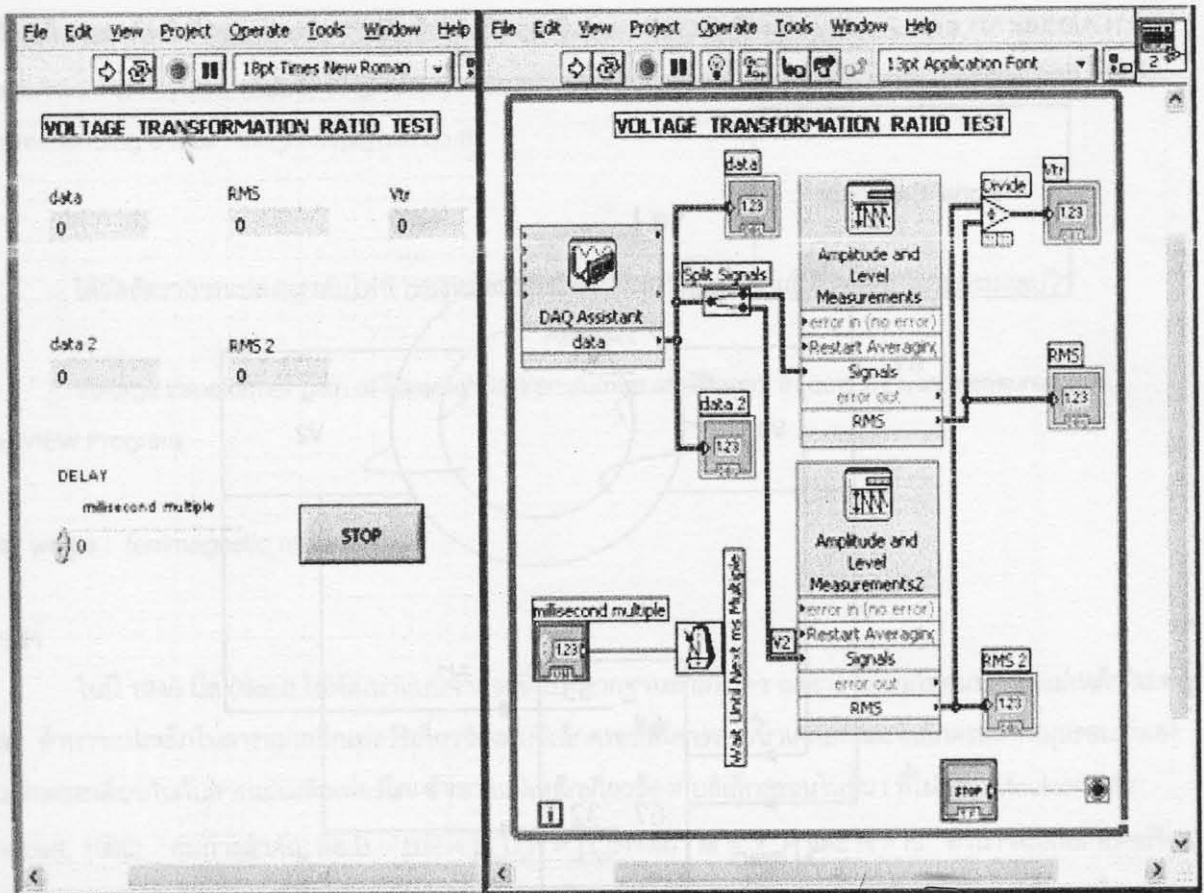
ทาง AI0 และ AI1 ของ LP connector ผ่าน DAQ card เข้าคอมพิวเตอร์ อัตราการแปลงแรงดันไฟฟ้าของหม้อแปลงไฟฟ้า (Vtr) ด้วยสูตร $V_{tr} = V_2/V_1$ Front Panel และ Block diagram แสดงดังรูปที่ 12.4.2



รูปที่ 12.4.1 การจัดชุดการทดลองสำหรับการวัดอัตราการแปลงแรงดันไฟฟ้าของหม้อแปลงไฟฟ้าเชิงการค้ำ ที่ความถี่ต่างๆ

VOLTAGE TRANSFORMATION RATIO TEST

data	RMS	Vtr
-2.34912	2.3568	0.0480168
data 2	RMS 2	
-2.34912	0.113166	
DELAY		
millisecond multiple		
6000	STOP	



รูปที่ 12.4.2 Front Panel และ Block diagram สำหรับการวัดอัตราการแปลงแรงดันไฟฟ้าของหม้อแปลงไฟฟ้าเชิงการค้ำที่ความถี่ต่างๆ

ผลการทดลอง

ผลการวัดอัตราการแปลงแรงดันไฟฟ้าของหม้อแปลงไฟฟ้าเชิงการค้ำที่ความถี่ต่างๆรูปที่ 12.4.2

วิเคราะห์ผลการทดลอง

ผลการวัดอัตราการแปลงแรงดันไฟฟ้าของหม้อแปลงไฟฟ้าเชิงการค้ำที่ความถี่ต่างๆจะนำไปสู่การพัฒนาหม้อแปลงไฟฟ้า

สรุปผลการทดลอง

ระบบเชื่อมต่อกอมพิวเตอร์ที่ควบคุมด้วย LabVIEW สามารถแสดงอัตราการแปลงแรงดันไฟฟ้าของหม้อแปลงไฟฟ้าเชิงการค้ำที่ความถี่ต่างๆ

เอกสารอ้างอิง

ธงชัย พันธุ์เมธาฤทธิ พิสิษฐ์สวัสดิ์คูเล็กโตรเซรามิกส์ ภาควิชาฟิสิกส์ คณะวิทยาศาสตร์
มหาวิทยาลัยสงขลานครินทร์ 2548

Http:// www.ni.com, LabVIEW[™] Basic I. Introduction Course Manual,

National Instruments Corporation, 1993-2001.

12.5 การทดสอบการกรองแรงดันไฟฟ้าของหม้อแปลงไฟฟ้าความถี่ปานกลาง บทความ การทดสอบการกรองแรงดันไฟฟ้าของหม้อแปลงไฟฟ้าความถี่ปานกลางด้วยโปรแกรมวิซวลเบสิก

ธงชัย พันธุ์เมธาฤทธิ¹ และ น.ส. นัตรา แดงงาม²

Thongchai Panmatarith¹ and Nattra Daeng-Ngam²

¹M.Sc. (Solid State Physics), Assoc. Prof., ²Physics student, Materials Physics Laboratory,

Department of Physics, Faculty of Science, Prince of Songkla University, Hat Yai, 90112 Thailand.

Corresponding e-mail : tongchai.p@psu.ac.th

บทคัดย่อ

ได้ทดสอบการกรองแรงดันไฟฟ้าของหม้อแปลงไฟฟ้าความถี่ปานกลางด้วยโปรแกรมวิซวลเบสิก

Abstract

Voltage filtering of IF transformer was tested with Visual Basic Program

Key words : ferrimagnetic material

คำนำ

ในปี 1948 นีล (Neel) ได้พัฒนาแบบจำลองซึ่งเป็นรากฐานสำหรับความเข้าใจเกี่ยวกับสมบัติเชิงแม่เหล็กในเฟอร์ไรต์ อำนวยแม่เหล็กในสารแม่เหล็กเฟอร์ริเกี่ยวข้องกับอิเล็กตรอนที่โคจรรอบนิวเคลียสและอิเล็กตรอนที่หมุนรอบตัวเอง ในลักษณะเดียวกันกับสารแม่เหล็กเฟอร์โร อำนวยแม่เหล็กเกี่ยวข้องกับอิเล็กตรอนในชั้น f ที่ไม่เต็ม (Moulson และ Herbert, 1990) สมการสำคัญ คือ $B = \mu H = \mu_0 \mu_r H = \mu_0 (H + M)$, $M = \chi_m H$ และ $H = ni$ อำนวยแม่เหล็กเฟอร์ริ (ferrimagnetism) เกิดจากการเรียงตัวแบบขนานตรงข้ามกัน (antiparallel alignment) ของโมเมนต์แม่เหล็กของไอออนบนโครงผลึกย่อย (sublattice) ที่ต่างกันในผลึก โมเมนต์แม่เหล็กขนานไม่เท่ากัน ขนานกันและทิศทางตรงข้ามนี้ทำให้โมเมนต์แม่เหล็กรวมหรือแมกนีโตเซชันไม่เป็นศูนย์ พฤติกรรมการคู่ควบ (coupling behavior) เหล่านี้ มีความเกี่ยวข้องกับการทำอันตรกิริยาของอิเล็กตรอนวงนอก (outer electron interaction) ของไอออนข้างเคียง (neighbouring ion) พันธะที่เกิดขึ้นในเซรามิกส์แม่เหล็กเป็นแบบไอออนิกและแบบโควาเลนต์ การเกิดพันธะทำให้เกิดการแลกเปลี่ยนยิ่งยวด (superexchange interaction) หรือเกิดการจัดเรียงตัวของสปิน (spin alignment) ระหว่างอิเล็กตรอนวงนอกซึ่งสามารถตอบสนองต่อการคู่ควบ วงการลำแม่เหล็กเฟอร์ริมีลักษณะคล้ายกับของแม่เหล็กเฟอร์โรโดยมีขนาดเล็กกว่า

ตัวอย่างสารเฟอร์ไรต์อ่อน ได้แก่ $NiFe_2O_4$, $Ni_{0.5}Zn_{0.5}Fe_2O_4$, $MnFe_2O_4$, $Mn_{0.5}Zn_{0.5}Fe_2O_4$, $MgFe_2O_4$, $Y_3Fe_5O_{12}$ และ $CuFe_2O_4$ สารเหล่านี้เตรียมได้โดยวิธีเทคนิคปฏิกิริยาสถานะของแข็งหรือวิธีอื่นๆ สารเฟอร์ไรต์อ่อนแสดงอำนวยการแม่เหล็กเฟอร์ริ (ferrimagnetism) และแสดงปรากฏการณ์การล่า (hysteresis effect) มีผู้ทดลองโดยนำสารเฟอร์ไรต์อ่อนทำเป็นตัวตรวจวัดสนามแม่เหล็ก (magnetic field detector) (Buchanan, 1991) สารเฟอร์ไรต์อ่อนเหล่านี้มีโครงสร้างผลึกเป็นแบบสปิเนล

วัสดุแม่เหล็กเฟอร์ริจัดอยู่ในกลุ่มเฟอร์ไรต์อ่อน เฟอร์ไรต์อ่อนแสดงสมบัติที่เปลี่ยนแปลงไปตามความถี่ของสนามแม่เหล็ก (magnetic field) จึงนำไปประยุกต์เป็นแกนของขดลวด (inductor core) แกนของหม้อแปลงไฟฟ้า

(transformer core) สแกนนิ่งโยค (scanning yokes) สายอากาศ (antenna) อุปกรณ์เลื่อนเฟส (phase shifter) และ อุปกรณ์ไมโครเวฟ (microwave device)

คณะนักวิจัยที่ศึกษาเกี่ยวกับวัสดุแม่เหล็กเฟอร์ริ มีดังนี้

Gusmano (1993) ได้เตรียม $MgFe_2O_4$ วัดความพรุน (porosity) และพื้นที่ผิวจำเพาะ (specific surface area) วัดขนาดของอนุภาค (particle size) ด้วยเครื่อง (SEM) และวัดสภาพต้านทานไฟฟ้า (resistivity) ในขณะที่สารได้รับความร้อน

Ravinder (1994) ได้เตรียมแมงกานีส-ซิงค์เฟอร์ไรต์ (Mn-Zn ferrite) วัดสภาพการนำไฟฟ้าที่สัมพันธ์กับอุณหภูมิและสัมประสิทธิ์ซีเบคที่สัมพันธ์กับอุณหภูมิ

Sattar (1996) ได้เตรียมผลึกเดี่ยวแมงกานีส-ซิงค์เฟอร์ไรต์ (Mn-Zn ferrite) วัดการขึ้นกับอุณหภูมิของสภาพต้านทานไฟฟ้าและของสภาพอ่อนไหวทางแม่เหล็ก

Rao (1996) ได้เตรียมนิกเกิล-ซิงค์เฟอร์ไรต์ (Ni-Zn ferrite) วัดค่าคงที่ไดอิเล็กตริก แทนเจนต์การสูญเสียเชิงไดอิเล็กตริก (dielectric loss tangent) และตัวประกอบการสูญเสียเชิงแม่เหล็ก (magnetic loss factor) ที่ความถี่ต่างๆ

Ghatage (1996) ได้เตรียม $NiFe_{2-x}Cr_xO_4$ วัดความสัมพันธ์ระหว่างความสามารถในการส่งผ่าน (transmittance) กับเลขคลื่น (wave number) วัดความสัมพันธ์ระหว่างแมกนีโตเรซันซ์อิมิตซ์กับสนามแม่เหล็กที่ป้อนเข้าไป (applied magnetic field) สารสูตรนี้สามารถนำไปประยุกต์ใช้งานเป็นอุปกรณ์ไมโครเวฟและอุปกรณ์บันทึกข้อมูลด้วยแม่เหล็ก (magnetic recording media)

Pujar (1996) ได้เตรียมแมกนีเซียม-ซิงค์เฟอร์ไรต์ (Mg-Zn ferrite) ที่มี Zr^{4+} เป็นตัวเติม วัดสภาพต้านทานไฟฟ้า สัมประสิทธิ์ซีเบค พลังงานเฟอร์มิ (Fermi energy) และสภาพเคลื่อนที่ได้ (mobility) ที่อุณหภูมิต่างๆ

Kyung Ho Lee (1997) ได้เตรียม Ni-Zn ferrite นำไปประยุกต์ทำเป็นขั้วเลือกไอออนสถานะของแข็ง (solid state ion selective electrode)

Mundada (1997) ได้เตรียม Ni-Zn ferrite ที่มีไอออน Ti^{4+} เป็นตัวเติม และวัดสภาพอ่อนไหวไฟลด์ (a.c. susceptibility) ที่อุณหภูมิต่างๆ

Abdullah (1997) ได้เตรียม Mg-Zn ferrites วัดค่าคงที่ไดอิเล็กตริกและตัวประกอบการสูญเสียที่ความถี่ต่างๆ

Abdeen (1998) ในประเทศอียิปต์ ได้ศึกษาสภาพการนำไฟฟ้าสลับที่อุณหภูมิ ความถี่และส่วนผสมต่างๆของสารนิกเกิลซิงค์เฟอร์ไรต์

Inoue (1999) ในประเทศญี่ปุ่น ได้ศึกษาอัตราขยายแรงดันไฟฟ้าและการแปลงกำลังไฟฟ้าที่ความถี่สูงของ Mn-Zn เฟอร์ไรต์ เพื่อประยุกต์ใช้เป็นหม้อแปลงไฟฟ้าความถี่สูง (high frequency transformer)

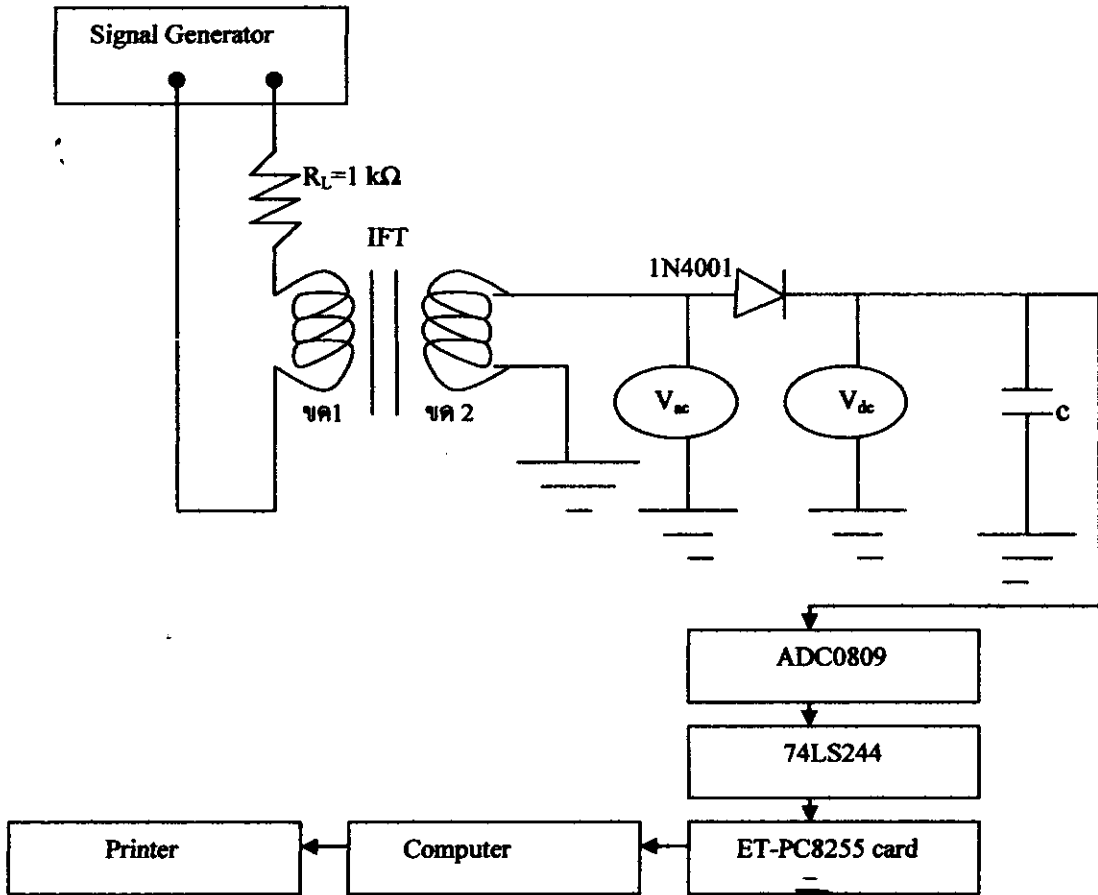
Ravinder (1999) ในประเทศอินเดีย ได้ศึกษาสมบัติการขนถ่ายทางไฟฟ้า (electrical transport properties) ซึ่งได้แก่สภาพการนำไฟฟ้าและกำลังไฟฟ้าความร้อนของสารซิงค์แมงกานีสเฟอร์ไรต์

Ravinder, D. (2001) ในประเทศอินเดีย ได้ศึกษาสมบัติไดอิเล็กตริก เช่น ค่าคงที่ไดอิเล็กตริกและตัวประกอบการสูญเสียที่สัมพันธ์กับความถี่และอุณหภูมิ ของสาร Mn-Zn เฟอร์ไรต์ ที่ถูกแทนที่ด้วย Er

Caltun (2001) ในประเทศโรมาเนีย ได้ศึกษาการสูญเสียกำลังไฟฟ้าและวัดสภาพราบซึมได้ที่ความถี่สูงของสาร Ni-Zn เฟอร์ไรต์ที่ถูกเติมด้วย CuO

วิธีการทดลอง

1. ประกอบวงจร ดังรูปที่ 12.5.1



รูปที่ 12.5.1 แสดงวงจรการทดสอบการกรองแรงดันไฟฟ้าของหม้อแปลงไฟฟ้าความถี่ปานกลาง

2. เครื่องกำเนิดสัญญาณไฟฟ้าจ่ายกระแสไฟฟ้าไหลผ่าน $R_L = 1\text{K}\Omega$ ผ่านขด 1 ของ IFT มีแรงดันไฟฟ้าตกคร่อมขด 1 หม้อแปลงจะแปลงแรงดันนี้ออกขด 2 ส่งผ่านโวลต์มิเตอร์ V_{ac} เพื่อแปลง V_{ac} เป็น V_{dc} หรือ V ส่งแรงดัน V เข้า I_0 ของ ADC0809 เพื่อแปลงแรงดันอนาล็อกเป็นแรงดันดิจิทัล ส่งผ่าน 74LS244 และ ET-PC8255 Card เข้าคอมพิวเตอร์
3. สั่ง RUN ให้คอมพิวเตอร์พิมพ์กราฟแรงดันไฟฟ้าที่เปลี่ยนแปลงตามเวลา (V vs t) ในขณะที่ความถี่เปลี่ยนแปลง บันทึกช่วงความถี่ที่ทดลอง

โปรแกรมสำหรับการวัดการกรองแรงดันไฟฟ้าของหม้อแปลงไฟฟ้าความถี่ปานกลาง

Voltage vs Time Graph

```
Private Declare Function Inp Lib "inout32.dll" Alias "Inp32" (ByVal PortAddress As Integer) As Integer
```

```
Private Declare Sub Out Lib "inout32.dll" Alias "Out32" (ByVal PortAddress As Integer, ByVal Value As Integer)
```

```
Public toggle As Boolean
```

```
Private Sub Command1_Click()
```

```
If toggle = True Then
```

```
Timer1.Enabled = False
```

```
toggle = False
```

```
Command1.Caption = "continue"
```

```
Else
```

```
Timer1.Enabled = True
```

```
toggle = True
```

```
Command1.Caption = "capture"
```

```
End If
```

```
End Sub
```

```
Private Sub Form_Load()
```

```
Left = (Screen.Width - Width) / 2
```

```
Top = (Screen.Height - Height) / 2
```

```
Picture1.DrawWidth = 2
```

```
toggle = True
```

```
Out &H307, &H90
```

```
End Sub
```

```
Private Sub Timer1_Timer()
```

```
Picture1.Cls
```

```
For i = 20 To 3500 Step 50
```

```
Out &H307, &H90
```

```
W = Inp(&H304)
```

```
d = (255 - W) ' CALCULATE PLOT
```

```
Picture1.PSet (i, 10 * d), vbBlue
```

```
Call delay
```

```
Next i
```

```
Label7.Caption = (5 / 255) * W ' SHOW VOLTAGE
```

```
End Sub
```

```
Sub delay()
```

```
Times = Timer
```

```
Do
```

```
DoEvents
```

```
Loop Until Timer >= Times + 0.2
```

```
Label20.Caption = Timer
```

```
End Sub
```

Properties Window

VERSION 5.00

Begin VB.Form A_Đồng ý

Caption = "Easy Oscilloscope Đồng ý"
 ClientHeight = 5430
 ClientLeft = 60
 ClientTop = 450
 ClientWidth = 7245
 LinkTopic = "Form1"
 ScaleHeight = 5430
 ScaleWidth = 7245
 StartUpPosition = 3 Windows Default

Begin VB.PictureBox Picture1

Height = 2415
 Left = 1080
 ScaleHeight = 2355
 ScaleWidth = 4755
 TabIndex = 20
 Top = 480
 Width = 4815

End

Begin VB.Timer Timer1

Interval = 10
 Left = 6240
 Top = 1680

End

Begin VB.CommandButton Command1

Caption = "Capture"
 Height = 495
 Left = 2760
 TabIndex = 0
 Top = 4800
 Width = 1215

End

Begin VB.Label Label20

Height = 255

Left = 6240
TabIndex = 21
Top = 720
Width = 1215

End

Begin VB.Label Label19

Caption = "9"
Height = 255
Left = 5280
TabIndex = 19
Top = 3240
Width = 255

End

Begin VB.Label Label18

Caption = "8"
Height = 255
Left = 4920
TabIndex = 18
Top = 3240
Width = 135

End

Begin VB.Label Label17

Caption = "7"
Height = 255
Left = 4440
TabIndex = 17
Top = 3240
Width = 255

End

Begin VB.Label Label16

Caption = "6"
Height = 255
Left = 3960
TabIndex = 16
Top = 3240
Width = 135

End

Begin VB.Label Label15

Caption = "5"
Height = 255
Left = 3480
TabIndex = 15
Top = 3240
Width = 255

End

Begin VB.Label Label14

Caption = "4"
Height = 255
Left = 3000
TabIndex = 14
Top = 3240
Width = 135

End

Begin VB.Label Label13

Caption = "3"
Height = 255
Left = 2400
TabIndex = 13
Top = 3240
Width = 255

End

Begin VB.Label Label12

Caption = "2"
Height = 255
Left = 1920
TabIndex = 12
Top = 3240
Width = 135

End

Begin VB.Label Label8

Caption = "1"
Height = 255

Left = 1440
TablIndex = 11
Top = 3240
Width = 135

End

Begin VB.Line Line15

X1 = 5400
X2 = 5400
Y1 = 2880
Y2 = 3120

End

Begin VB.Line Line14

X1 = 4920
X2 = 4920
Y1 = 2880
Y2 = 3120

End

Begin VB.Line Line13

X1 = 4440
X2 = 4440
Y1 = 2880
Y2 = 3120

End

Begin VB.Line Line12

X1 = 3960
X2 = 3960
Y1 = 2880
Y2 = 3120

End

Begin VB.Line Line11

X1 = 3000
X2 = 3000
Y1 = 3120
Y2 = 2880

End

Begin VB.Line Line10

X1 = 2520

X2 = 2520

Y1 = 2880

Y2 = 3120

End

Begin VB.Line Line9

X1 = 2040

X2 = 2040

Y1 = 3120

Y2 = 3000

End

Begin VB.Line Line8

X1 = 2040

X2 = 2040

Y1 = 2880

Y2 = 3120

End

Begin VB.Line Line7

X1 = 1560

X2 = 1560

Y1 = 2880

Y2 = 3120

End

Begin VB.Label Label11

Caption = "0"

Height = 255

Left = 1080

TabIndex = 10

Top = 3240

Width = 135

End

Begin VB.Label Label10

Caption = "10"

Height = 255

Left = 5760

TabIndex = 9

Top = 3240

Width = 255

End

Begin VB.Label Label9

Caption = "Time (s)"

Height = 255

Left = 5640

TabIndex = 8

Top = 3720

Width = 615

End

Begin VB.Line Line6

X1 = 5880

X2 = 5880

Y1 = 2880

Y2 = 3120

End

Begin VB.Line Line5

X1 = 1080

X2 = 1080

Y1 = 2880

Y2 = 3120

End

Begin VB.Line Line4

X1 = 3480

X2 = 3480

Y1 = 2880

Y2 = 3120

End

Begin VB.Line Line3

X1 = 1080

X2 = 840

Y1 = 480

Y2 = 480

End

Begin VB.Line Line2


```
X1      = 840
X2      = 1080
Y1      = 2880
Y2      = 2880
```

End

Begin VB.Line Line1

```
X1      = 840
X2      = 1080
Y1      = 1680
Y2      = 1680
```

End

Begin VB.Label Label7

```
Height   = 255
Left     = 2040
TabIndex = 7
Top      = 3840
Width    = 735
```

End

Begin VB.Label Label6

```
Caption  = "V"
Height   = 255
Left     = 3120
TabIndex = 6
Top      = 3840
Width    = 255
```

End

Begin VB.Label Label5

```
Caption  = "Volt DC"
Height   = 255
Left     = 1080
TabIndex = 5
Top      = 3840
Width    = 615
```

End

Begin VB.Label Label4

```
Caption  = "Voltage (V)"
```

Height = 255
 Left = 120
 TabIndex = 4
 Top = 240
 Width = 855

End

Begin VB.Label Label3

Caption = "5.0"
 Height = 255
 Left = 480
 TabIndex = 3
 Top = 480
 Width = 375

End

Begin VB.Label Label2

Caption = "2.5"
 Height = 255
 Left = 360
 TabIndex = 2
 Top = 1560
 Width = 375

End

Begin VB.Label Label1

Caption = "0"
 Height = 255
 Left = 480
 TabIndex = 1
 Top = 2760
 Width = 255

End

End

Attribute VB_Name = "A_ငွေကြေး"

Attribute VB_GlobalNameSpace = False

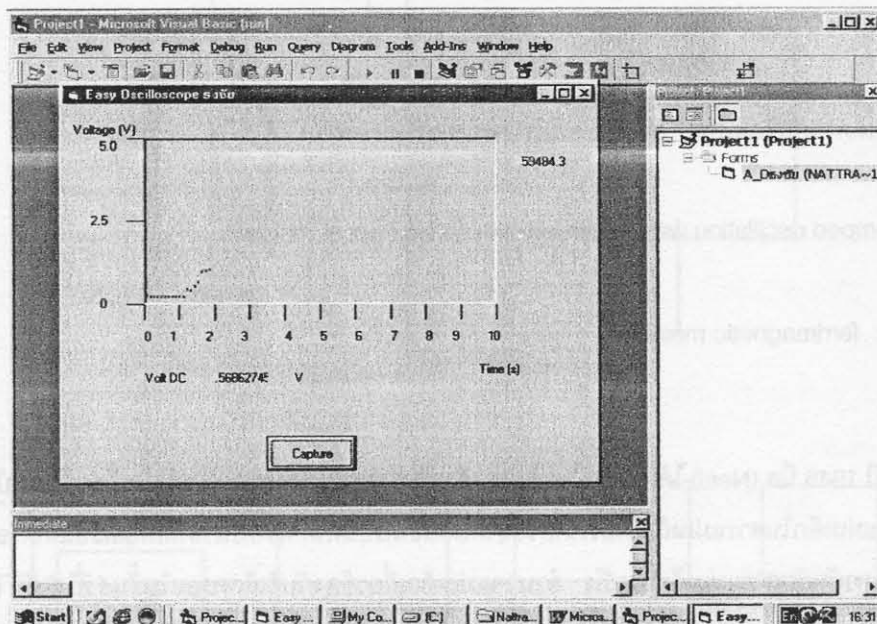
Attribute VB_Creatable = False

Attribute VB_PredeclaredId = True

Attribute VB_Exposed = False

ผลการทดลอง

ผลการทดสอบการกรองแรงดันไฟฟ้าของหม้อแปลงไฟฟ้าความถี่ปานกลางแสดงดังรูปที่ 12.5.2



รูปที่ 12.5.2 ภาพบนจอคอมพิวเตอร์ขณะใช้งานโดยใช้โปรแกรมที่ชื่อ Voltage vs Time Graph

วิเคราะห์ผลการทดลอง

เมื่อเครื่องกำเนิดสัญญาณไฟฟ้า จ่ายกระแสไฟฟ้าผ่านขด 1 ของ IFT มีแรงดันไฟฟ้าตกคร่อมขด 1 หม้อแปลงจะแปลงแรงดันนี้ออกขด 2 ส่งผ่านไดโอด 1N4001 เพื่อแปลง V_{AC} เป็น V_{DC} หรือ V ส่งแรงดัน V เข้า I_0 ของ ADC0809 เพื่อแปลงแรงดันอนาล็อกเป็นแรงดันดิจิทัล ส่งผ่าน 74LS244 และ ET-PC8255 Card เข้าคอมพิวเตอร์ สั่ง RUN ให้คอมพิวเตอร์พิมพ์กราฟ V vs t จากผลการทดลอง (รูปที่ 67.2) จะเห็นว่าแรงดันไฟฟ้าที่เปลี่ยนแปลงตามเวลา ในขณะที่ความถี่เปลี่ยน

สรุปผลการทดลอง

แผงวงจรเชื่อมต่อกับคอมพิวเตอร์ที่ได้จัดเตรียมและโปรแกรมที่เขียนขึ้น สามารถวัดปริมาณทางฟิสิกส์ได้หลายอย่าง เช่น แรงดันไฟฟ้า กระแสไฟฟ้า และความต้านทานไฟฟ้า นอกจากนี้ก็ยังสามารถใช้ในการทดสอบสมบัติเชิงฟิสิกส์ได้อีกด้วย ได้แก่ การทดสอบการกรองแรงดันไฟฟ้าของหม้อแปลงไฟฟ้าความถี่ปานกลาง

เอกสารอ้างอิง

ธงชัย พันธุ์เมธาฤทธิ์ ฟิสิกส์วัสดุเล็กโตรเซรามิกส์ ภาควิชาฟิสิกส์ คณะวิทยาศาสตร์

มหาวิทยาลัยสงขลานครินทร์ 2548

Duga, J. J., 1962, Automatic data recording system for semiconductor research,

The review of scientific instruments, 45(3) : 371-377.

12.6 การแสดงออสซิลเลตแบบหนึ่งด้วยตัวเหนี่ยวนำ

บทความ การแสดงออสซิลเลตแบบหนึ่งด้วยโปรแกรมเทอร์โบปาสคาล

ธงชัย พันธุ์เมธาฤทธิ์

Thongchai Panmatarith¹ and Nattra Daeng-Ngam²

¹M.Sc. (Solid State Physics), Assoc. Prof., Materials Physics Laboratory,

Department of Physics, Faculty of Science, Prince of Songkla University, Hat Yai, 90112 Thailand.

Corresponding e-mail : tongchai.p@psu.ac.th

บทคัดย่อ

ได้แสดงออสซิลเลตแบบหน่วงด้วยโปรแกรมเทอร์โบปาสคาล

Abstract

Damped oscillation was displayed with Turbo Pascal Program.

Key words : ferrimagnetic material

คำนำ

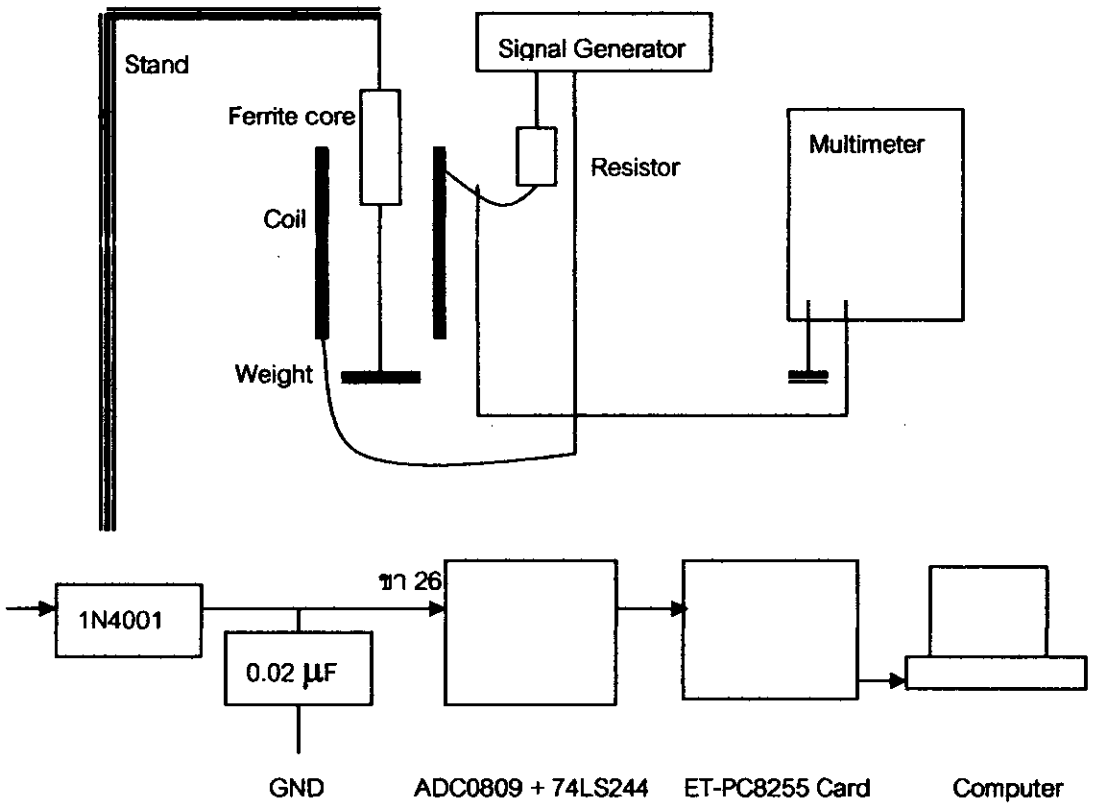
ในปี 1948 นีล (Neel) ได้พัฒนาแบบจำลองซึ่งเป็นรากฐานสำหรับความเข้าใจเกี่ยวกับสมบัติเชิงแม่เหล็กในเฟอร์ไรต์ จำนวนแม่เหล็กในสารแม่เหล็กเฟอร์ริเกี่ยวข้องกับอิเล็กตรอนที่โคจรรอบนิวเคลียสและอิเล็กตรอนที่หมุนรอบตัวเอง ในลักษณะเดียวกันกับสารแม่เหล็กเฟอร์โร จำนวนแม่เหล็กเกี่ยวข้องกับอิเล็กตรอนในชั้น f ที่ไม่เต็ม (Moulson และ Herbert, 1990) สมการสำคัญ คือ $B = \mu H = \mu_0 \mu_r H = \mu_0 (H + M)$, $M = \chi_m H$ และ $H = ni$ จำนวนแม่เหล็กเฟอร์ริ (ferrimagnetism) เกิดจากการเรียงตัวแบบขนานตรงข้ามกัน (antiparallel alignment) ของโมเมนต์แม่เหล็กของไอออนบนโครงผลึกย่อย (sublattice) ที่ต่างกันในผลึก โมเมนต์แม่เหล็กขนานไม่เท่ากัน ขนานกันและทิศทางตรงข้ามนี้ทำให้โมเมนต์แม่เหล็กรวมหรือแมกนีโตแมกเนตไม่เป็นศูนย์ พฤติกรรมการคู่ควบ (coupling behavior) เหล่านี้ มีความเกี่ยวข้องกับการทำอันตรกิริยาของอิเล็กตรอนวงนอก (outer electron interaction) ของไอออนข้างเคียง (neighbouring ion) พันธะที่เกิดขึ้นในเซรามิกส์แม่เหล็กเป็นแบบไอออนิกและแบบโควาเลนต์ การเกิดพันธะทำให้เกิดการแลกเปลี่ยนยิ่งยวด (superexchange interaction) หรือเกิดการจัดเรียงตัวของสปิน (spin alignment) ระหว่างอิเล็กตรอนวงนอกซึ่งสามารถตอบสนองต่อการคู่ควบ วงการล้าแม่เหล็กเฟอร์ริมีลักษณะคล้ายกับของแม่เหล็กเฟอร์โรโดยมีขนาดเล็กกว่า

ตัวอย่างสารเฟอร์ไรต์อ่อน ได้แก่ $NiFe_2O_4$, $Ni_{0.5}Zn_{0.5}Fe_2O_4$, $MnFe_2O_4$, $Mn_{0.5}Zn_{0.5}Fe_2O_4$, $MgFe_2O_4$, $Y_3Fe_5O_{12}$ และ $CuFe_2O_4$ สารเหล่านี้เตรียมได้โดยวิธีเทคนิคปฏิบัติการสถานะของแข็งหรือวิธีอื่นๆ สารเฟอร์ไรต์อ่อนแสดงอำนาจแม่เหล็กเฟอร์ริ (ferrimagnetism) และแสดงปรากฏการณ์การล้า (hysteresis effect) มีผู้ทดลองโดยนำสารเฟอร์ไรต์อ่อนทำเป็นตัวตรวจวัดสนามแม่เหล็ก (magnetic field detector) (Buchanan, 1991) สารเฟอร์ไรต์อ่อนเหล่านี้มีโครงสร้างผลึกเป็นแบบสปิเนล

วัสดุแม่เหล็กเฟอร์ริจัดอยู่ในกลุ่มเฟอร์ไรต์อ่อน เฟอร์ไรต์อ่อนแสดงสมบัติที่เปลี่ยนแปลงไปตามความถี่ของสนามแม่เหล็ก (magnetic field) จึงนำไปประยุกต์เป็นแกนของขดลวด (inductor core) แกนของหม้อแปลงไฟฟ้า (transformer core) สแกนนิ่งโยค (scanning yokes) สายอากาศ (antenna) อุปกรณ์เลื่อนเฟส (phase shifter) และ อุปกรณ์ไมโครเวฟ (microwave device)

วิธีการทดลอง

การจัดชุดการทดลองสำหรับการแสดงออสซิลเลตแบบหน่วงแสดงดังรูปที่ 12.6.1



รูปที่ 12.6.1 การจัดการการทดลองสำหรับการแสดงออสซิลเลตแบบหน่วง

```

Program Damped_Oscillation_Graph;
uses crt, graph;
var
  grdrv, grmode, gerror : integer;
  ch                      : char;
const PA                  = $0304;
      Pcontrol = $0307;
procedure axis;
var p,q : integer;
    tex : string;
begin
  grdrv := detect ; initgraph(grdrv, grmode, 'c:\tp\bgi');
  setgraphmode(grmode);
  line(50,50,50,305);      line(50,305,600,305);
  line(50,50,600,50);     line(600,50,600,305);
  settextstyle(defaultfont, horizdir, 0);
  for p := 50 to 600 do
  begin

```

```

if p mod 32 = 0 then
  begin
    line(p+18,295,p+18,305); str(round(p/32-1),tex);
    outtextxy(p+18,320,tex);
  end;
end;
settextstyle(defaultfont, horizdir, 0);
for q := 50 to 305 do
  begin
    if q mod 51 = 0 then
      begin
        line(45,q,55,q); str((((305-q) mod 5)+1),tex); outtextxy(20,q,tex);
      end;
    end;
end;
procedure plot;
var i, j, x, y, DV      : integer;
    AV                   : real;
begin
  outtextxy(190,10, 'VOLTAGHE VSD TIME FOR DAMPED OSCILLATION TEST');
  outtextxy(190,18, '-----');
  outtextxy(50,30, 'Voltage (V)');
  outtextxy(540,340, 'Time (s)');
  outtextxy(48,303, '');
  begin
    port[Pcontrol] := $90;
    for j := 0 to 550 do
      begin
        DV := port[PA];
        AV := (5/255)*DV;
        x := j+50; y := 305-DV;
        lineto(x,y);
        delay(30);
      end;
    end;
  end;
readln;

```

ctosegraph;

ctno,

begin ([mam)

repeat

axis;

plot;

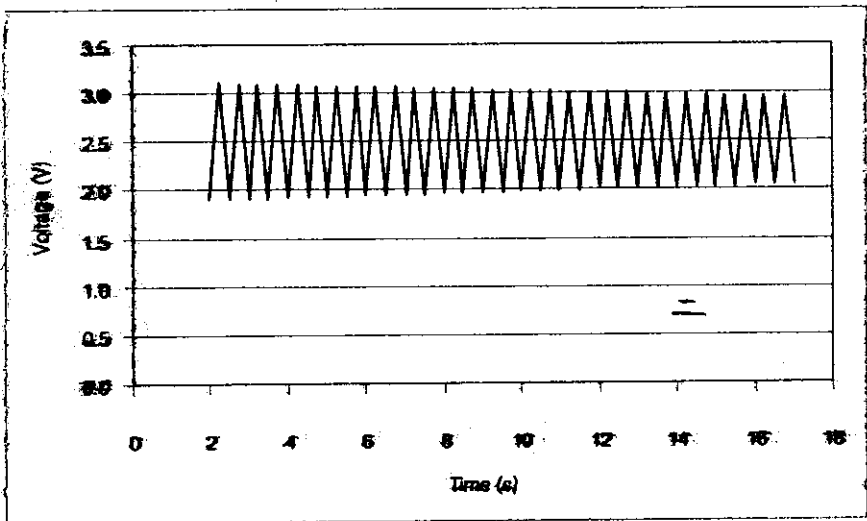
ch := readkey;

until ord(ch) = 27;

end .

ผลการทดลอง

ผลการแสดงออสซิลเลตแบบหนึ่ง แสดงดังรูปที่ 12.6.2



รูปที่ 12.6.2 ผลการแสดงผลออสซิลเลตแบบหนึ่ง

วิเคราะห์ผลทดลอง

อัมปลิจูดลดลงเรื่อยๆเนื่องจากผลของความเสียดทาน

สรุปผลทดลอง

ระบบเชื่อมต่อคอมพิวเตอร์ที่ควบคุมด้วย Visual Basic สามารถแสดงการออสซิลเลตแบบหนึ่ง

เอกสารอ้างอิง

ธงชัย พันธุ์เมธาฤทธิ์ ฟิสิกส์วัสดุเล็กโตเรเซอร์นามิกส์ ภาควิชาฟิสิกส์ คณะวิทยาศาสตร์

มหาวิทยาลัยสงขลานครินทร์ 2548

<http://www.Ett.co.th>, Manual of ET-PC8255 card, 2005-2007.

บทความ การแสดงผลออสซิลเลตแบบหนึ่งด้วยโปรแกรมวิซวลเบสิก

ธงชัย พันธุ์เมธาฤทธิ์¹ และ น.ส. นัตรา แดงงาม²

Thongchai Panmatarith¹ and Nattra Daeng-Ngam²

¹M.Sc. (Solid State Physics), Assoc. Prof., ²Physics student, Materials Physics Laboratory,

Department of Physics, Faculty of Science, Prince of Songkla University, Hat Yai, 90112 Thailand.

Corresponding e-mail : tongchai.p@psu.ac.th

บทคัดย่อ

ได้แสดงออสซิลเลตแบบหน่วงด้วยโปรแกรมวิซวลเบสิก

Abstract

Damped oscillation was displayed with Visual Basic Program.

Key words : ferrimagnetic material

คำนำ

Gusmano (1993) ได้เตรียม $MgFe_2O_4$ วัดความพรุน (porosity) และพื้นผิวจำเพาะ (specific surface area) วัดขนาดของอนุภาค (particle size) ด้วยเครื่อง (SEM) และวัดสภาพต้านทานไฟฟ้า (resistivity) ในขณะที่สารได้รับความชื้น

Ravinder (1994) ได้เตรียมแมงกานีส-ซิงค์เฟอร์ไรต์ (Mn-Zn ferrite) วัดสภาพการนำไฟฟ้าที่สัมพันธ์กับอุณหภูมิและสัมประสิทธิ์ซีเบคที่สัมพันธ์กับอุณหภูมิ

Sattar (1996) ได้เตรียมผลึกเดี่ยวแมงกานีส-ซิงค์เฟอร์ไรต์ (Mn-Zn ferrite) วัดการขึ้นกับอุณหภูมิของสภาพต้านทานไฟฟ้าและของสภาพอ่อนไหวทางแม่เหล็ก

Rao (1996) ได้เตรียมนิกเกิล-ซิงค์เฟอร์ไรต์ (Ni-Zn ferrite) วัดค่าคงที่ไดอิเล็กตริก แทนเจนต์การสูญเสียเชิงไดอิเล็กตริก (dielectric loss tangent) และตัวประกอบการสูญเสียเชิงแม่เหล็ก (magnetic loss factor) ที่ความถี่ต่างๆ

Ghatage (1996) ได้เตรียม $NiFe_{2-x}Cr_xO_4$ วัดความสัมพันธ์ระหว่างความสามารถในการส่งผ่าน (transmittance) กับเลขคลื่น (wave number) วัดความสัมพันธ์ระหว่างแมกนีโตเรซันซ์อิมิตซ์กับสนามแม่เหล็กที่ป้อนเข้าไป (applied magnetic field) สารชนิดนี้สามารถนำไปประยุกต์ใช้งานเป็นอุปกรณ์ไมโครเวฟและอุปกรณ์บันทึกข้อมูลด้วยแม่เหล็ก (magnetic recording media)

Pujar (1996) ได้เตรียมแมงกานีส-ซิงค์เฟอร์ไรต์ (Mg-Zn ferrite) ที่มี Zr^{4+} เป็นตัวเติม วัดสภาพต้านทานไฟฟ้าสัมพันธ์กับสัมประสิทธิ์ซีเบค พลังงานเฟอร์มิ (Fermi energy) และสภาพเคลื่อนที่ได้ (mobility) ที่อุณหภูมิต่างๆ

Kyung Ho Lee (1997) ได้เตรียม Ni-Zn ferrite นำไปประยุกต์ทำเป็นขั้วเลือกไอออนสถานะของแข็ง (solid state ion selective electrode)

Mundada (1997) ได้เตรียม Ni-Zn ferrite ที่มีไอออน Ti^{4+} เป็นตัวเติม และวัดสภาพอ่อนไหวไฟลด์ (a.c. susceptibility) ที่อุณหภูมิต่างๆ

Abdullah (1997) ได้เตรียม Mg-Zn ferrites วัดค่าคงที่ไดอิเล็กตริกและตัวประกอบการสูญเสียที่ความถี่ต่างๆ

Abdeen (1998) ในประเทศอียิปต์ ได้ศึกษาสภาพการนำไฟฟ้าสลับที่อุณหภูมิ ความถี่และส่วนผสมต่างๆของสารนิกเกิลซิงค์เฟอร์ไรต์

Inoue (1999) ในประเทศญี่ปุ่น ได้ศึกษาอัตราขยายแรงดันไฟฟ้าและการแปลงกำลังไฟฟ้าที่ความถี่สูงของ Mn-Zn เฟอร์ไรต์ เพื่อประยุกต์ใช้เป็นหม้อแปลงไฟฟ้าความถี่สูง (high frequency transformer)

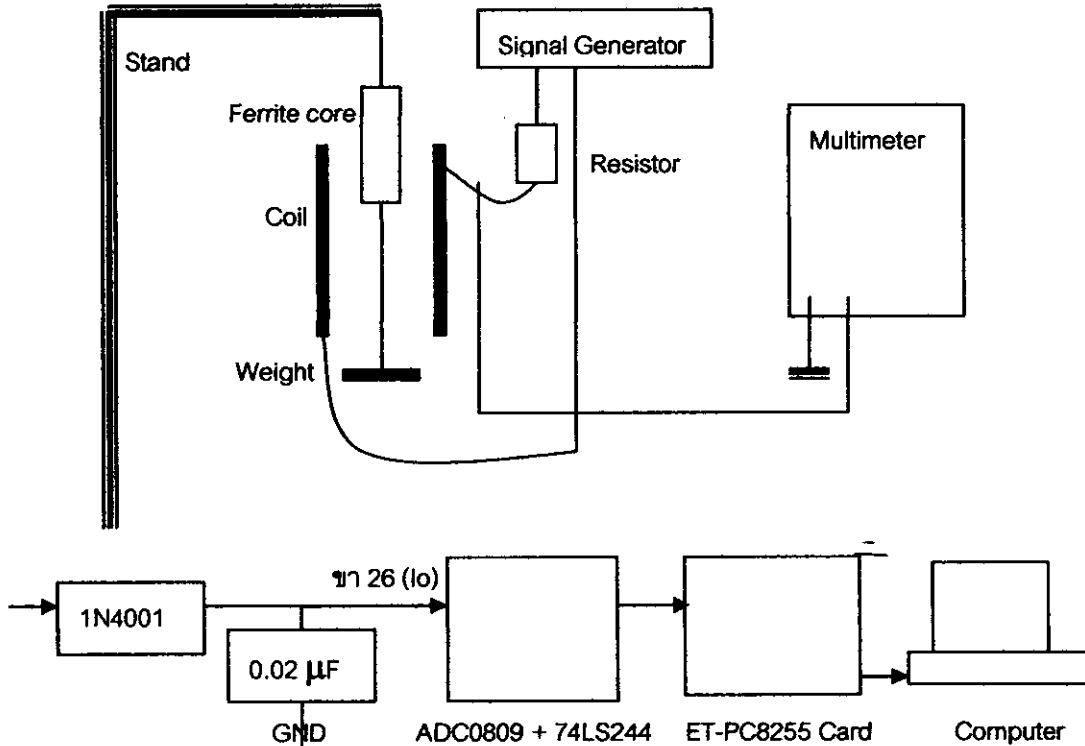
Ravinder (1999) ในประเทศอินเดีย ได้ศึกษาสมบัติการขนถ่ายทางไฟฟ้า (electrical transport properties) ซึ่งได้แก่ สภาพการนำไฟฟ้าและกำลังไฟฟ้าความร้อนของสารซิงค์แมงกานีสเฟอร์ไรต์

Ravinder, D. (2001) ในประเทศอินเดีย ได้ศึกษาสมบัติไดโพลีคกริก เช่น ค่าคงที่ไดโพลีคกริกและตัวประกอบการสูญเสียที่สัมพันธ์กับความถี่และอุณหภูมิ ของสาร Mn-Zn เฟอร์ไรต์ ที่ถูกแทนที่ด้วย Er

Caltun (2001) ในประเทศโรมาเนีย ได้ศึกษาการสูญเสียกำลังไฟฟ้าและวัสดุสภาพราบซึมได้ที่ความถี่สูงของสาร Ni-Zn เฟอร์ไรต์ที่ถูกเติมด้วย CuO

วิธีการทดลอง

การจัดชุดการทดลองสำหรับการแสดงออสซิลเลตแบบหน่วงแสดงดังรูปที่ 12.6.3



รูปที่ 12.6.3 การจัดชุดการทดลองสำหรับการแสดงออสซิลเลตแบบหน่วง

โปรแกรมสำหรับวัดความสัมพันธ์ของน้ำหนักกับแรงดัน

*Voltage vs Time Graph

```
Private Declare Function Inp Lib "inout32.dll" Alias "Inp32" (ByVal PortAddress As Integer) As Integer
Private Declare Sub Out Lib "inout32.dll" Alias "Out32" (ByVal PortAddress As Integer, ByVal Value As Integer)
```

```
Public toggle As Boolean
```

```
Private Sub Command1_Click()
```

```
If toggle = True Then
```

```
Timer1.Enabled = False
```

```
toggle = False
```

```
Command1.Caption = "continue"
```

```
Else
```

```

Timer1.Enabled = True
toggle = True
Command1.Caption = "capture"
End If
End Sub

```

```

Private Sub Form_Load()
Left = (Screen.Width - Width) / 2
Top = (Screen.Height - Height) / 2
Picture1.DrawWidth = 2
toggle = True
Out &H307, &H90
End Sub

```

```

Private Sub Timer1_Timer()
Picture1.Cls
For i = 20 To 3500 Step 50
Out &H307, &H90
W = Inp(&H304)
d = (255 - W) ' CALCULATE PLOT
Picture1.PSet (i, 10 * d), vbBlue
Call delay
Next i
Label7.Caption = (5 / 255) * W ' SHOW VOLTAGE
End Sub

```

```

Sub delay()
Times = Timer
Do
DoEvents
Loop Until Timer >= Times + 0.09
Label2.Caption = Timer
End Sub

```

Properties Window

VERSION 5.00

Begin VB.Form A_D???????

Caption = "Easy Oscilloscope ??????"
ClientHeight = 5430
ClientLeft = 60
ClientTop = 450
ClientWidth = 7245
LinkTopic = "Form1"
ScaleHeight = 5430
ScaleWidth = 7245
StartPosition = 3 'windows Default

Begin VB.PictureBox Picture1

Height = 2415
Left = 1080
ScaleHeight = 2355
ScaleWidth = 4755
TabIndex = 20
Top = 480
Width = 4815

End

Begin VB.Timer Timer1

Interval = 10
Left = 6360
Top = 1680

End

Begin VB.CommandButton Command1

Caption = "Capture"
Height = 495
Left = 2760
TabIndex = 0
Top = 4800
Width = 1215

End

Begin VB.Label Label19

Caption = "9"
Height = 255
Left = 5280

TabIndex = 19
Top = 3240
Width = 255

End

Begin VB.Label Label18

Caption = "8"
Height = 255
Left = 4920
TabIndex = 18
Top = 3240
Width = 135

End

Begin VB.Label Label17

Caption = "7"
Height = 255
Left = 4440
TabIndex = 17
Top = 3240
Width = 255

End

Begin VB.Label Label16

Caption = "6"
Height = 255
Left = 3960
TabIndex = 16
Top = 3240
Width = 135

End

Begin VB.Label Label15

Caption = "5"
Height = 255
Left = 3480
TabIndex = 15
Top = 3240
Width = 255

End

Begin VB.Label Label14

Caption = "4"
Height = 255
Left = 3000
TabIndex = 14
Top = 3240
Width = 135

End

Begin VB.Label Label13

Caption = "3"
Height = 255
Left = 2400
TabIndex = 13
Top = 3240
Width = 255

End

Begin VB.Label Label12

Caption = "2"
Height = 255
Left = 1920
TabIndex = 12
Top = 3240
Width = 135

End

Begin VB.Label Label8

Caption = "1"
Height = 255
Left = 1440
TabIndex = 11
Top = 3240
Width = 135

End

Begin VB.Line Line15

X1 = 5400
X2 = 5400
Y1 = 2880

$$Y2 = 3120$$

End

Begin VB.Line Line14

$$X1 = 4920$$

$$X2 = 4920$$

$$Y1 = 2880$$

$$Y2 = 3120$$

End

Begin VB.Line Line13

$$X1 = 4440$$

$$X2 = 4440$$

$$Y1 = 2880$$

$$Y2 = 3120$$

End

Begin VB.Line Line12

$$X1 = 3960$$

$$X2 = 3960$$

$$Y1 = 2880$$

$$Y2 = 3120$$

End

Begin VB.Line Line11

$$X1 = 3000$$

$$X2 = 3000$$

$$Y1 = 3120$$

$$Y2 = 2880$$

End

Begin VB.Line Line10

$$X1 = 2520$$

$$X2 = 2520$$

$$Y1 = 2880$$

$$Y2 = 3120$$

End

Begin VB.Line Line9

$$X1 = 2040$$

$$X2 = 2040$$

$$Y1 = 3120$$

Y2 = 3000

End

Begin VB.Line Line8

X1 = 2040

X2 = 2040

Y1 = 2880

Y2 = 3120

End

Begin VB.Line Line7

X1 = 1560

X2 = 1560

Y1 = 2880

Y2 = 3120

End

Begin VB.Label Label11

Caption = "0"

Height = 255

Left = 1080

TabIndex = 10

Top = 3240

Width = 135

End

Begin VB.Label Label10

Caption = "10"

Height = 255

Left = 5760

TabIndex = 9

Top = 3240

Width = 255

End

Begin VB.Label Label9

Caption = "Time (s)"

Height = 255

Left = 5640

TabIndex = 8

Top = 3720

Width = 615

End

Begin VB.Line Line6

X1 = 5880

X2 = 5880

Y1 = 2880

Y2 = 3120

End

Begin VB.Line Line5

X1 = 1080

X2 = 1080

Y1 = 2880

Y2 = 3120

End

Begin VB.Line Line4

X1 = 3480

X2 = 3480

Y1 = 2880

Y2 = 3120

End

Begin VB.Line Line3

X1 = 1080

X2 = 840

Y1 = 480

Y2 = 480

End

Begin VB.Line Line2

X1 = 840

X2 = 1080

Y1 = 2880

Y2 = 2880

End

Begin VB.Line Line1

X1 = 840

X2 = 1080

Y1 = 1680

Y2 = 1680

End

Begin VB.Label Label7

Height = 255
Left = 2040
TabIndex = 7
Top = 3840
Width = 735

End

Begin VB.Label Label6

Caption = "V"
Height = 255
Left = 3120
TabIndex = 6
Top = 3840
Width = 255

End

Begin VB.Label Label5

Caption = "Volt DC"
Height = 255
Left = 1080
TabIndex = 5
Top = 3840
Width = 615

End

Begin VB.Label Label4

Caption = "Voltage(V)"
Height = 255
Left = 120
TabIndex = 4
Top = 120
Width = 855

End

Begin VB.Label Label3

Caption = "5.0"
Height = 255

Left = 480
 TabIndex = 3
 Top = 480
 Width = 375

End

Begin VB.Label Label2

Caption = "2.5"
 Height = 255
 Left = 480
 TabIndex = 2
 Top = 1560
 Width = 375

End

Begin VB.Label Label1

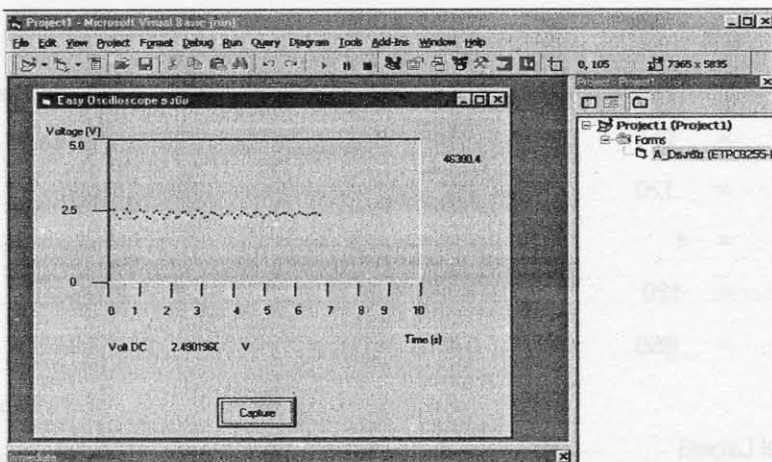
Caption = "0"
 Height = 255
 Left = 480
 TabIndex = 1
 Top = 2760
 Width = 255

End

End

ผลการทดลอง

ผลการวัดความสัมพันธ์ระหว่างน้ำหนักกับแรงดันไฟฟ้าโดยอาศัยหลักการของการเหนี่ยวนำร่วมเพื่อศึกษาการ
 ออสซิลเลตแบบแอมป์ แสดงดังรูปที่ 12.6.4



รูปที่ 12.6.4 ภาพบนจอคอมพิวเตอร์ขณะใช้งานโดยใช้โปรแกรมที่ชื่อ Voltage vs Time Graph

วิเคราะห์ผลการทดลอง

เมื่อตั้งก้อนน้ำหนักแล้วปล่อย ค่าความเหนี่ยวนำตัวเอง (L) ของขดลวดจะเปลี่ยน ค่าความต้านทานเหนี่ยวนำ (X_L) จะเปลี่ยนตามสมการ $X_L = \omega L = 2\pi fL$ เมื่อ f เป็นความถี่ของแรงดันไฟฟ้าที่ตกคร่อมขดลวด ($V_L = V$) $V = V_L = IX_L = I\omega L = I2\pi fL$ ก็จะเปลี่ยนด้วย นำแรงดัน V เข้า I_0 (ขา 26) ของ ADC0809 เพื่อแปลงแรงดันอนาล็อกเป็นแรงดันดิจิทัล ส่งผ่านบัฟเฟอร์ 74LS244 ส่งผ่าน ET-PC8255 Card แล้วเข้าคอมพิวเตอร์ สั่ง RUN ให้คอมพิวเตอร์แสดงแรงดันไฟฟ้าตกคร่อมขดลวดที่ขึ้นกับเวลา (V vs t) ดังผลการทดลอง(รูปที่ 68.4) จะเห็นว่าแรงดันตกคร่อมขดลวดจะค่อยๆ ลดลงแบบออสซิลเลตแบบแดมป์ตามเวลา

สรุปผลการทดลอง

แผงวงจรเชื่อมต่อกับคอมพิวเตอร์ที่ได้จัดเตรียมและโปรแกรมที่เขียนขึ้น สามารถวัดปริมาณทางฟิสิกส์ได้หลายอย่าง เช่น แรงดันไฟฟ้า กระแสไฟฟ้า และความต้านทานไฟฟ้า นอกจากนี้ก็ยังสามารถใช้ในการทดสอบสมบัติเชิงฟิสิกส์ได้อีกด้วย ได้แก่ การวัดความสัมพันธ์ระหว่างน้ำหนักกับแรงดันไฟฟ้าโดยอาศัยหลักการของการเหนี่ยวนำร่วมเพื่อศึกษาการออสซิลเลตแบบแดมป์

เอกสารอ้างอิง

ธงชัย พันธุ์เมธาฤทธิ์ ฟิสิกส์วัสดุอิเล็กทรอนิกส์ ภาควิชาฟิสิกส์ คณะวิทยาศาสตร์
มหาวิทยาลัยสงขลานครินทร์ 2548

Duga, J. J., 1962, Automatic data recording system for semiconductor research,

The review of scientific instruments, 45(3) : 371-377.

บทความ การแสดงออสซิลเลตแบบหน่วงด้วยโปรแกรมแลบวิว

ธงชัย พันธุ์เมธาฤทธิ์

Thongchai Panmatarith

M.Sc. (Solid State Physics), Assoc. Prof., Materials Physics Laboratory,

Department of Physics, Faculty of Science, Prince of Songkla University, Hat Yai, 90112 Thailand.

Corresponding e-mail : tongchai.p@psu.ac.th

บทคัดย่อ

ได้แสดงออสซิลเลตแบบหน่วงด้วยโปรแกรมแลบวิว

Abstract

Damped oscillation was displayed with LabVIEW Program

Key words : ferrimagnetic material

คำนำ

ในปี 1948 นีล (Neel) ได้พัฒนาแบบจำลองซึ่งเป็นรากฐานสำหรับความเข้าใจเกี่ยวกับสมบัติเชิงแม่เหล็กในเฟอร์ไรต์ อัจฉริยะแม่เหล็กในสารแม่เหล็กเฟอร์ริเกี่ยวข้องกับอิเล็กตรอนที่โคจรรอบนิวเคลียสและอิเล็กตรอนที่หมุนรอบตัวเอง ในลักษณะเดียวกันกับสารแม่เหล็กเฟอร์โร อัจฉริยะแม่เหล็กเกี่ยวข้องกับอิเล็กตรอนในชั้น f ที่ไม่เต็ม (Moulson และ

Herbert, 1990) สมการสำคัญ คือ $B = \mu H = \mu_0 \mu_r H = \mu_0 (H+M)$, $M = \chi_m H$ และ $H = ni$ อำนวยแม่เหล็กเฟอร์ริ (ferrimagnetism) เกิดจากการเรียงตัวแบบขนานตรงข้ามกัน (antiparallel alignment) ของโมเมนต์แม่เหล็กของไอออนบนโครงผลึกย่อย (sublattice) ที่ต่างกันในผลึก โมเมนต์แม่เหล็กขนานไม่เท่ากัน ขนานกันและทิศทางตรงข้ามนี้ทำให้โมเมนต์แม่เหล็กรวมหรือแมกนีโตเซชันไม่เป็นศูนย์ พฤติกรรมการคู่ควบ (coupling behavior) เหล่านี้ มีความเกี่ยวข้องกับ การทำอันตรกิริยาของอิเล็กตรอนวงนอก (outer electron interaction) ของไอออนข้างเคียง (neighbouring ion) พันธะที่เกิดขึ้นในเซรามิกส์แม่เหล็กเป็นแบบไอออนิกและแบบโคเวเลนต์ การเกิดพันธะทำให้เกิดการแลกเปลี่ยนยิ่งยวด (superexchange interaction) หรือเกิดการจัดเรียงตัวของสปิน (spin alignment) ระหว่างอิเล็กตรอนวงนอกซึ่งสามารถตอบสนองต่อการคู่ควบ วงการล้าแม่เหล็กเฟอร์ริมีลักษณะคล้ายกับของแม่เหล็กเฟอร์โรโดยมีขนาดเล็กกว่า

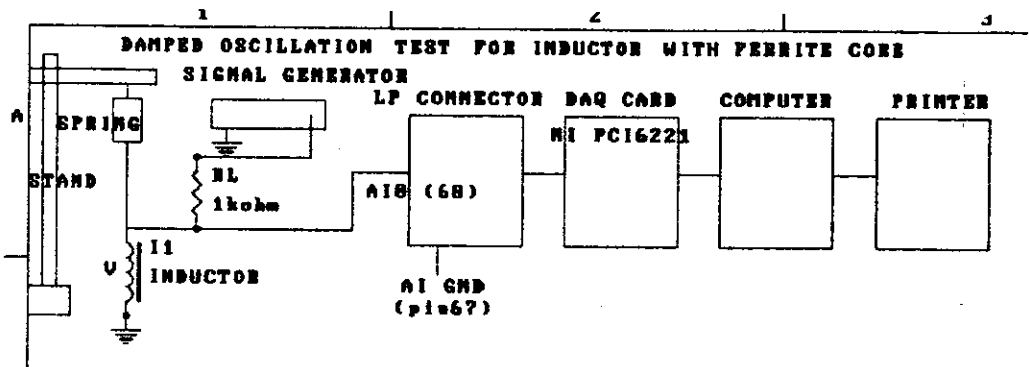
ตัวอย่างสารเฟอร์ไรต์อ่อน ได้แก่ $NiFe_2O_4$, $Ni_{0.5}Zn_{0.5}Fe_2O_4$, $MnFe_2O_4$, $Mn_{0.5}Zn_{0.5}Fe_2O_4$, $MgFe_2O_4$, $Y_3Fe_5O_{12}$ และ $CuFe_2O_4$ สารเหล่านี้เตรียมได้โดยวิธีเทคนิคปฏิกิริยาสถานะของแข็งหรือวิธีอื่นๆ สารเฟอร์ไรต์อ่อนแสดงอำนาจแม่เหล็กเฟอร์ริ (ferrimagnetism) และแสดงปรากฏการณ์การล้า (hysteresis effect) มีผู้ทดลองโดยนำสารเฟอร์ไรต์อ่อนทำเป็นตัวตรวจวัดสนามแม่เหล็ก (magnetic field detector) (Buchanan, 1991) สารเฟอร์ไรต์อ่อนเหล่านี้มีโครงสร้างผลึกเป็นแบบสปิเนล

วัสดุแม่เหล็กเฟอร์ริจัดอยู่ในกลุ่มเฟอร์ไรต์อ่อน เฟอร์ไรต์อ่อนแสดงสมบัติที่เปลี่ยนแปลงไปตามความถี่ของสนามแม่เหล็ก (magnetic field) จึงนำไปประยุกต์เป็นแกนของขดลวด (inductor core) แกนของหม้อแปลงไฟฟ้า (transformer core) สแกนนิ่งโยค (scanning yokes) สายอากาศ (antenna) อุปกรณ์เลื่อนเฟส (phase shifter) และอุปกรณ์ไมโครเวฟ (microwave device)

วิธีการทดลอง

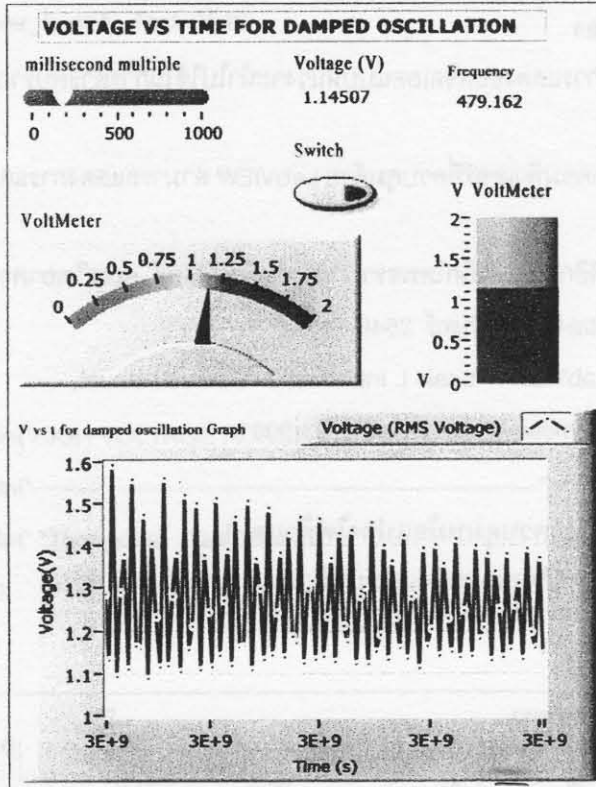
จัดวงจรดังรูปที่ 12.6.5 เครื่องกำเนิดสัญญาณไฟฟ้าจ่ายกระแสไฟฟ้าไหลผ่านตัวต้านทาน $1\text{ k}\Omega$ และขดลวดเหนี่ยวนำที่มีแกนเป็นเฟอร์ไรต์ ทำให้มีแรงดันไฟฟ้าตกคร่อมขดลวดเท่ากับ V ให้แรงดันไฟฟ้าตกคร่อม V เข้า A10 ของ LP connector ผ่าน DAQ Card (PCI 6221) เข้าไปในคอมพิวเตอร์

Front Panel และ Block Diagram แสดงดังรูปที่ 12.6.6 DAQ Assistant ทำหน้าที่อ่านแรงดันไฟฟ้า V Amplitude and Level Measurements ทำหน้าที่จัดปริมาณการวัดเป็นแบบ Mean (DC) แสดงแรงดันไฟฟ้าด้วย Numeric Indicator และแสดงกราฟ V vs t บนจอ ด้วย Waveform Graph Indicator ส่วน Tone Measurements ทำหน้าที่วัดความถี่แสดงผลด้วย Numeric Indicator Millisecond Multiple เป็นเวลาหน่วง Switch Button เป็น numeric control ทำหน้าที่เปิดปิดสวิตช์ While Loop ทำหน้าที่ควบคุมการทำงานที่ซ้ำๆกัน สั่ง RUN เพื่อแสดงผลทั้งหมด สั่งพิมพ์ Front Panel และ Block Diagram ออกทาง Printer

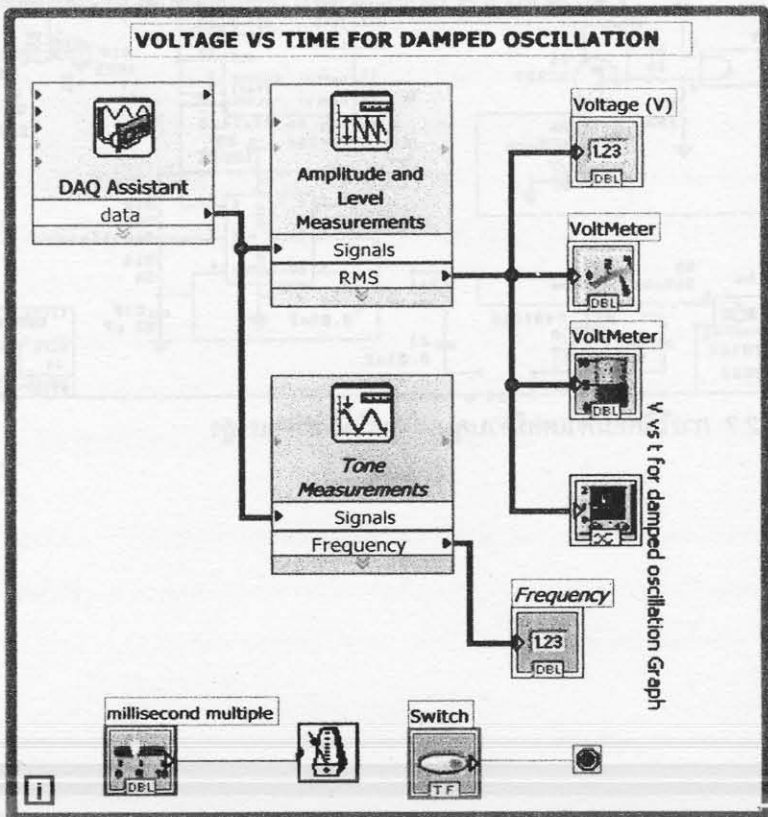


รูปที่ 12.6.5 การจัตุศการทดลองสำหรับการแสดงออสซิลเลตแบบหน่วง

Th-V vs t-Damp.vi
 D:\0-0a LV \ííáóóáÁĐÇÑ' ¢ð´·Öè 2 #\Th-V vs t-Damp.vi
 Last modified on 12/9/2006 at 8:03 AM
 Printed on 12/9/2006 at 8:03 AM



Th-V vs t-Damp.vi
 D:\0-0a LV \ííáóóáÁĐÇÑ' ¢ð´·Öè 2 #\Th-V vs t-Damp.vi
 Last modified on 12/9/2006 at 8:03 AM
 Printed on 12/9/2006 at 8:03 AM



รูปที่ 12.6.6 Front Panel สำหรับการแสดงออสซิลเลตแบบหน่วง

โปรแกรม การให้คอมพิวเตอร์ควบคุมหม้อแปลงไฟฟ้าแรงสูง

โปรแกรม การทดสอบแหล่งจ่ายไฟฟ้าแรงดันสูง

Program High_Voltage_Power_Supply_Test_2549;

Uses crt;

Var

i : integer;

Const PB = \$0305;

Pcontrol = \$0307;

Begin

Clrscr;

Gotoxy(25,2); writeln('HIGH VOLTAGE POWER SUPPLY TEST 2549');

Gotoxy(25,3); writeln('-----');

Gotoxy(28,6); writeln('Thongchai Panmatarith');

Port[Pcontrol]:= \$90;

For i:=1 to 2550 do

Begin

Port[PB]:=0;

Gotoxy(30,15); writeln('Send 0 V → LOW VOLTAGE');

Delay(500);

Gotoxy(30,20); writeln('Send 5 V → HIGH VOLTAGE');

Delay(500);

End;

End.

12.8 การวัดสนามแม่เหล็กความแรงสูง บทความ การวัดสนามแม่เหล็กความแรงสูง

ธงชัย พันธเมธาฤทธิ์

Thongchai Panmatarith

M.Sc. (Solid State Physics), Assoc. Prof., Materials Physics Laboratory,

Department of Physics, Faculty of Science, Prince of Songkla University, Hat Yai, 90112 Thailand.

Corresponding e-mail : tongchai.p@psu.ac.th

บทคัดย่อ

ได้ศึกษาการวัดสนามแม่เหล็กความแรงสูง

Abstract

High magnetic field measurement was studied.

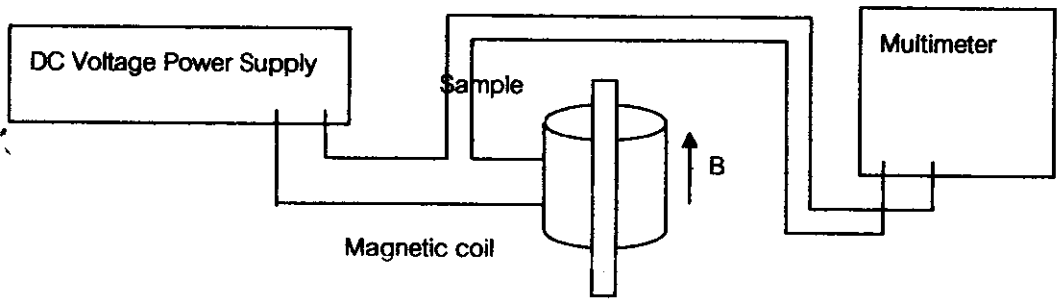
Key words : ferrimagnetic material

คำนำ

แม่เหล็กเซรามิกส์ใช้ทำเป็นวัสดุไฟฟ้าและอิเล็กทรอนิกส์ แม่เหล็กเซรามิกส์มี 2 ประเภท คือ เฟอร์ไรต์แข็งกับเฟอร์ไรต์อ่อน $MgFe_2O_4$ จัดอยู่ในกลุ่มเฟอร์ไรต์อ่อน เฟอร์ไรต์อ่อนแสดงสมบัติที่เปลี่ยนแปลงไปตามความถี่ของสนามแม่เหล็ก จึงนำไปประยุกต์เป็นแกนของขดลวด แกนของหม้อแปลงไฟฟ้า สแกนนิ่งโยค(scanning yokes) สายอากาศ (antenna) อุปกรณ์เลื่อนเฟส (phase shifter) และอุปกรณ์ไมโครเวฟ (microwave device) ในปี 1948 Neel ได้พัฒนาแบบจำลองซึ่งเป็นรากฐานสำหรับความเข้าใจเกี่ยวกับสมบัติเชิงแม่เหล็กในเฟอร์ไรต์ จำนวนแม่เหล็กในสารเกี่ยวข้องกับอิเล็กตรอนที่โคจรรอบนิวเคลียสและอิเล็กตรอนที่หมุนรอบตัวเอง จำนวนแม่เหล็กเกี่ยวข้องกับอิเล็กตรอนในชั้น f ที่ไม่เต็ม ตัวอย่างสารเฟอร์ไรต์อ่อน ได้แก่ $NiFe_2O_4$, $Ni_{0.5}Zn_{0.5}Fe_2O_4$, $MnFe_2O_4$, $Mn_{0.5}Zn_{0.5}Fe_2O_4$, $MgFe_2O_4$, $Y_3Fe_5O_{12}$ และ $CuFe_2O_4$ สารเหล่านี้เตรียมได้โดยวิธีเทคนิคปฏิกิริยาสถานะของแข็ง (solid-state reaction technique) และวิธีอื่นๆ สารเฟอร์ไรต์อ่อนแสดงอำนาจแม่เหล็กเฟอร์ริ (ferrimagnetism) และแสดงปรากฏการณ์การล้า (hysteresis effect) มีผู้ทดลองโดยนำสารเฟอร์ไรต์อ่อนทำเป็นตัวตรวจวัดสนามแม่เหล็ก (magnetic field detector) ตัวเหนี่ยวนำ (inductor) ที่ประกอบด้วยขดลวดเหนี่ยวนำ (induction coil) กับแกนเฟอร์ไรต์ (ferrite core) แสดงความเหนี่ยวนำตัวเอง (self induction) ตัวอย่างสารเฟอร์ไรต์อ่อนที่เป็นโลหะจะเป็นโลหะหรือโลหะผสม

วิธีการทดลอง

การจัดชุดทดลองเพื่อวัดสนามแม่เหล็กความแรงสูงแสดงดังรูปที่ 12.8.1 สร้างเครื่องกำเนิดสนามแม่เหล็กความแรงสูง ป้อนสนามแม่เหล็กจากเครื่องกำเนิดสนามแม่เหล็กความแรงสูงไปยังสาร ใช้มัลติมิเตอร์วัดความต่างศักย์ไฟฟ้าระหว่างผิวหน้าทั้งสองในขณะที่ได้รับสนามแม่เหล็ก สารที่ใช้ทดลอง คือ $Bi_2O_3+Fe_2O_3$ และ $0.5Bi_2O_3+MnO_2$



รูปที่ 12.8.1 การจัดชุดการทดลองสำหรับการวัดสนามแม่เหล็กความแรงสูง

$$B = \mu NI / L = \mu_0 \mu_r NI / L \quad (1)$$

$$N = L' / L \cdot 1 \text{turn} = L' / 2\pi r \quad (2)$$

$$r = 25.043 \text{ mm}$$

$$L \cdot 1 \text{turn} = 2(3.4)(0.025 \text{ m}) = 0.157 \text{ m} \quad (3)$$

$$R = \rho L' / A; L' = RA / \rho = RA \sigma; A = \pi d^2 / 4 \quad (4)$$

$$\rho_{\text{Cu}} = 1.7 \times 10^{-8} \Omega \text{m}$$

$$R_{\text{Cu}} = 12.9 \Omega$$

$$d = 0.91 \text{ mm}$$

$$A = (3.14)(0.00091 \text{ m})^2 / 4 = 6.5 \times 10^{-7} \text{ m}^2$$

$$L' = (12.9 \Omega)(6.5 \times 10^{-7} \text{ m}^2) / (1.7 \times 10^{-8} \Omega \text{m}) = 493.24 \text{ m} \quad (5)$$

$$N = (493.24 \text{ m}) / (0.157 \text{ m}) = 3141.63 \text{ turns} \quad (6)$$

$$\mu_0 \mu_r = (4\pi \times 10^{-7} \text{ Wb/Am})(5000) = 0.00628 \quad (7)$$

$$L = 5 \text{ cm} = 0.05 \text{ m} \quad (8)$$

$$I = 4 \text{ A} \quad (9)$$

$$B = 12564000 \text{ Wb/m}^2 = 12.564 \text{ MWb/m}^2$$

ผลการทดลอง

สนามแม่เหล็กความแรงสูงที่วัดได้ คือ $B = 12564000 \text{ Wb/m}^2 = 12.564 \text{ MWb/m}^2$

วิเคราะห์ผลการทดลอง

สนามแม่เหล็กความแรงสูงจะเป็นข้อมูลที่ใช้กับการทดลองเรื่องอื่นๆ

สรุปผลการทดลอง

ระบบการวัดสามารถวัดสนามแม่เหล็กความแรงสูงได้

เอกสารอ้างอิง

ปิ่น ภู่วรรณ, 2534, อิเลคทรอนิกส์อุตสาหกรรม บริษัทฮีตยูเคชั่น จำกัด

12.9 การวัดสนามแม่เหล็กที่ขึ้นกับเวลา

บทความ การวัดสนามแม่เหล็กที่ขึ้นกับเวลาด้วยโปรแกรมเทอร์โบปาสคาล

ธงชัย พันธุ์เมธาฤทธิ์

Thongchai Panmatarith

M.Sc. (Solid State Physics), Assoc. Prof., Materials Physics Laboratory,

Department of Physics, Faculty of Science, Prince of Songkla University, Hat Yai, 90112 Thailand.

Corresponding e-mail : tongchai.p@psu.ac.th

บทคัดย่อ

ได้วัดสนามแม่เหล็กที่ขึ้นกับเวลาด้วยโปรแกรมเทอร์โบปาสคาล

Abstract

The time dependent magnetic field was measured with Turbo Pascal Program.

Key words : ferrimagnetic material, magnetic field

คำนำ

เครื่องวัดสนามแม่เหล็กที่สั่งซื้อจากต่างประเทศราคาแพงมากตั้งแต่ 8 หมื่นบาท จนถึง 2 แสนกว่าบาท ซึ่งยากที่จะซื้อมาใช้ จึงได้คิดหาวิธีการวัดสนามแม่เหล็กโดยอาศัยกฎของฟาราเดย์ที่แสดงผลด้วยคอมพิวเตอร์สำหรับใช้ในห้องปฏิบัติการ การทำให้เกิดสนามแม่เหล็กสลับสามารถทำได้โดยจ่ายกระแสไฟฟ้าให้ไหลผ่านขดลวดโซลินอยด์ การวัดสนามแม่เหล็กมีหลายวิธี เช่น วิธีที่ใช้หลักการของปรากฏการณ์ฟาราเดย์ (Faraday effect) วิธีที่ใช้หลักการของปรากฏการณ์ฮอลล์ (Hall effect) และวิธีที่ใช้หลักการของปรากฏการณ์แมกนีโตรซิสแตนซ์ (magnetoresistance effect) เป็นต้น

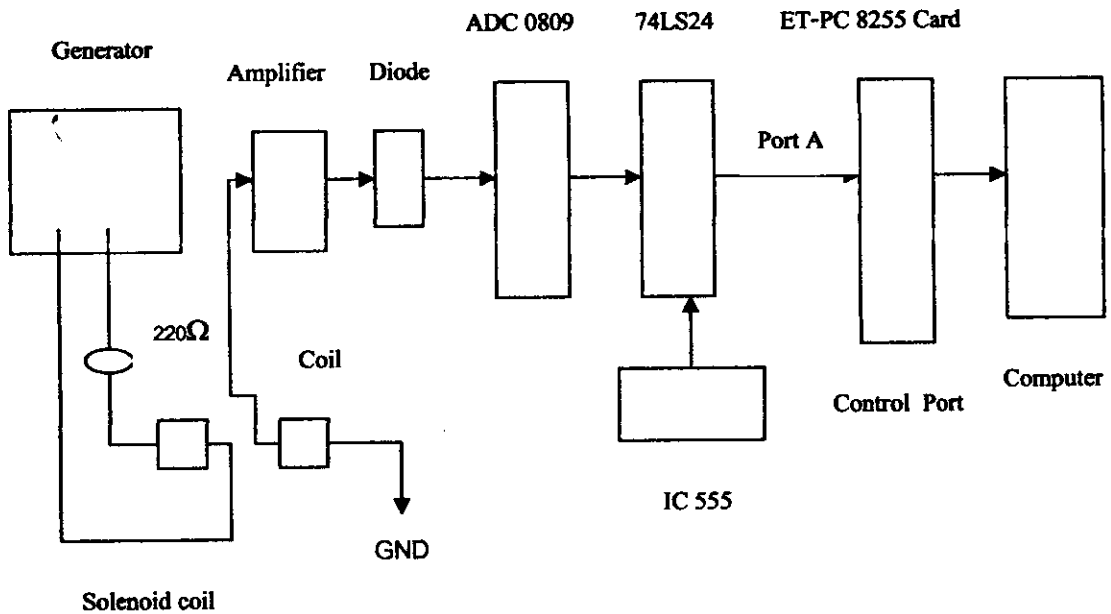
กฎของฟาราเดย์ (Faraday law) ที่เกี่ยวกับการเหนี่ยวนำแม่เหล็กไฟฟ้าที่มีใจความว่า "ถ้านำขดลวดตัวนำไฟฟ้ามาวางในบริเวณที่มีสนามแม่เหล็กที่เปลี่ยนแปลงตามเวลา จะพบว่า เกิดแรงเคลื่อนไฟฟ้าเหนี่ยวนำขึ้นในเส้นลวด" ซึ่งเขียนได้ดังสมการ

$$V_E = - \frac{d\Phi_B}{dt}$$

เมื่อ V_E เป็นแรงเคลื่อนไฟฟ้าเหนี่ยวนำ และ $d\Phi_B / dt$ เป็นฟลักซ์แม่เหล็กที่เปลี่ยนแปลงตามเวลา

วิธีการทดลอง

1. การประกอบวงจรเชื่อมต่อกับคอมพิวเตอร์สำหรับวัดสนามแม่เหล็ก ทำการออกแบบระบบดังแสดงในรูปที่ 12.9.1 แล้วประกอบวงจรนี้ลงบนโฟโตบอร์ด แล้วทดสอบจนใช้งานได้



รูปที่ 12.9.1 โครงสร้างของเครื่องวัดสนามแม่เหล็กที่ได้ออกแบบขึ้น

2. การเขียนโฟลว์ชาร์ท การเขียนโปรแกรม และใส่สูตรต่าง ๆ ลงในโปรแกรมเพื่อให้คอมพิวเตอร์ทำหน้าที่วัดสนามแม่เหล็กจากแท่งแม่เหล็ก

1) เขียนโฟลว์ชาร์ท (flow chart) ที่แสดงหลักการทำงานของเครื่องวัดสนามแม่เหล็ก ดังแสดง

ในรูปที่ 71.2

2) เปิดเครื่องคอมพิวเตอร์ เข้าโปรแกรมเทอร์โบปาสคาล เขียนโปรแกรมควบคุมด้วยภาษาเทอร์โบปาสคาลให้ทำงานในรูปแบบต่าง ๆ ดังแสดงในโปรแกรมที่ 1

3) เปิดเครื่องกำเนิดไฟฟ้า ปรับแรงดันไฟฟ้าที่ค่าหนึ่ง ตั้งความถี่ 50 Hz กระแสไฟฟ้าไหลผ่านขดลวดโซลินอยด์ที่มีจำนวน 500 รอบ แกนของขดลวดยาว 0.035 m สนามแม่เหล็กที่เกิดขึ้นมีค่า B เมื่อ $B = \Phi_0 NI/L$ คำนวณ B

4) นำขดลวดรีเลย์ (หัววัด B) ไปวัดสนามแม่เหล็ก B จากขดลวดโซลินอยด์ มีแรงเคลื่อนไฟฟ้าเหนี่ยวนำเกิดขึ้น (VE) ซึ่งเป็นไปตามกฎของฟาราเดย์ วัด VE

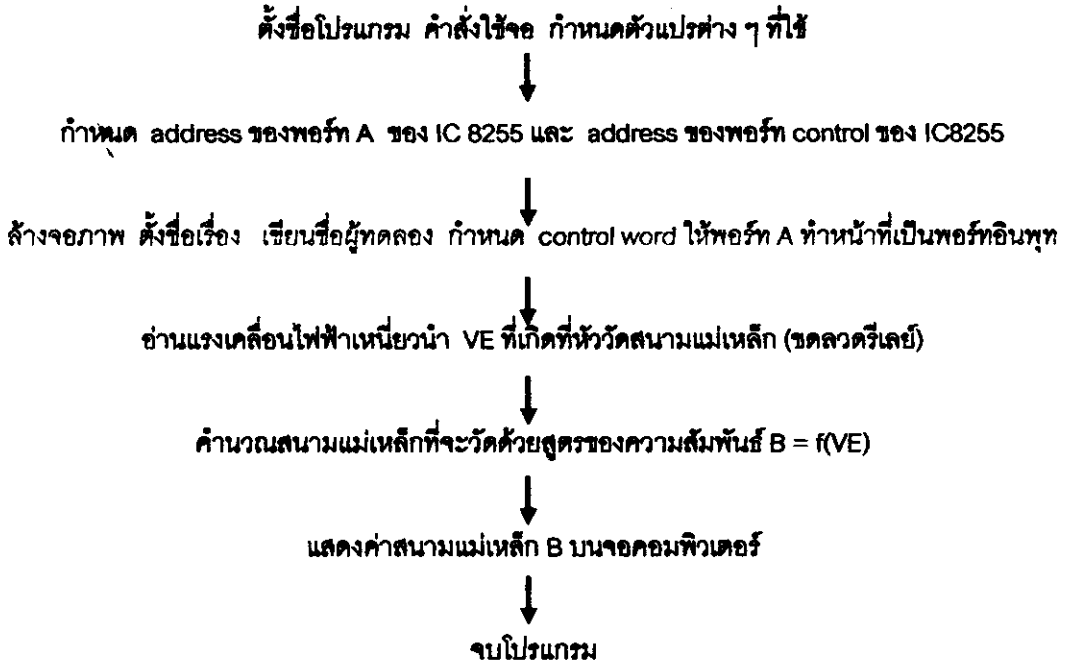
5) เพิ่มแรงดันไฟฟ้าของเครื่องกำเนิดสัญญาณ ทดลองเหมือนข้อ 4 และ 5 บันทึกลง B และ VE

6) เขียนกราฟและแสดงสมการของความสัมพันธ์ระหว่าง B กับ VE ด้วย EXCEL หาสมการ $B = f(V_E)$ พิมพ์สมการนี้ลงในโปรแกรม

7) เมื่อสั่ง RUN แรงเคลื่อนไฟฟ้าเหนี่ยวนำ VE จะถูกขยายด้วยวงจรรขยาย (Op Amp) ให้

ไดโอดแปลงแรงดันไฟฟ้ากระแสสลับให้เป็นแรงดันไฟฟ้ากระแสตรง (แรงดันอนาล็อก) ADC0809 จะแปลงแรงดันอนาล็อก (AV) ให้เป็นแรงดันดิจิทัล (DV) ส่งผ่านบัฟเฟอร์ (74LS244) ผ่าน ET-PC8255 Card เข้าไปในคอมพิวเตอร์

คอมพิวเตอร์จะคำนวณสนามแม่เหล็กโดยอาศัยความสัมพันธ์ $B = f(V_E)$ ของข้อ 6



รูปที่ 12.9.2 โฟลว์ชาร์ทที่แสดงการวัดสนามแม่เหล็กที่แสดงผลด้วยคอมพิวเตอร์

```

Program Alternating_Magnetic_Field_Measurement;
uses crt;
var i, DV,          : integer;
    AV, VE, VE1 B  : real;
const PA           = $0304;
    PB             = $0305;
    Pcontrol       = $0307;

begin
  clrscr;
  port[Pcontrol] := $90;
  gotoxy(26,2); writeln('Alternating_Magnetic_Field_Measurement ');
  gotoxy(26,3); writeln('-----');
  for j := 1 to 5500 do
  begin
    port[PB] := 0;      {Io}
    delay(15);
    DV := port[PA];
    AV := (5/255)*DV;
    VE1 :=AV; {V}
    VE:=VE1/(0.62/0.02);
  end
end

```

```
B:= (3/1000)*VE+(2/100000); {Wb/m2}
```

```
gotoxy(24,15); writeln('AC Magnetic Field = ',B*1000000:3:2); {μWb/m2}
```

```
'gotoxy(46,15); writeln('μWb/m2');
```

```
delay(1000);
```

```
end;
```

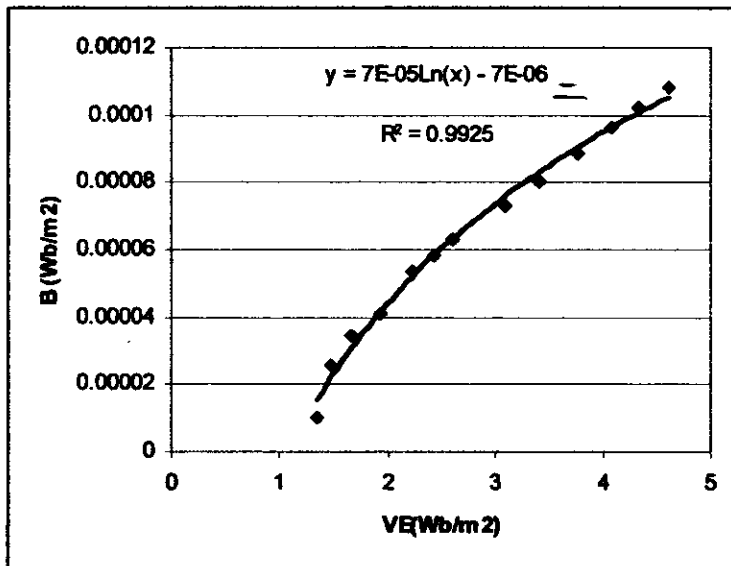
```
end.
```

ผลการทดลอง

ความยาวแกนขดลวดรีเลย์(L) = 3.5cm

จำนวนรอบของขดลวด = 500รอบ

เริ่มจากประกอบวงจร เขียนโปรแกรม หาความสัมพันธ์ระหว่างแรงดันไฟฟ้าที่ออกจากขดลวดรีเลย์ (VE) ซึ่งทำหน้าที่เป็นหัววัดสนามแม่เหล็กสำหรับวัดสนามแม่เหล็กที่เกิดจากกระแสไฟฟ้าของเครื่องกำเนิดสัญญาณไฟฟ้า คำนวณสนามแม่เหล็กจากสูตร $B = \mu NI/L$ นำค่า B กับ VE ไปเขียนกราฟ ได้ผลดังรูปที่ 12.9.3 ความสัมพันธ์ B vs VE แสดงดังสมการ $B = ? VE$ นำสมการความสัมพันธ์ B vs VE เขียนในโปรแกรม เมื่อสั่ง Run คอมพิวเตอร์จะแสดงค่าสนามแม่เหล็กที่เวลาใด (B) เราก็จะได้เครื่องวัดสนามแม่เหล็กที่แสดงผลด้วยคอมพิวเตอร์ ภาพบนจอคอมพิวเตอร์ขณะที่ทำการวัดสนามแม่เหล็ก แสดงดังรูปที่ 12.9.4



รูปที่ 12.9.3 กราฟแสดงความสัมพันธ์ระหว่าง VE กับ B

MAGNETIC FIELD MEASURE

Miss Thanomjit Phasukjai

$$B = 14.15 \text{ mWb/m}^2$$

รูปที่ 12.9.4 ภาพบนจอคอมพิวเตอร์ขณะที่ทำการวัดสนามแม่เหล็ก

วิเคราะห์การทดลอง

สนามแม่เหล็กสลับที่เกิดกระแสไฟฟ้าไหลผ่านขดลวดที่ใช้ขดลวดรีเลย์เป็นหัววัดสนามแม่เหล็กและแสดงผลด้วยคอมพิวเตอร์ มีค่า $B = 14.15 \text{ mWb/m}^2$ ค่าสนามแม่เหล็กที่วัดได้มาจากการให้คอมพิวเตอร์คำนวณด้วยสูตร ไม่มีเครื่องวัดสนามแม่เหล็กเชิงการค้ามาปรับเทียบ ดังนั้นงานที่ทำยังอยู่ในระดับห้องปฏิบัติการ ใช้สาธิตการเรียนได้

สรุปการทดลอง

การวัดสนามแม่เหล็กที่ขึ้นกับเวลาด้วยคอมพิวเตอร์

เอกสารอ้างอิง

ยีน ภูววรรณ, 2534, อิเลคทรอนิกส์อุตสาหกรรม บริษัทซีเอ็ดยูเคชั่น จำกัด

[Http://www.Ett.co.th](http://www.Ett.co.th), Manual of ET-PC8255 card, 2005-2007.

บทความ การวัดสนามแม่เหล็กที่ขึ้นกับเวลาด้วยโปรแกรมแลปวิว

ธงชัย พันธุ์เมธาฤทธิ์

Thongchai Panmatarith

M.Sc. (Solid State Physics), Assoc. Prof., Materials Physics Laboratory,

Department of Physics, Faculty of Science, Prince of Songkla University, Hat Yai, 90112 Thailand.

Corresponding e-mail : tongchai.p@psu.ac.th

บทคัดย่อ

ได้วัดสนามแม่เหล็กที่ขึ้นกับเวลาด้วยโปรแกรมแลปวิว

Abstract

The time dependent magnetic field was measured with LabVIEW Program.

Key words : ferrimagnetic material, magnetic field

คำนำ

เครื่องวัดสนามแม่เหล็กที่สั่งซื้อจากต่างประเทศราคาแพงมากตั้งแต่ 8 หมื่นบาท จนถึง 2 แสนกว่าบาท ซึ่งยากที่จะซื้อมาใช้ จึงได้คิดหาวิธีการวัดสนามแม่เหล็กโดยอาศัยกฎของฟาราเดย์ที่แสดงผลด้วยคอมพิวเตอร์สำหรับใช้ในห้องปฏิบัติการ การทำให้เกิดสนามแม่เหล็กสลับสามารถทำได้โดยจ่ายกระแสไฟฟ้าให้ไหลผ่านขดลวดโซลินอยด์ การวัดสนามแม่เหล็กมีหลายวิธี เช่น วิธีที่ใช้หลักการของปรากฏการณ์ฟาราเดย์ (Faraday effect) วิธีที่ใช้หลักการของปรากฏการณ์ฮอลล์ (Hall effect) และวิธีที่ใช้หลักการของปรากฏการณ์แมกนีโตรริซิสแตนซ์ (magnetoresistance effect) เป็นต้น

กฎของฟาราเดย์ (Faraday law) ที่เกี่ยวกับการเหนี่ยวนำแม่เหล็กไฟฟ้าที่ มีความว่า "ถ้านำขดลวดตัวนำไฟฟ้ามาวางในบริเวณที่มีสนามแม่เหล็กที่เปลี่ยนแปลงตามเวลา จะพบว่า เกิดแรงเคลื่อนไฟฟ้าเหนี่ยวนำขึ้นในเส้นลวด" ซึ่งเขียนได้ดังสมการ

$$V_E = - \frac{d\Phi_B}{dt}$$

เมื่อ V_E เป็นแรงเคลื่อนไฟฟ้าเหนี่ยวนำ และ $d\Phi/dt$ เป็นฟลักซ์แม่เหล็กที่เปลี่ยนแปลงตามเวลา

วิธีการทดลอง

จัดชุดทดลองดังรูปที่ 12.9.5 เครื่องกำเนิดสัญญาณไฟฟ้าจ่ายกระแสไฟฟ้าไหลผ่านแอมมิเตอร์เพื่อวัด

กระแสไฟฟ้า I และไหลผ่านขดลวดมีสนามแม่เหล็ก B เกิดขึ้น $B = \mu NI / 2\pi r$; $N = 500$ turns;

$\mu = \mu_0 \mu_r = (4\pi \times 10^{-7} \text{ Wb/m}^2)(5000) = 0.00628 \text{ Wb/Am}$; $r = 0.17 \text{ m}$; $2\pi r = 1.0676 \text{ m}$; $B = 2.94I$; $B = 0.9479V_E + 1.1849$

ส่งแรงดันไฟฟ้า V_E มาเข้า AI0 ของ LP connector ผ่าน DAQ Card เข้าคอมพิวเตอร์ แสดงสนามแม่เหล็ก B บนจอ

Front Panel และ Block Diagram แสดงดังรูปที่ 12.9.6 และ 12.9.7 DAQ Assistant ทำหน้าที่อ่าน

แรงดันไฟฟ้า V_E Amplitude and Level Measurements ทำหน้าที่จัดปริมาณการวัดเป็นแบบ Mean (DC) แสดง

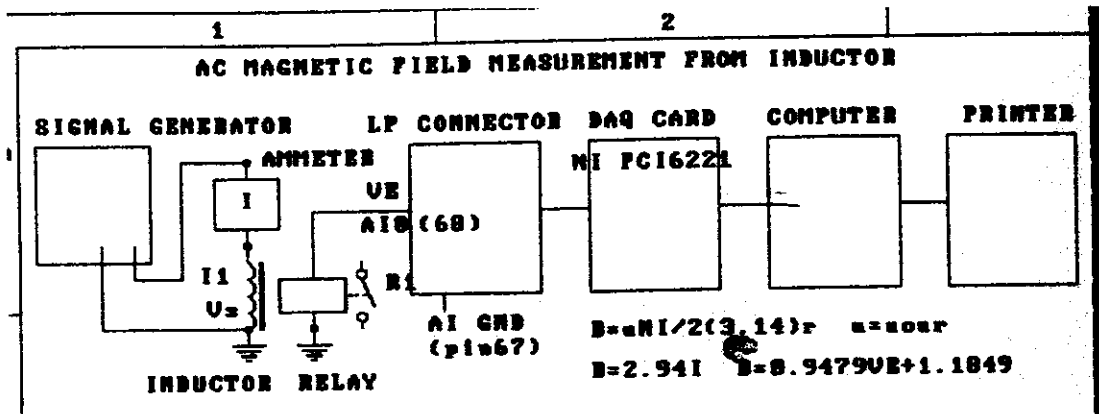
แรงดันไฟฟ้าในหน่วย mV Tone Measurements วัดความถี่ f ส่งแรงดันไฟฟ้า V_E มาเข้าที่ Formula เพื่อคำนวณค่า

สนามแม่เหล็ก (B) เมื่อ $B = 0.9479V_E + 1.1849$ แสดงค่าสนามแม่เหล็กด้วย Numeric Indicator และ Graph Indicator

ในหน่วยของ mWb/m^2 Millisecond Multiple เป็นเวลาท่วง Stop Button เป็น numeric control ทำหน้าที่เปิดปิดสวิตช์

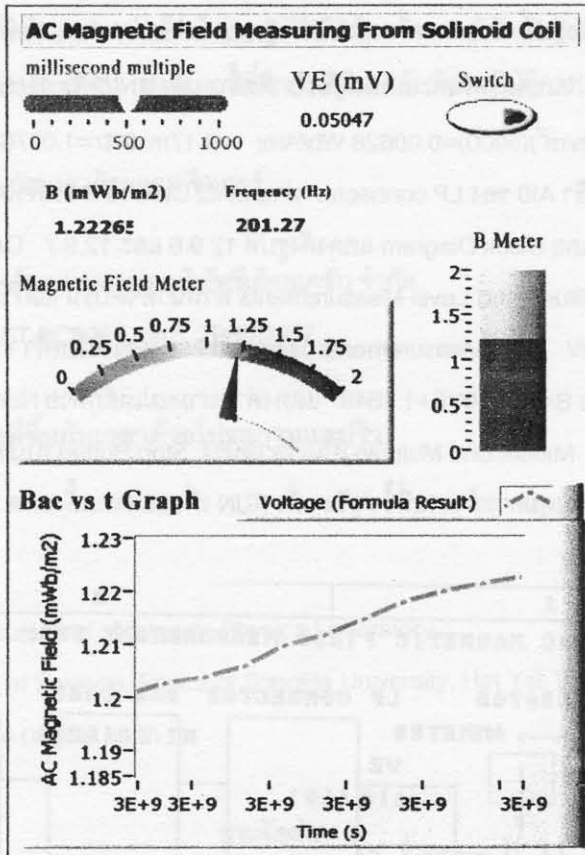
While Loop ทำหน้าที่ควบคุมการทำงานที่ซ้ำๆกัน สั่ง RUN เพื่อแสดงผลทั้งหมด สั่งพิมพ์ Front Panel และ Block

Diagram ออกทาง Printer

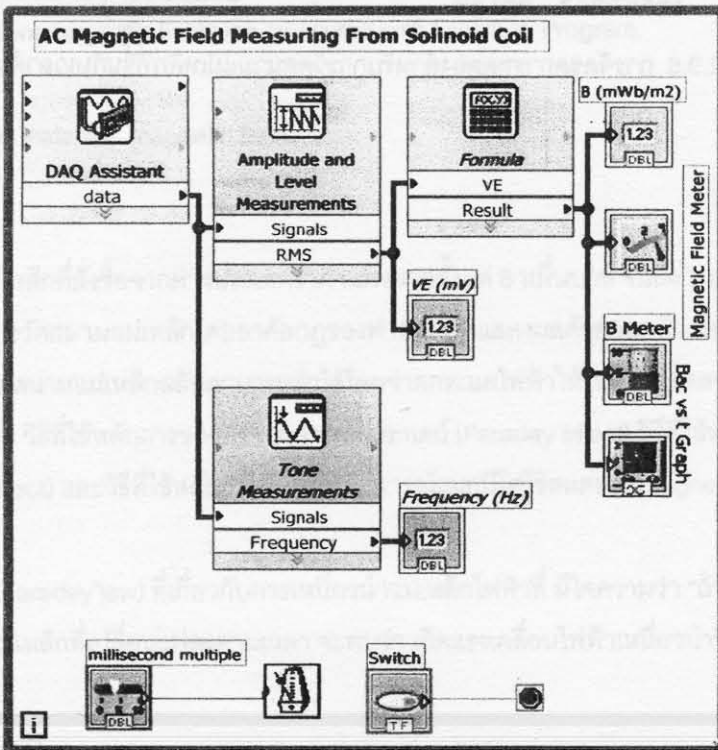


รูปที่ 12.9.5 การจัดชุดการทดลองสำหรับการวัดสนามแม่เหล็กที่ขึ้นกับเวลาด้วยคอมพิวเตอร์

Th-Bac Value.vi
 D:\0-0a LV \ííáóóáÀĐÇÑ´ ¢Ø´·Öè 2 #\Th-Bac Value.vi
 Last modified on 12/10/2006 at 5:09 PM
 Printed on 12/10/2006 at 5:10 PM



Th-Bac Value.vi
 D:\0-0a LV \ííáóóáÀĐÇÑ´ ¢Ø´·Öè 2 #\Th-Bac Value.vi
 Last modified on 12/10/2006 at 5:09 PM
 Printed on 12/10/2006 at 5:10 PM



รูปที่ 12.9.6 Front Panel และ Block Diagram สำหรับการวัดสนามแม่เหล็กที่ขึ้นกับเวลา

ผลการทดลอง

ผลการวัดสนามแม่เหล็กที่ขึ้นกับเวลาด้วยโปรแกรมแลปวิวแสดงดังรูปที่ 12.9.6

วิเคราะห์ผลการทดลอง

ผลการวัดสนามแม่เหล็กที่ขึ้นกับเวลาด้วยโปรแกรมแลปวิวจะนำไปใช้ทดลองเรื่องอื่นๆ

สรุปผลการทดลอง

ระบบเชื่อมต่อคอมพิวเตอร์ที่ควบคุมด้วย LabVIEW สามารถแสดงวัดสนามแม่เหล็กที่ขึ้นกับเวลาด้วยคอมพิวเตอร์

เอกสารอ้างอิง

ยีน ภู่วรรณ, 2534, อิเลคทรอนิกส์อุตสาหกรรม บริษัทซีเคยูเคชั่น จำกัด

[Http:// www.ni.com](http://www.ni.com), LabVIEW™ Basic I. Introduction Course Manual,

National Instruments Corporation, 1993-2001.

12.10 การวัดสนามแม่เหล็กที่ขึ้นกับความถี่**บทความ การวัดสนามแม่เหล็กที่ขึ้นกับความถี่ด้วยโปรแกรมแลปวิว****ธงชัย พันธุ์เมธาฤทธิ์**

Thongchai Panmatarith

M.Sc. (Solid State Physics), Assoc. Prof., Materials Physics Laboratory,

Department of Physics, Faculty of Science, Prince of Songkla University, Hat Yai, 90112 Thailand.

Corresponding e-mail : tongchai.p@psu.ac.th

บทคัดย่อ

ได้วัดสนามแม่เหล็กที่ขึ้นกับความถี่ด้วยโปรแกรมแลปวิว

Abstract

Magnetic field vsrsus frequency was measured with LabVIEW Program

Key words : ferrimagnetic material, magnetic field

คำนำ

เครื่องวัดสนามแม่เหล็กที่สั่งซื้อจากต่างประเทศราคาแพงมากตั้งแต่ 8 หมื่นบาท จนถึง 2 แสนกว่าบาท ซึ่งยากที่จะซื้อมาใช้ จึงได้คิดหาวิธีการวัดสนามแม่เหล็กโดยอาศัยกฎของฟาราเดย์ที่แสดงผลด้วยคอมพิวเตอร์สำหรับใช้ในห้องปฏิบัติการ การทำให้เกิดสนามแม่เหล็กสลับสามารถทำได้โดยจ่ายกระแสไฟฟ้าให้ไหลผ่านขดลวดโซลินอยด์ การวัดสนามแม่เหล็กมีหลายวิธี เช่น วิธีที่ใช้หลักการของปรากฏการณ์ฟาราเดย์ (Faraday effect) วิธีที่ใช้หลักการของปรากฏการณ์ฮอลล์ (Hall effect) และวิธีที่ใช้หลักการของปรากฏการณ์แมกนีโตเรซิสแตนซ์ (magnetoresistance effect) เป็นต้น

กฎของฟาราเดย์ (Faraday's law) ที่เกี่ยวกับการเหนี่ยวนำแม่เหล็กไฟฟ้าที่มีใจความว่า "ถ้านำขดลวดตัวนำไฟฟ้ามาวางในบริเวณที่มีสนามแม่เหล็กที่เปลี่ยนแปลงตามเวลา จะพบว่า เกิดแรงเคลื่อนไฟฟ้าเหนี่ยวนำขึ้นในเส้นลวด" ซึ่งเขียนได้ดังสมการ,

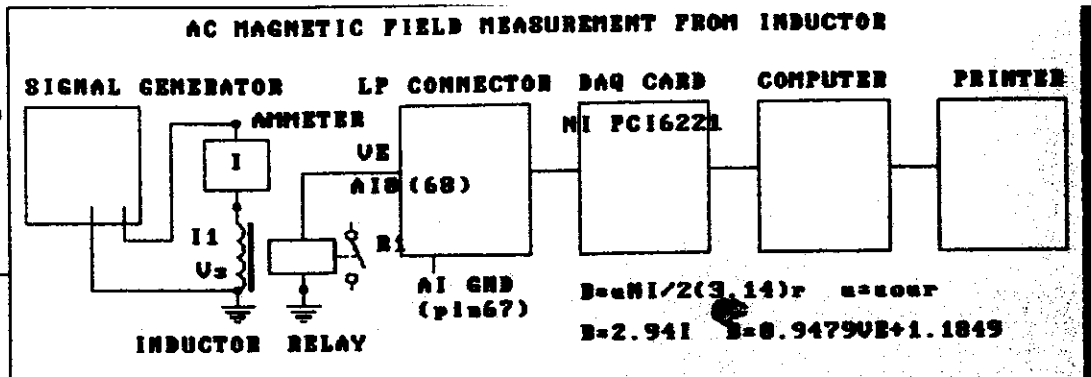
$$V_E = - \frac{d\Phi_B}{dt}$$

เมื่อ V_E เป็นแรงเคลื่อนไฟฟ้าเหนี่ยวนำ และ $d\Phi_B/dt$ เป็นฟลักซ์แม่เหล็กที่เปลี่ยนแปลงตามเวลา

วิธีการทดลอง

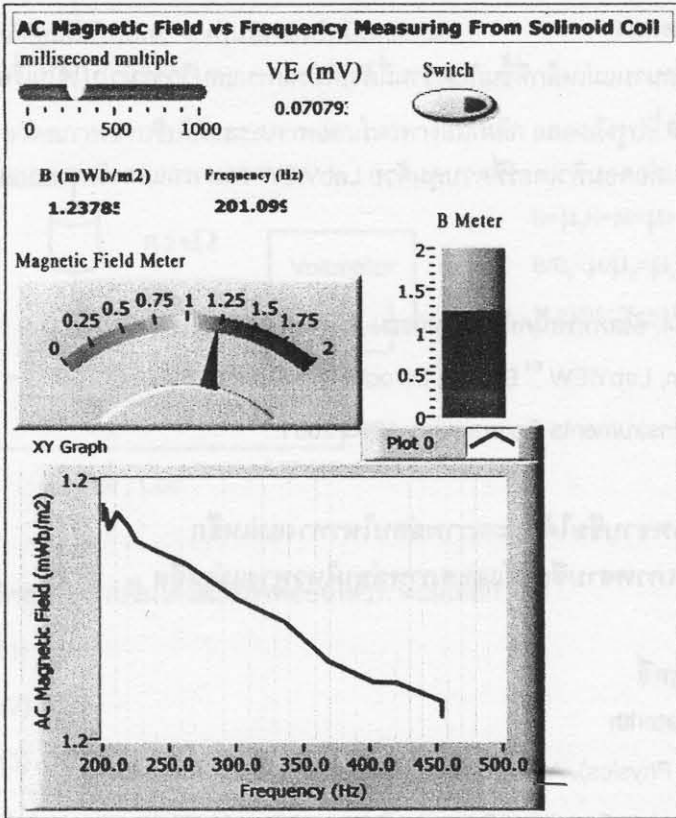
จัดชุดทดลองดังรูปที่ 12.10.1 เครื่องกำเนิดสัญญาณไฟฟ้าจ่ายกระแสไฟฟ้าไหลผ่านแอมมิเตอร์เพื่อวัดกระแสไฟฟ้า I และไหลผ่านขดลวดมีสนามแม่เหล็ก B เกิดขึ้น $B = \mu_0 NI / 2\pi r$; $N=500$ turns; $\mu = \mu_0 \mu_r = (4\pi \times 10^{-7} \text{ Wb/m}^2)(5000) = 0.00628 \text{ Wb/Am}$; $r=0.17\text{m}$; $2\pi r=1.0676 \text{ m}$; $B=2.941$; $B=0.9479V_E+1.1849$ ส่งแรงดันไฟฟ้า V_E มาเข้า AI0 ของ LP connector ผ่าน DAQ Card เข้าคอมพิวเตอร์ แสดงสนามแม่เหล็ก B บนจอ

Front Panel และ Block Diagram แสดงดังรูปที่ 12.10.2 DAQ Assistant ทำหน้าที่อ่านแรงดันไฟฟ้า V_E Amplitude and Level Measurements ทำหน้าที่จัดปริมาณการวัดเป็นแบบ Mean (DC) แสดงแรงดันไฟฟ้าในหน่วย mV Tone Measurements วัดความถี่ f ส่งแรงดันไฟฟ้า V_E มาเข้าที่ Formula เพื่อคำนวณค่าสนามแม่เหล็ก (B) เมื่อ $B=0.9479V_E+1.1849$ แสดงค่าสนามแม่เหล็กด้วย Numeric Indicator ส่งค่าสนามแม่เหล็ก B และความถี่ f ไปเข้าที่ Build XY Graph และ XY Graph Indicator ในหน่วยของ mWb/m^2 Millisecond Multiple เป็นเวลาหนึ่ง Stop Button เป็น numeric control ทำหน้าที่เปิดปิดสวิทช์ While Loop ทำหน้าที่ควบคุมการทำงานที่ซ้ำๆกัน สั่ง RUN เพื่อแสดงผลทั้งหมด สั่งพิมพ์ Front Panel และ Block Diagram ออกทาง Printer



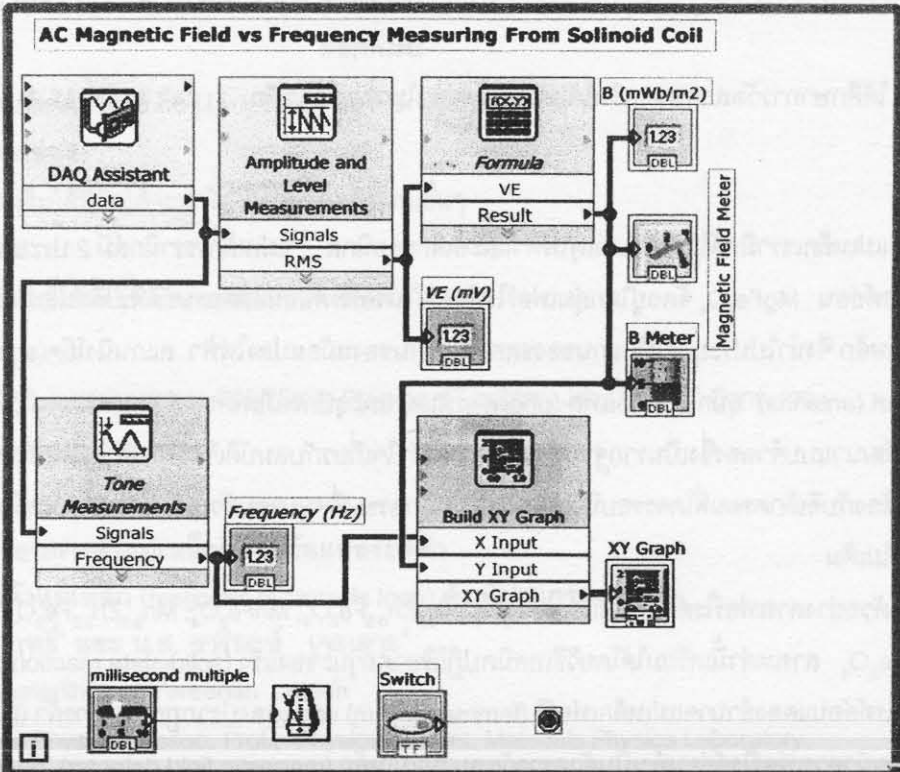
รูปที่ 12.10.1 การจัดการการทดลองสำหรับการวัดสนามแม่เหล็กที่ขึ้นกับความถี่ด้วยคอมพิวเตอร์

Th-Bac Value vs f.vi
 D:\0-0a LV III\000A\DCN' a0'·0è 2 #\Th-Bac Value vs f.vi
 Last modified on 12/10/2006 at 5:35 PM
 Printed on 12/10/2006 at 5:35 PM



Paç

Th-Bac Value vs f.vi
 D:\0-0a LV III\000A\DCN' a0'·0è 2 #\Th-Bac Value vs f.vi
 Last modified on 12/10/2006 at 5:35 PM
 Printed on 12/10/2006 at 5:35 PM



รูปที่ 12.10.2 Front Panel และ Block Diagram สำหรับการวัดสนามแม่เหล็กที่ขึ้นกับความถี่ด้วยคอมพิวเตอร์

ผลการทดลอง

ผลการวัดสนามแม่เหล็กที่ขึ้นกับความถี่ด้วยโปรแกรมแลบวิวแสดงดังรูปที่ 12.10.2

วิเคราะห์ผลการทดลอง

ผลการวัดสนามแม่เหล็กที่ขึ้นกับความถี่ด้วยโปรแกรมแลบวิวจะนำไปใช้ในเรื่องอื่นๆ

สรุปผลการทดลอง

ระบบเชื่อมต่อคอมพิวเตอร์ที่ควบคุมด้วย LabVIEW สามารถแสดงวัดสนามแม่เหล็กที่ขึ้นกับความถี่ด้วยคอมพิวเตอร์

เอกสารอ้างอิง

یین ภูววรรณ, 2534, อิเลคทรอนิกส์อุตสาหกรรม บริษัทซีเอ็ดยูเคชั่น จำกัด

[Http:// www.ni.com](http://www.ni.com), LabVIEW[™] Basic I. Introduction Course Manual,

National Instruments Corporation, 1993-2001.

12.11 การวัดสภาพซาบซิมได้และสภาพอ่อนไหวทางแม่เหล็ก บทความ การวัดสภาพซาบซิมได้และสภาพอ่อนไหวทางแม่เหล็ก

ธงชัย พันธเมธาฤทธิ์

Thongchai Panmatarith

M.Sc. (Solid State Physics), Assoc. Prof., Materials Physics Laboratory,

Department of Physics, Faculty of Science, Prince of Songkla University, Hat Yai, 90112 Thailand.

Corresponding e-mail : tongchai.p@psu.ac.th

บทคัดย่อ

ได้ศึกษาการวัดสภาพซาบซิมได้และสภาพอ่อนไหวทางแม่เหล็ก

คำนำ

แม่เหล็กเซรามิกส์ใช้ทำเป็นวัสดุไฟฟ้าและอิเล็กทรอนิกส์ แม่เหล็กเซรามิกส์มี 2 ประเภท คือ เฟอร์ไรต์แข็งกับเฟอร์ไรต์อ่อน $MgFe_2O_4$ จัดอยู่ในกลุ่มเฟอร์ไรต์อ่อน เฟอร์ไรต์อ่อนแสดงสมบัติที่เปลี่ยนแปลงไปตามความถี่ของสนามแม่เหล็ก จึงนำไปประยุกต์เป็นแกนของขดลวด แกนของหม้อแปลงไฟฟ้า สแกนนิ่งโยค(scanning yokes) สายอากาศ (antenna) อุปกรณ์เลื่อนเฟส (phase shifter) และอุปกรณ์ไมโครเวฟ (microwave device) ในปี 1948 Neel ได้พัฒนาแบบจำลองซึ่งเป็นรากฐานสำหรับความเข้าใจเกี่ยวกับสมบัติเชิงแม่เหล็กในเฟอร์ไรต์ อำนวยแม่เหล็กในสารเกี่ยวข้องกับอิเล็กตรอนที่โคจรรอบนิวเคลียสและอิเล็กตรอนที่หมุนรอบตัวเอง อำนวยแม่เหล็กเกี่ยวข้องกับอิเล็กตรอนในชั้น f ที่ไม่เต็ม

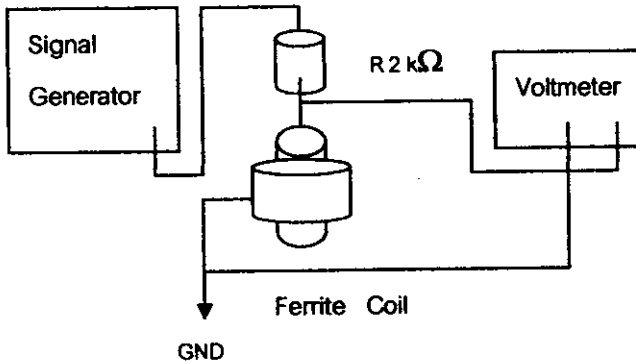
ตัวอย่างสารเฟอร์ไรต์อ่อน ได้แก่ $NiFe_2O_4$, $Ni_{0.5}Zn_{0.5}Fe_2O_4$, $MnFe_2O_4$, $Mn_{0.5}Zn_{0.5}Fe_2O_4$, $MgFe_2O_4$, $Y_3Fe_5O_{12}$ และ $CuFe_2O_4$ สารเหล่านี้เตรียมได้โดยวิธีเทคนิคปฏิกิริยาสถานะของแข็ง (solid-state reaction technique) และวิธีอื่นๆ สารเฟอร์ไรต์อ่อนแสดงอำนาจแม่เหล็กเฟอร์ริ (ferrimagnetism) และแสดงปรากฏการณ์การล่า (hysteresis effect) มีผู้ทดลองโดยนำสารเฟอร์ไรต์อ่อนทำเป็นตัวตรวจวัดสนามแม่เหล็ก (magnetic field detector) ตัวเหนี่ยวนำ (inductor) ที่

ประกอบด้วยขดลวดเหนี่ยวนำ (induction coil) กับแกนเฟอร์ไรต์ (ferrite core) แสดงความเหนี่ยวนำตัวเอง (self induction)

ตัวอย่างสารเฟอร์ไรต์อ่อนที่เป็นโลหะจะเป็นโลหะหรือโลหะผสม

วิธีการทดลอง

การจัดชุดทดลองเพื่อวัดสภาพขามซึมได้และสภาพอ่อนไหวทางแม่เหล็ก แสดงดังรูปที่ 12.11.1



$$B = \mu_0 H + M = \mu H; B_0 = B_{ext} = \mu_0 H$$

$$B/B_0 = \mu/\mu_0 = \mu_r; V \propto B; V_0 \propto B_0$$

$$\mu_r = V/V_0; \chi_m = \mu_r - 1$$

รูปที่ 12.11.1 การวัดสภาพขามซึมได้และสภาพอ่อนไหวทางแม่เหล็ก

$$B = \mu_0 H + M = \mu H \quad (1)$$

$$B_0 = B_{ext} = \mu_0 H \quad (2)$$

$$B/B_0 = \mu H / \mu_0 H = \mu_r \quad (3)$$

$$V \propto B$$

$$V_0 \propto B_0$$

$$\mu_r = V/V_0 = (3.1219 \text{ V}) / (2.727 \text{ V}) = 1.1448 \quad (\text{at } f = 5.15 \text{ kHz})$$

ผลการทดลอง

สภาพขามซึมได้ที่วัดได้ คือ $\mu_r = 1.1448$ (at $f = 5.15 \text{ kHz}$)

วิเคราะห์ผลการทดลอง

สภาพขามซึมได้ที่วัดได้จะนำไปใช้คำนวณปริมาณอื่นๆ

สรุปผลการทดลอง

ระบบการวัดที่ได้จัดขึ้นสามารถวัดค่าสภาพขามซึมได้

เอกสารอ้างอิง

Charles Kittel, 1976, Introduction to Solid State Physics, 5th edition, John Wiley & Sons, Inc., New York/Sydney/Toronto.

12.12 การวัดวงรอบการด้าแม่เหล็กของหม้อแปลงไฟฟ้า

บทความ วงการด้าแม่เหล็ก (magnetic hysteresis loop) ด้วยโปรแกรมแลปวิ

งษ์ชัย พันธุ์เมธาฤทธิ์¹ และ น.ส. ยารีนะห์ เจาะเจาะ²

Thongchai Panmatarith¹ and Yareenah Jehloh²

¹M.Sc. (Solid State Physics), Assoc. Prof., ²Physics student, Materials Physics Laboratory,

Department of Physics, Faculty of Science, Prince of Songkla University, Hat Yai, 90112 Thailand.

Corresponding e-mail : tongchai.p@psu.ac.th

บทคัดย่อ

ได้วัดวงรอบการล้าแม่เหล็กของหม้อแปลงไฟฟ้าด้วยโปรแกรมแลบวิว

Abstract

Magnetic hysteresis loop of transformer was measured with LabVIEW Program.

Key words : ferrimagnetic material, transformer

คำนำ

ในปี 1948 นีล (Neel) ได้พัฒนาแบบจำลอง (model) ซึ่งเป็นรากฐานสำหรับความเข้าใจเกี่ยวกับสมบัติเชิงแม่เหล็ก (magnetic property) ของเฟอร์ไรต์ (ferrite) อัจฉริยะแม่เหล็กเกิดจากสปินของอิเล็กตรอน (electron spin) การหมุนรอบตัวเองของอิเล็กตรอนทำให้เกิดโมเมนต์แม่เหล็ก (magnetic moment, m) มีแมกนีโตเซชัน (magnetization) เกิดขึ้น อัจฉริยะแม่เหล็กเฟอร์ไรต์ในของแข็งเกิดจากการคู่ควบทางแม่เหล็กอย่างแรง (strong magnetic coupling) หรือการดึงดูดร่วมของโมเมนต์แม่เหล็กบนอะตอมในของแข็ง การดึงดูดร่วมของโมเมนต์แม่เหล็กจะทำให้เกิดการเรียงตัวร่วมใหม่ที่ขนานกัน (parallel mutual reorientation) ของโมเมนต์แม่เหล็กไปในทิศทางหนึ่งจนกระทั่งเกิดเป็นแมกนีโตเซชันที่เกิดขึ้นเอง (spontaneous magnetization) บริเวณที่โมเมนต์แม่เหล็กเรียงตัว เรียกว่า โดเมน (domain) บริเวณรอยต่อระหว่างโดเมน เรียกว่า ผนังโดเมน (domain wall)

วัสดุแม่เหล็กแสดงปรากฏการณ์ต่างๆดังนี้

- 1) แมกนีโตเซชัน (magnetization) ในวัสดุ
- 2) ปรากฏการณ์วงการล้า (hysteresis effect)
- 3) ความสัมพันธ์ไม่เป็นเชิงเส้นระหว่างสนามแม่เหล็กในสารกับความเข้มสนามแม่เหล็ก

สมการสำคัญ คือ

$$B = \mu H = \mu_0 \mu_r H = \mu_0 (H+M) ; M = \chi_m H ; H = ni$$

$$B = \mu H = \mu_0 \mu_r H = \mu_0 (H+M) ; M = \chi_m H ; H = ni$$

เมื่อ B เป็นความหนาแน่นเส้นแรงแม่เหล็ก (magnetic flux density) H เป็นความเข้มสนามแม่เหล็ก (magnetic field intensity) μ เป็นสภาพขามซึมผ่านได้ทางแม่เหล็กของสารแม่เหล็ก (magnetic permeability of the magnetic material) μ_0 เป็นสภาพขามซึมผ่านได้ทางแม่เหล็กของสุญญากาศ (magnetic permeability of the vacuum) μ_r เป็นสภาพขามซึมผ่านได้สัมพัทธ์ (relative permeability) M เป็นแมกนีโตเซชัน χ_m เป็นสภาพอ่อนไหวทางแม่เหล็ก (magnetic susceptibility) n เป็นจำนวนรอบของขดลวดต่อหนึ่งหน่วยความยาว และ I เป็นกระแสไฟฟ้าที่ไหลผ่านขดลวด

วิธีการทดลอง

จัดชุดทดลองตามรูปที่ 12.12.1 เครื่องกำเนิดสัญญาณไฟฟ้าจะจ่ายกระแสไฟฟ้า I_1 ผ่านขด 1 แอมมิเตอร์และตัวต้านทานที่มีความต้านทาน 300Ω ของหม้อแปลงไฟฟ้า หม้อแปลงไฟฟ้าจะแปลงแรงดันไฟฟ้านี้ออกทางขด 2 เป็นปริมาณ V_2 ตามหลักการเหนี่ยวนำร่วม กระแสไฟฟ้าที่ออกทางขด 2 มีค่า I_2 ซึ่งวัดได้โดยอาศัย ความต้านทาน 300Ω แรงดันไฟฟ้า V_1 ที่ตกคร่อมความต้านทาน 300Ω ทางด้านขด 1 จะถูกป้อนเข้าทาง A10 ส่วนแรงดันไฟฟ้า V_2 ที่ออกขด 2 จะถูกป้อนเข้าทาง A11 ของ LP connector ผ่าน DAQ card เข้าคอมพิวเตอร์

$$H = n_1 I_1 = (N_1 / L_1) (V_1 / 300 \Omega)$$

$$R_1 = \rho_1 L_1 / A_1; \quad L_1 = R_1 A_1 / \rho_1 = R_1 (\pi d^2 / 4) / \rho_{\text{Cu}}$$

$$R_1 = 15.5 \, \Omega \quad d = 0.39 \times 10^{-3} \, \text{m}; \quad \rho_{\text{Cu}} = 1/5.81 \times 10^7 \, \Omega \text{m}; \quad L_1 = 106.15 \, \text{m}$$

$$N_1 = L_1 / (2\pi d/2); \quad d = 3.75 \times 10^{-2} \, \text{m}; \quad N_1 = 913.12 \, \text{turns}$$

$$n = N_1 / L_1 = 913.63 \, \text{turns} / 0.06 \, \text{m} = 15019.766 \, \text{turns/m}$$

$$B = (\mu_0 \mu_r) (N_2 / L_2') I_2 = (\mu_0 \mu_r) (N_2 / L_2') (V_2 / 300 \, \Omega)$$

$$\mu_0 = 4\pi \times 10^{-7} \, \text{Wb/Am}$$

$$\mu_r = 5000$$

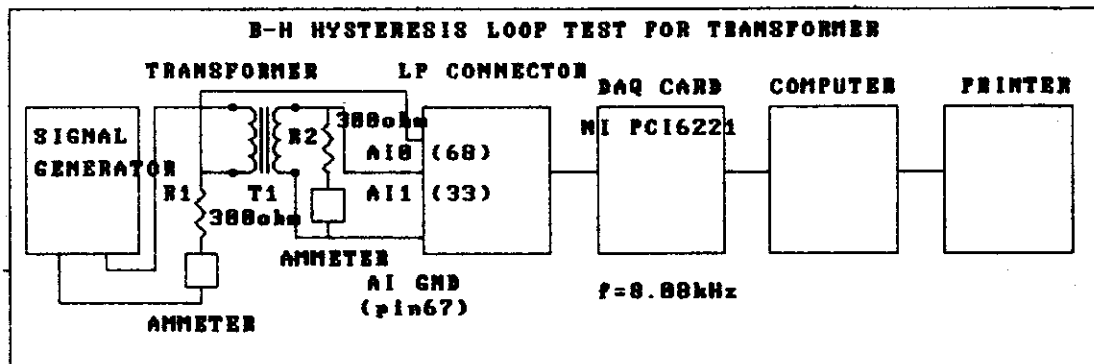
$$L_2 = R_2 A_2 / \rho_2 = R_2 (\pi d^2 / 4) / \rho_{\text{Cu}} = [(7.5 \, \Omega) (3.14 \times (0.78 \times 10^{-3} \, \text{m})^2 / 4)] / (1/5.81 \times 10^7 \, \Omega \text{m}) = 208.11 \, \text{m}$$

$$N_2 = L_2 / (2\pi d/2) = (208.22 \, \text{m}) / (2 \times 3.14 \times 3.75 \times 10^{-2} \, \text{m} / 2) = 1767.402 \, \text{turns}$$

$$n = N_2 / L_2 = 1767.402 \, \text{m} / 0.06 \, \text{m} = 29456.7 \, \text{turns/m}$$

$$B = (184.987) (V_2 / 300 \, \Omega)$$

Front Panel และ Block Diagram แสดงดังรูปที่ 12.12.2 DAQ Assistant ทำหน้าที่อ่านแรงดันไฟฟ้า V1 และ V2 ส่งค่า V1 และ V2 ไปที่ Convert from Dynamic Data แล้วส่งเข้า Index Array แยก V1 และ V2 ออก แสดง V1 vs t ด้วย Waveform Graph คำนวณกระแสไฟฟ้า I1 ด้วยสูตร $I_1 = V_1 / R_1$ เมื่อ $R_1 = 300 \, \Omega$ คำนวณค่า N_1 / L_1 ด้วย Divide คูณ I1 กับ N_1 / L_1 ด้วย Multiply เพื่อให้ได้ความเข้มสนามแม่เหล็ก H เมื่อ $H = (N_1 / L_1) (V_1 / R_1) = (N_1 / L_1') (I_1)$ แล้วส่งเข้า X Input ของ Build XY Graph แสดง V2 vs t ด้วย Waveform Graph $B = (184.987) (V_2 / 300 \, \Omega)$ คูณด้วย 1000 เพื่อแปลงหน่วย Wb/m² เป็น mWb/m² นำค่า B และ H ไปเขียนกราฟด้วย Build XY Graph Millisecond Multiple เป็นเวลาหนึ่ง Stop Button เป็น numeric control ทำหน้าที่เปิดปิดสวิตช์ While Loop ทำหน้าที่ควบคุมการทำงานที่ซ้ำๆกัน สั่ง RUN เพื่อแสดงผลทั้งหมด สั่งพิมพ์ Front Panel และ Block Diagram ออกทาง Printer



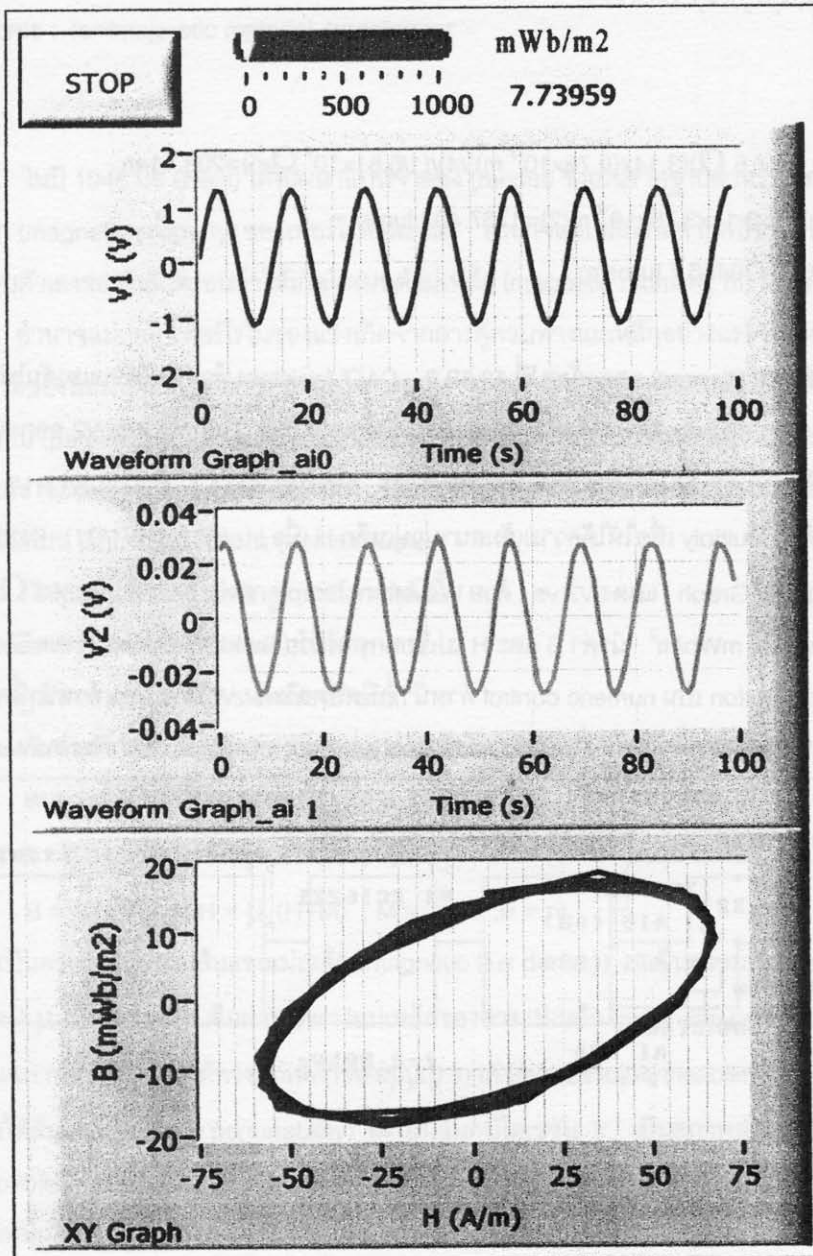
รูปที่ 12.12.1 การจัดเครื่องมือสำหรับวงจรร้าวแม่เหล็ก

Yar-Transformer-BH loop-imp 26 i34-use.vi

D:\0-0a \sem 2-2549\Yarina2\Yar-Transformer-BH loop-imp 26 i34-use.vi

Last modified on 2/26/2007 at 2:37 PM

Printed on 2/26/2007 at 2:39 PM



12.13 การวัดค่าความเหนี่ยวนำร่วมของหม้อแปลงไฟฟ้า

บทความ การวัดค่าความเหนี่ยวนำร่วมของหม้อแปลงไฟฟ้าด้วยโปรแกรมแลปวิว

ธงชัย พันธุ์เมธาฤทธิ

Thongchai Panmatarith

M.Sc. (Solid State Physics), Assoc. Prof., Materials Physics Laboratory,

Department of Physics, Faculty of Science, Prince of Songkla University, Hat Yai, 90112 Thailand.

Corresponding e-mail : tongchai.p@psu.ac.th

บทคัดย่อ

ได้วัดค่าความเหนี่ยวนำร่วมของหม้อแปลงไฟฟ้าด้วยโปรแกรมแลปวิว

Abstract

Mutual inductance of transformer was measured with LabVIEW Program

Key words : ferrimagnetic material, transformer, mutual inductance

คำนำ

แม่เหล็กเซรามิกส์ใช้ทำเป็นวัสดุไฟฟ้าและอิเล็กทรอนิกส์ แม่เหล็กเซรามิกส์มี 2 ประเภท คือ เฟอร์ไรต์แข็งกับเฟอร์ไรต์อ่อน $MgFe_2O_4$ จัดอยู่ในกลุ่มเฟอร์ไรต์อ่อน เฟอร์ไรต์อ่อนแสดงสมบัติที่เปลี่ยนแปลงไปตามความถี่ของสนามแม่เหล็ก จึงนำไปประยุกต์เป็นแกนของขดลวด แกนของหม้อแปลงไฟฟ้า สแกนนิ่งโยค(scanning yokes) สายอากาศ (antenna) อุปกรณ์เลื่อนเฟส (phase shifter) และอุปกรณ์ไมโครเวฟ (microwave device) ในปี 1948 Neel ได้พัฒนาแบบจำลองซึ่งเป็นรากฐานสำหรับความเข้าใจเกี่ยวกับสมบัติเชิงแม่เหล็กในเฟอร์ไรต์ จำนวนแม่เหล็กในสารเกี่ยวข้องกับอิเล็กตรอนที่โคจรรอบนิวเคลียสและอิเล็กตรอนที่หมุนรอบตัวเอง จำนวนแม่เหล็กเกี่ยวข้องกับอิเล็กตรอนในชั้น f ที่ไม่เต็ม

ตัวอย่างสารเฟอร์ไรต์อ่อน ได้แก่ $NiFe_2O_4$, $Ni_{0.5}Zn_{0.5}Fe_2O_4$, $MnFe_2O_4$, $Mn_{0.5}Zn_{0.5}Fe_2O_4$, $MgFe_2O_4$, $Y_3Fe_5O_{12}$ และ $CuFe_2O_4$ สารเหล่านี้เตรียมได้โดยวิธีเทคนิคปฏิกิริยาสถานะของแข็ง (Solid-state reaction technique) และวิธีอื่นๆ สารเฟอร์ไรต์อ่อนแสดงอำนาจแม่เหล็กเฟอร์ริ (ferrimagnetism) และแสดงปรากฏการณ์การล่า (hysteresis effect) มีผู้ทดลองโดยนำสารเฟอร์ไรต์อ่อนทำเป็นตัวตรวจวัดสนามแม่เหล็ก (magnetic field detector) ตัวเหนี่ยวนำ (inductor) ที่ประกอบด้วยขดลวดเหนี่ยวนำ (induction coil) กับแกนเฟอร์ไรต์ (ferrite core) แสดงความเหนี่ยวนำตัวเอง (self induction)

อัตราการเพิ่มขึ้นของกระแสไฟฟ้า (di/dt) แรงเคลื่อนไฟฟ้าเหนี่ยวนำ (V_e) และค่าความเหนี่ยวนำร่วม (M) ของหม้อแปลงไฟฟ้ามีค่าสอดคล้องตามสมการ $V_e = M(di/dt)$

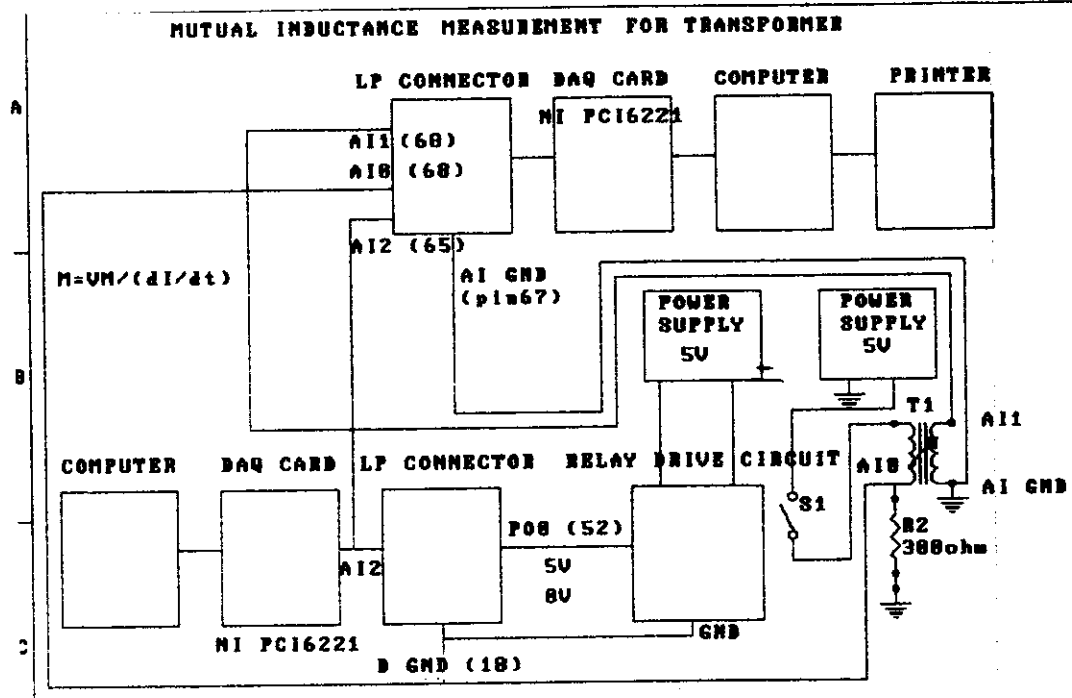
บทความนี้เป็นการวัดค่าความเหนี่ยวนำร่วมของหม้อแปลงไฟฟ้าที่ใช้แกนเหล็ก

วิธีการทดลอง

จัดเครื่องมือตามรูปที่ 12.13.1 คอมพิวเตอร์ส่งแรงดันไฟฟ้า 5V และ 0 V สลับกัน ผ่าน DAQ card มาที่ LP connector ทาง PO0 แล้วมาที่เข้าที่ AI2 ของ LP connector ผ่านทาง DAQ Card เข้าคอมพิวเตอร์และมายังวงจรรับรีเลย์ เมื่อสวิตช์ของรีเลย์เปิด แรงดันไฟฟ้าจากแหล่งจ่ายไฟฟ้า 5V จะมาเข้าที่อินพุทของหม้อแปลงไฟฟ้า กระแสไฟฟ้าจะไหลผ่านขด 1 และความต้านทาน 300Ω แรงดันไฟฟ้าตกคร่อมความต้านทาน 300Ω มีค่า V_1 หม้อแปลงไฟฟ้าจะ

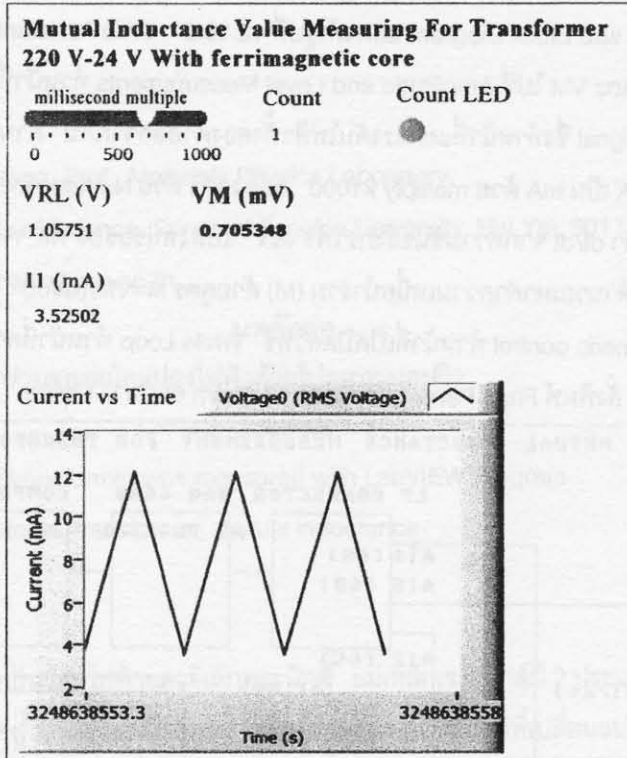
แปลงแรงดันนี้ออกทางขด 2 เป็นปริมาณ V2 หรือ VM ส่งแรงดัน V1 และ V2 หรือ VM เข้า AI0 และ AI1 ของ LP connector ผ่าน DAQ Card เข้าคอมพิวเตอร์ คำนวณ $M=VM/(di/dt)$

Front Panel และ Block Diagram แสดงดังรูปที่ 12.13.2 DAQ Assistant ทำหน้าที่อ่านแรงดันไฟฟ้า VRL และ VM ส่งค่า VRL และ VM ไปที่ Amplitude and Level Measurements ทำหน้าที่จัดปริมาณการวัดเป็นแบบ Mean (DC) ส่งมาที่ Split signal ซึ่งทำหน้าที่แยกแรงดันไฟฟ้าทั้งสองค่าออกจากกัน คำนวณ I1 ด้วย Divide และสูตร $I1=VRL/300$ แปลง A เป็น mA ด้วย multiply x1000 แสดงค่า I ด้วย Numeric Indicator และกราฟ I vs t ด้วย Waveform Graph หา di/dt จากความชันของกราฟ I vs t แปลงหน่วยของ VM จาก V เป็น mV ด้วย multiply x1000 นำค่า VM และ di/dt คำนวณหาค่าความเหนี่ยวนำรวม (M) ด้วยสูตร $M=VM/(di/dt)$ Millisecond Multiple เป็นเวลาหนึ่ง Stop Button เป็น numeric control ทำหน้าที่เปิดปิดสวิตช์ While Loop ทำหน้าที่ควบคุมการทำงานที่ซ้ำๆกัน สั่ง RUN เพื่อแสดงผลทั้งหมด สั่งพิมพ์ Front Panel และ Block Diagram ออกทาง Printer

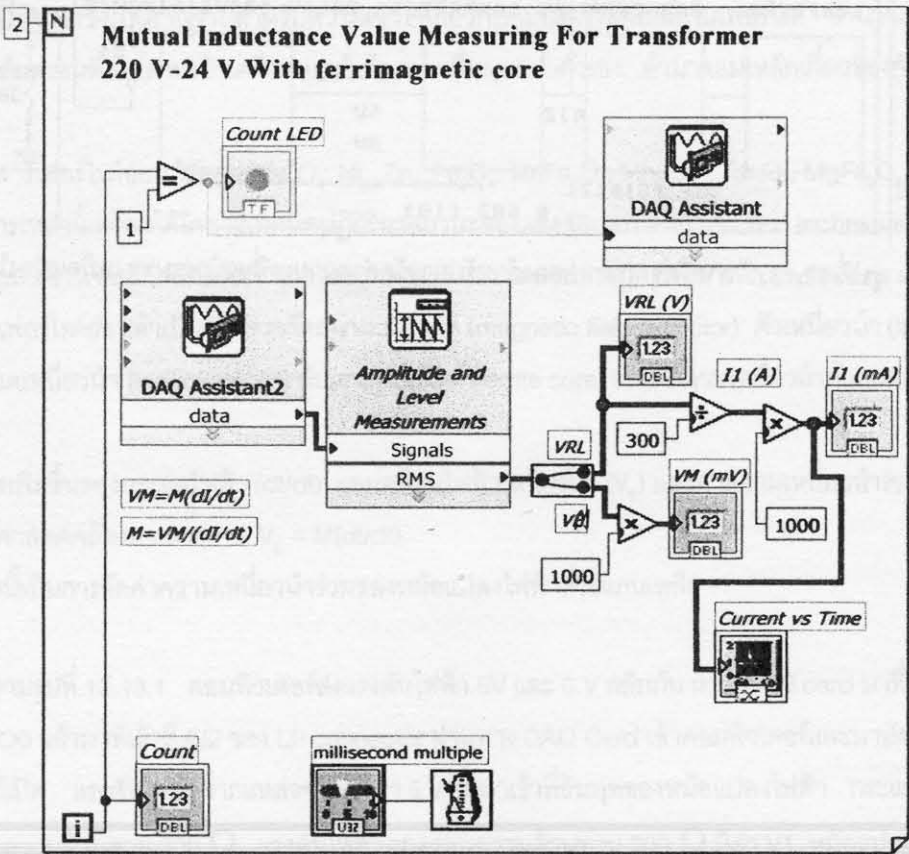


รูปที่ 12.13.1 การจัดชุดการทดลองสำหรับการวัดค่าความเหนี่ยวนำรวมของหม้อแปลงไฟฟ้า

Th-Transformer-M value.vi
 D:\0-0a LV \ííá°°áÀÐÇÑ' ¢Ø' ·Öè 2 #\Th-Transformer-M value.vi
 Last modified on 12/10/2006 at 11:30 AM
 Printed on 12/10/2006 at 11:36 AM



Th-Transformer-M value.vi
 D:\0-0a LV \ííá°°áÀÐÇÑ' ¢Ø' ·Öè 2 #\Th-Transformer-M value.vi
 Last modified on 12/10/2006 at 11:30 AM
 Printed on 12/10/2006 at 11:36 AM



รูปที่ 12.13.2 Front Panel และ Block Diagram สำหรับการวัดค่าความเหนี่ยวนำร่วมของหม้อแปลงไฟฟ้า

ผลการทดลอง

ผลการวัดค่าความเหนี่ยวนำร่วมของหม้อแปลงไฟฟ้าแสดงดังรูปที่ 12.13.2

วิเคราะห์ผลการทดลอง

ผลการวัดค่าความเหนี่ยวนำร่วมของหม้อแปลงไฟฟ้าเป็นข้อมูลที่มีความเกี่ยวข้องกับหม้อแปลงไฟฟ้า

สรุปผลการทดลอง

ระบบเชื่อมต่อคอมพิวเตอร์ที่ควบคุมด้วย LabVIEW สามารถแสดงวัดค่าความเหนี่ยวนำร่วมของหม้อแปลงไฟฟ้า ค่าความเหนี่ยวนำร่วมของหม้อแปลงไฟฟ้า (M) = ???

เอกสารอ้างอิง

Charles Kittel, 1976, Introduction to Solid State Physics, 5th edition, John Wiley & Sons, Inc.,
New York/Sydney/Toronto.

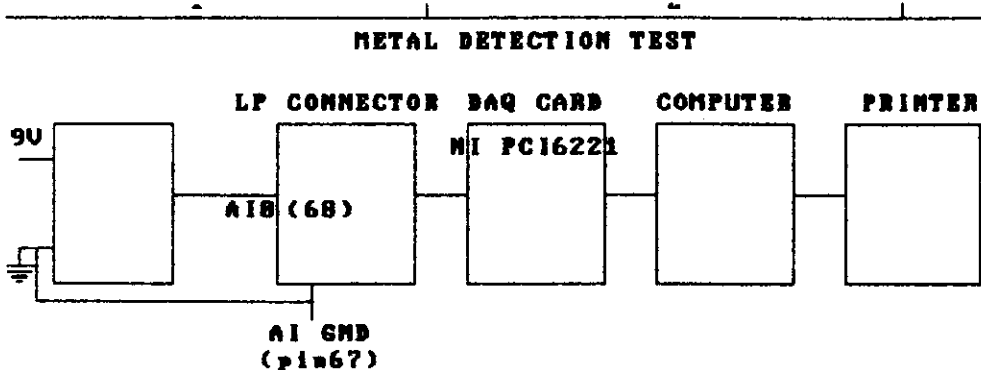
Http:// www.ni.com, LabVIEW[™] Basic I. Introduction Course Manual,
National Instruments Corporation, 1993-2001.

Moulson, A.J. and Herbert, J.M. Electroceramics. Chapman & Hall, London, 1990.

12.14 การทดสอบสวิตช์พธอกซิมิตีตรวจจับโลหะ

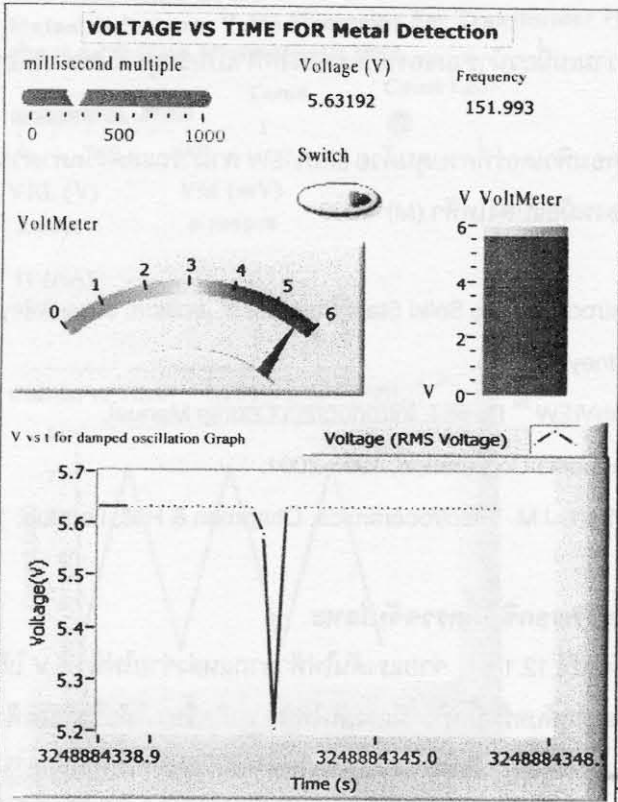
จัดชุดทดลองดังรูปที่ 12.14.1 จ่ายแรงดันไฟฟ้าจากแหล่งจ่ายไฟฟ้า 5 V ให้แก่ออร์ดสวิตช์พธอกซิมิตีตรวจจับโลหะ เมื่อมีชิ้นโลหะมาอยู่ใกล้ขั้วรับว่ามีแรงดันไฟฟ้า V เกิดขึ้น ให้แรงดันไฟฟ้า V นี้เข้า AI0 ของ LP connector ผ่าน DAQ Card เข้าคอมพิวเตอร์ เลื่อนชิ้นงานโลหะไปมาแล้วสังเกตการเปลี่ยนแปลงแรงดันไฟฟ้า

Front Panel และ Block Diagram แสดงดังรูปที่ 12.14.2 DAQ Assistant ทำหน้าที่อ่านแรงดันไฟฟ้า V Amplitude and Level Measurements ทำหน้าที่จัดปริมาณการวัดเป็นแบบ Rms แสดงแรงดันไฟฟ้าด้วย Numeric Indicator และ Graph Indicator Tone Measurements ทำหน้าที่วัดความถี่แล้วแสดงผลด้วย Numeric Indicator Millisecond Multiple เป็นเวลาหน่วย Stop Button เป็น numeric control ทำหน้าที่เปิดปิดสวิตช์ While Loop ทำหน้าที่ควบคุมการทำงานที่ซ้ำๆกัน สั่ง RUN เพื่อแสดงผลทั้งหมด สั่งพิมพ์ Front Panel และ Block Diagram ออกทาง Printer

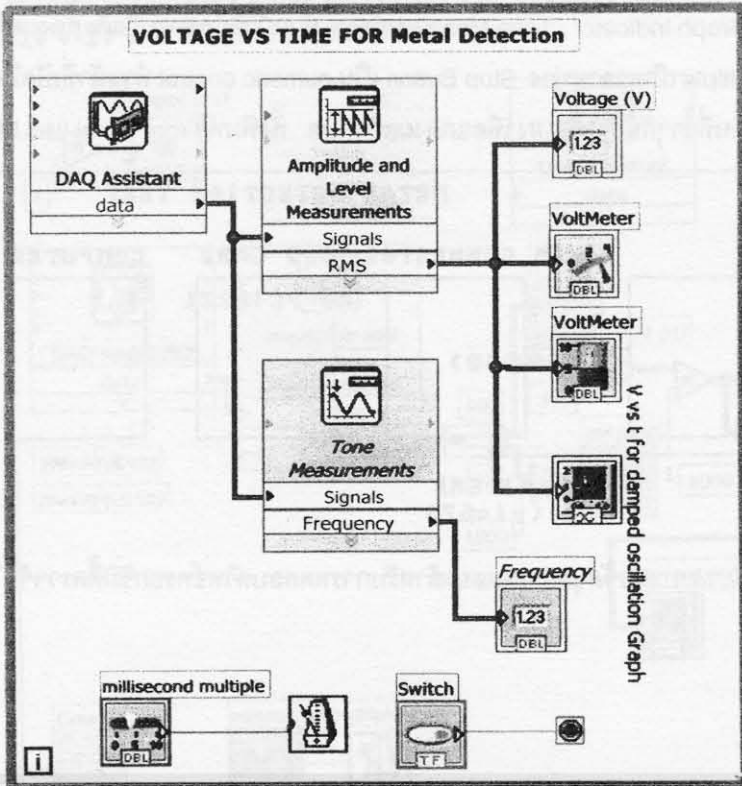


รูปที่ 12.14.1 การจัดชุดการทดลองสำหรับการทดสอบสวิตช์พธอกซิมิตีตรวจจับโลหะ

-V vs t-πé¹ÉÒáÆÉD.vi
 \0-0a LV íííáóóáÄĐÇÑ' ¢Ø'·Öè 2 #\Th-V vs t-πé¹ÉÒáÆÉD.vi
 st modified on 12/13/2006 at 7:52 AM
 nted on 12/13/2006 at 7:52 AM



h-V vs t-πé¹ÉÒáÆÉD.vi
 D:\0-0a LV íííáóóáÄĐÇÑ' ¢Ø'·Öè 2 #\Th-V vs t-πé¹ÉÒáÆÉD.vi
 Last modified on 12/13/2006 at 7:52 AM
 Printed on 12/13/2006 at 7:53 AM



รูปที่ 12.14.2 Front Panel และ Block diagram สำหรับการทดสอบสวิตช์พวกรูขมิ้นมิติตรงจับโลหะ